



OFICINA ESPAÑOLA DE PATENTES Y MARCAS

ESPAÑA



11 Número de publicación: 2 539 026

51 Int. Cl.:

C07K 16/20 (2006.01) G01N 33/569 (2006.01)

(12)

TRADUCCIÓN DE PATENTE EUROPEA

T3

(96) Fecha de presentación y número de la solicitud europea: 23.12.2008 E 08868099 (6)
 (97) Fecha y número de publicación de la concesión europea: 22.04.2015 EP 2238167

(54) Título: Anticuerpos anti-T. cruzi y métodos de uso

(30) Prioridad:

27.12.2007 US 17071 P

(45) Fecha de publicación y mención en BOPI de la traducción de la patente: 25.06.2015

(73) Titular/es:

ABBOTT LABORATORIES (100.0%) 100 Abbott Park Road Abbott Park, IL 60064-3500, US

(72) Inventor/es:

BROPHY, SUSAN E.; HAWKSWORTH, DAVID J.; SHAH, DINESH O.; SIEGEL, ROBERT W.; TIEMAN, BRYAN C.; TU, BAILIN; ZIEMANN, ROBERT N. y TYNER, JOAN D.

(74) Agente/Representante:

UNGRÍA LÓPEZ, Javier

DESCRIPCIÓN

Anticuerpos anti-T. cruzi y métodos de uso

5 Campo técnico

La presente descripción se refiere a métodos, análisis y kits para detectar o cuantificar antígenos de *Trypanosoma* (Schizotrypanum) cruzi.

10 Antecedentes

15

20

40

45

50

55

60

El parásito *Trypanosoma* (*Schizotrypanum*) *cruzi* causa la enfermedad de Chagas (tripanosomiasis americana) y es endémica en América Central y del Sur, así como en México. Después de una fase aguda leve, las víctimas más infectadas entran en una fase indeterminada que se caracteriza por una falta de síntomas, bajo recuento de parásitos, y bajos títulos de anticuerpos anti-*T. cruzi*. Aproximadamente 10-30% de las personas con infecciones crónicas por *T. cruzi*, desarrollan disfunción cardíaca o gastrointestinal. La quimioterapia puede curar a un número sustancial de bebés y niños infectados congénitamente, pero es en gran medida ineficaz en adultos que albergan infecciones crónicas (Coura, J. y S. de Castro, 2002. A critical review on Chagas disease chemotherapy. Mem. Inst. Oswaldo Cruz. 97:3-24). Aproximadamente 25.000 de los aproximadamente 12 millones de personas en los países endémicos que están infectadas crónicamente con *T. cruzi* mueren de la enfermedad cada año, debido a alteraciones del ritmo cardíaco o insuficiencia cardíaca congestiva (Kirchhoff, L.V. 2006. American trypanosomiasis (Chagas' disease). In Tropical Infections Diseases: Principles, Pathogens and Practice. Vol. R. Guerrant, D. Walker, y P. Weller, editors. Churchill Livingstone, Nueva York. 1082-1094).

El Chagas recibió el nombre del médico brasileño Carlos Chagas, quien lo describió por primera vez en 1909 (Chagas, C. 1909A. Neue Trypanosomen. Vorläufige Mitteilung. Arch. Schiff. Tropenhyg. 13: 120-122; Redhead, S. A., et al. 2006. Pneumocystis y Trypanosoma cruzi: nomenclature and typifications. J Eukaryot Microbiol. 53: 2-11). Descubrió que los intestinos de *Triatomidae* albergaban un protozoario flagelado, una nueva especie del género *Trypanosoma*, y fue capaz de demostrar experimentalmente que el parásito podría transmitirse a los monos tití que eran picados por el insecto infectado. Chagas denominó el parásito patógeno que causa la enfermedad *Trypanosoma cruzi* (Chagas, 1909A) y más tarde ese año *Schizotrypanum cruzi* (Chagas, C. 1909b. Nova tripanozomiase humana: Estudos sobre a morfolojia e o ciclo evolutivo do Schizotrypanum cruzi n. gen., n. sp., ajente etiolojico de nova entidades morbida do homem. Mem. Inst. Oswaldo Cruz. 1: 159-218), ambos nombres en honor a Oswaldo Cruz, un médico brasileño y epidemiólogo que luchó contra epidemias de fiebre amarilla, viruela y peste bubónica a comienzos del siglo XX.

Charles Darwin pudo haber padecido esta enfermedad como resultado de una mordedura del "Gran Chinche Negro de las Pampas" que recibió al este de los Andes cerca de Mendoza. Darwin informó del episodio en sus diarios de la *Viaje del Beagle.* Darwin era joven y de buena salud en general, aunque seis meses antes había estado enfermo durante un mes cerca de Valparaíso, pero en 1837, casi un año después de su regreso a Inglaterra, comenzó a sufrir de forma intermitente desde un extraño grupo de síntomas, quedando incapacitado durante gran parte del resto de su vida.

En las zonas endémicas, *T. cruzi* es transmitido principalmente por insectos triatómidos hematófagos. La enfermedad también se puede transmitir por transfusión de sangre, uso de drogas intravenosas, transmisión congénita, por la actividad sexual, el trasplante de órganos o por medio de la leche materna (Bittencourt, A. L. 1976. Congenital Chagas disease. Am J Dis Child. 130:97-103; Cheng, K.Y., et al.. 2007. Immunoblot assay using recombinant antigens as a supplemental test to confirm the presence of antibodies to Trypanosoma cruzi. Clin Vaccine Immunol. 14:355-61; Grant, I. H., et al. 1989. Transfusion-associated acute Chagas disease acquired in the United States. Ann Intern Med. 111:849-51; Hoff, R., et al. 1978. Congenital Chagas's disease in an urban population: investigation of infected twins. Trans R Soc Trop Med Hyg. 72:247-50; Kirchhoff, L.V. 1989. Is Trypanosoma cruzi a new threat to our blood supply? Ann Intern Med. 111:773-5; Skolnick, A. 1989. Does influx from endemic areas mean more transfusion-associated Chagas' disease? Jama. 262:1433). Actualmente, no existe una vacuna contra *T. cruzi*.

El diagnóstico de la infección crónica por *T. cruzi* refleja la complejidad del ciclo de vida del parásito. Durante los períodos de fiebre alta, diagnóstico consiste simplemente en la identificación de los parásitos en la sangre, líquido cefalorraquídeo, tejido fijado o ganglios linfáticos; sin embargo, durante las fases de latencia y crónicas de la infección, el virus es difícil de detectar. En el xenodiagnóstico, el contenido intestinal de los insectos vectores se examina para determinar *T. cruzi* varias semanas después de que estos parásitos se alimenten de la sangre de un paciente sospechoso. Sin embargo, este procedimiento es laborioso, costoso y carece de sensibilidad (Segura, E. 1987. Xenodiagnosis. In Chagas' Disease Vectors. Vol, R.R. Brenner and A. M. Stoka, editors. CRC Press, Boca Raton, FL. 41-45).

Por el contrario, los análisis serológicos para detectar anticuerpos contra *T. cruzi* son muy adecuados para el diagnóstico rápido y económico de la infección. Estos métodos incluyen inmunofluorescencia indirecta, hemaglutinación indirecta, fijación del complemento e inmunoanálisis enzimático (Cheng, K.Y., et al. 2007, Immunoblot assay using recombinant antigens as a supplemental test to confirm the presence of antibodies to Trypanosoma cruzi. Clin Vaccine Immunol. 14:355-61). Un problema persistente con análisis convencionales ha sido la aparición de resultados no concluyentes y falsos positivos (Almeida, I.C., et al. 1997. A highly sensitive and specific chemiluminescent enzyme-linked immunosorbent assay for diagnosis of active Trypanosoma cruzi infection. Transfusion. 37:850-7; (Kirchhoff *et al.*, 2006; Leiby, D.A., et al. 2000. Serologic testing for Trypanosoma cruzi: comparison of radioimmunoprecipitation assay with commercially available indirect immunofluorescence assay, indirect hemagglutination assay, and enzyme-linked immunosorbent assay kits, J Clin Microbiol. 38:639-42).

Ningún análisis ha sido aceptado de manera uniforme como el diagnóstico serológico convencional con oro de la infección por *T. cruzi* (Cheng *et al.*, 2007). Se ha encontrado que los análisis que se han diseñado para detectar ADN de *T. cruzi* son insensibles (Gomes, M.L., et al. 1999. Chagas' disease diagnosis: comparative analysis of parasitologic, molecular, and serologic methods, Am J Trop Med Hyg. 60:205-10). Un análisis de precipitación radioinmune (RIPA) que produce resultados fácilmente interpretados fue desarrollado hace casi dos décadas y se ha sugerido para su uso como prueba de confirmación en los Estados Unidos (Kirchhoff *et al.*, 1989). Su sensibilidad y especificidad, sin embargo, no se han validado sistemáticamente. Por otra parte, la complejidad del RIPA hace difícil su uso generalizado fuera de los entornos de investigación (Leiby *et al.*, 2000).

Quaissi A, et al, Biol.Cell (1992) 75, 11-17 <u>describen un anticuerpo monoclonal reactivo con un antígeno específico de *T. cruzi* de 24-kDa que es una proteína de unión a calcio flagelar indicada como útil en el diagnóstico de la <u>enfermedad de Chagas.</u></u>

Los inmunoanálisis diseñados para detectar anticuerpos anti-*T. cruzi* presentes en muestras de pacientes pueden proporcionar métodos de diagnóstico serológicos rápidos y fiables. Típicamente, este tipo de kits de diagnóstico utilizan uno o más anticuerpos específicos para actuar como calibradores, controles positivos y/o miembros del panel. A menudo, el plasma y/o suero humano con alto título de Chagas se escruta y se incorpora al reactivo de control negativo a cantidades específicas. Los reactivos de control de calidad de Chagas, tales como controles positivos, son muestras de plasma o suero humanos escrutados para detectar la presencia de anticuerpos contra epítopos específicos. Sin embargo, el uso de muestras de suero y plasma humanos tiene varias desventajas significativas. Estas incluyen: (1) el aumento de problemas normativos, (2) la dificultad en la obtención de gran volumen con alto título y especificidad; (3) la variabilidad de los lotes; (4) las limitaciones en cuanto a la caracterización; y (5) el coste.

Por lo tanto, sigue habiendo una necesidad en la técnica de anticuerpos específicos para actuar como calibradores, controles positivos y/o los miembros de panel. La presente descripción opcionalmente supera o evita algunos de los problemas de los inmunoanálisis actuales de *T. cruzi* (a saber, el aumento de problemas normativos, la dificultad en la obtención de gran volumen con alto título y especificidad, mucha variabilidad, limitaciones en cuanto a la caracterización, y coste) proporcionando nuevos anticuerpos, líneas celulares que producen estos anticuerpos, y métodos de fabricación de estos anticuerpos.

Compendio

5

10

15

20

35

40

50

55

45 El alcance de la invención se define por las reivindicaciones adjuntas.

Por consiguiente, la presente invención proporciona primero un reactivo de inmunodiagnóstico que comprende uno o más anticuerpos que se unen específicamente a un polipéptido de *T. cruzi*, en donde dichos uno o más anticuerpos son específicos para el polipéptido FP3 de *T. cruzi* del SEQ ID NO: 2, y en donde dichos uno o más anticuerpos se seleccionan del grupo que consiste en:

- (i) un anticuerpo quimérico que tiene una región V_H que comprende una secuencia de aminoácidos como la mostrada en el SEQ ID NO: 12 y que tiene una región V_L , que comprende una secuencia de aminoácidos como la mostrada en el SEQ ID NO: 10;
- (ii) el anticuerpo quimérico expresado por la línea celular depositada en la Colección de Tejidos Tipo Americana (Colección Americana de Tejidos Tipo) con el Número de Acceso PTA-8136; y
- (iii) el anticuerpo expresado por la línea celular depositada en la Colección de Tejidos Tipo Americana con el Número de Acceso PTA-8139.
- 60 En una realización, el reactivo de inmunodiagnóstico anterior comprende dos o más de dichos anticuerpos.

En el reactivo de inmunodiagnóstico anterior, dichos uno o más anticuerpos pueden tener al menos una constante de unión seleccionada del grupo que consiste en: una constante de velocidad de asociación (k_a) entre 2,0 x 10⁵ M⁻¹s⁻

ES 2 539 026 T3

¹ y 6,0 x 10⁶ M⁻¹s⁻¹; una constante de velocidad de disociación (k_d) entre 2,0 x 10⁻⁵s⁻¹ y 8,0 x 10⁻⁴ s⁻¹; y una constante de disociación en equilibrio (K_D) entre 3,3 x 10⁻¹² M y 4,0 x 10⁻⁹ M.

El reactivo de inmunodiagnóstico anterior puede seleccionarse del grupo consistente en un reactivo de detección, un reactivo de normalización, y un reactivo de control positivo.

La presente invención también proporciona un anticuerpo que se une específicamente a un polipéptido FP3 de T. cruzi del SEQ ID NO: 2, en donde dicho anticuerpo se selecciona del grupo que consiste en

- (i) un anticuerpo quimérico que tiene una región V_H que comprende una secuencia de aminoácidos como la mostrada en el SEQ ID NO: 12 y que tiene una región V_I que comprende una secuencia de aminoácidos como la mostrada en el SEQ ID NO: 10;
- (ii) el anticuerpo quimérico expresado por la línea celular depositada en la Colección de Tejidos Tipo Americana con el Número de Acceso PTA-8136: v
- (iii) el anticuerpo expresado por la línea celular depositada en la Colección de Tejidos Tipo Americana con el Número de Acceso PTA-8139.

En una realización, el anticuerpo anterior tiene al menos una constante de unión seleccionada del grupo que consiste en: una constante de velocidad de asociación (k_a entre 2,0 x 10^5 $M^{-1}s^{-1}$ y 6,0 x 10^6 $M^{-1}s^{-1}$; una constante de velocidad de disociación (k_d) entre 2,0 x 10⁻⁵ s⁻¹ y 8,0 x 10⁻⁴ s⁻¹; y una constante de disociación en equilibrio (K_D) entre $3.3 \times 10^{-12} \text{ M y } 4.0 \times 10^{-9} \text{ M}.$

La presente invención también proporciona una línea celular que expresa un anticuerpo guimérico que se une específicamente a un polipéptido de T. cruzi, en donde la línea celular es una línea celular depositada en la Colección de Tejidos Tipo Americana y que tiene el Número de Acceso PTA-8136.

Además, la presente invención proporciona un método de normalización de un análisis de detección de T. cruzi que comprende utilizando el reactivo de inmunodiagnóstico anterior de la invención como un panel de sensibilidad.

- 30 La presente invención proporciona adicionalmente un método para detectar un antígeno de T. cruzi que comprende las etapas de:
 - (a) poner en contacto una muestra de análisis sospechosa de contener un antígeno de T. cruzi con el reactivo de inmunodiagnóstico anterior de la invención bajo condiciones que permiten la formación de complejos de anticuerpo quimérico:antígeno; y
 - (b) detectar complejos de anticuerpo quimérico:antígeno cualesquiera formados como una indicación de la presencia de dicho antígeno de T. cruzi.

En el último método, el anticuerpo quimérico puede comprender una etiqueta detectable, o los complejos de 40 anticuerpo:antígeno se pueden poner en contacto con un anticuerpo secundario o fragmento del mismo, en donde el anticuerpo secundario o fragmento del mismo comprende un marcador detectable.

Una realización adicional de la invención es un método para detectar un anticuerpo de T. cruzi que comprende las etapas de:

- (1) poner en contacto una muestra de análisis sospechosa de (que contiene anticuerpo de T. cruzi con un antígeno de T. cruzi específico para el anticuerpo de T. cruzi bajo condiciones que permiten la formación de complejos de antígeno:anticuerpo; y
- (2) volver a someter a ensayo cualquier complejo de antígeno anticuerpo formado como indicación de la presencia de dichos antígenos de T. cruzi,
- en donde el reactivo de inmunodiagnóstico anterior de la invención se usa en dicho método como control positivo o reactivo de normalización, y en donde el antígeno de T. cruzi es FP3.

5

10

15

20

25

35

45

50

60

55 La presente invención proporciona adicionalmente un kit de diagnóstico para la detección de T. cruzi que comprende el reactivo de inmunodiagnóstico anterior de la invención.

Además de la invención, la presente descripción se refiere a otros diversos aspectos de la descripción que, sin embargo, no son realizaciones de la intención. Tales aspectos adicionales que no entran dentro del alcance de la presente invención definido anteriormente y en las reivindicaciones adjuntas se presentan con fines comparativos.

Un objeto de la descripción es proporcionar anticuerpos, incluyendo anticuerpos recombinantes y anticuerpos quiméricos, que se unen específicamente a antígenos de Trypanosoma (Schizotrypanum) cruzi y usos de los mismos.

De acuerdo con un aspecto de la presente descripción, se proporcionan anticuerpos recombinantes, incluyendo anticuerpos quiméricos, que son capaces de unirse específicamente a una región relevante para el diagnóstico de una proteína de *T. cruzi*. Los anticuerpos, incluyendo anticuerpos quiméricos y recombinantes, se seleccionan del grupo que consiste en un anticuerpo específico para polipéptidos de *T. cruzi* formado por FP3, Pep2, FP10 y la FRA.

En un aspecto de la descripción, el anticuerpo es dicho anticuerpo seleccionado del grupo que consiste en:

- (a) un anticuerpo que se une específicamente a una región relevante para el diagnóstico de un polipéptido de $T.\ cruzi$, en donde el polipéptido de $T.\ cruzi$ es FRA y adicionalmente en donde dicho anticuerpo tiene al menos una constante de unión seleccionada del grupo que consiste en: una constante de velocidad de asociación (K_a) entre aproximadamente 7,0 x 10 5 M $^-1$ s $^-1$ y aproximadamente 7,0 x 10 6 M $^-1$ s $^-1$, una constante de velocidad de disociación (K_a) entre aproximadamente 4,0 x 10 $^-3$ s $^-1$ y aproximadamente 3,0 x 10 $^-1$ s $^-1$ y una constante de disociación en equilibrio (K_a) entre aproximadamente 5,7 x 10 $^-10$ M y aproximadamente 4,3 x 10 $^-7$ M:
- (b) un anticuerpo que se une específicamente a una región relevante para el diagnóstico de un polipéptido de $T.\ cruzi$, en donde el polipéptido de $T.\ cruzi$ es Pep2 y adicionalmente en donde dicho anticuerpo tiene al menos una constante de unión seleccionada del grupo que consiste en: una constante de velocidad de asociación (k_a) entre aproximadamente 1,0 x 10 6 M 1 s 1 y aproximadamente 8,0 x 10 6 M 1 s 1 ; una constante de velocidad de disociación (k_a) entre aproximadamente 6,0 x 10 3 s 1 y aproximadamente 4,0 x 10 2 s 1 y una constante de disociación en equilibrio (k_a) entre aproximadamente 7,5 x 10 1 0 y aproximadamente 4,0 x 10 2 8 M:
- (c) un anticuerpo que se une específicamente a una región relevante para el diagnóstico de un polipéptido de $T.\ cruzi$, en donde el polipéptido de $T.\ cruzi$ es FP10 y adicionalmente en donde dicho anticuerpo tiene al menos una constante de unión seleccionada del grupo que consiste en: (a) una constante de velocidad de asociación (K_a) entre aproximadamente 5,0 x 10⁴ M¹s⁻¹ y aproximadamente 3,0 x 10⁵ M¹s⁻¹ (B) una constante de velocidad de disociación (K_a) entre aproximadamente 1,0 x 10⁴s⁻¹ y aproximadamente 8,0 x 10⁴s⁻¹; y (c) una constante de disociación en equilibrio (K_D) entre aproximadamente 3,3 x 10⁻¹⁰M y aproximadamente 1,6 x 10⁻⁸M;
- (d) un anticuerpo que se une específicamente a una región relevante para el diagnóstico de un polipéptido de $T.\ cruzi$, en donde el polipéptido de $T.\ cruzi$ es FP3 y adicionalmente en donde dicho anticuerpo tiene al menos una constante de unión seleccionada del grupo que consiste en: una constante de velocidad de asociación (k_a) entre aproximadamente 2,0 x 10 5 M $^-1$ s $^{-1}$ y aproximadamente 6,0 x 10 6 M $^-1$ s $^{-1}$; una constante de velocidad de disociación (k_a) entre aproximadamente 2,0 x 10 $^-5$ s $^{-1}$ y aproximadamente 8,0 x 10 $^-4$ s $^{-1}$; y una constante de disociación en equilibrio (k_a) entre aproximadamente 3,3 x 10 $^-12$ M y aproximadamente 4,0 x 10 $^-9$ M; y
- (e) cualquier combinación de (a)-(d).

5

10

15

20

25

30

35

40

55

60

En otro aspecto de la descripción, el anticuerpo es un anticuerpo quimérico expresado por una línea celular, en donde la línea celular se selecciona del grupo que consiste en PTA-8136, PTA-8138 y PTA-8140. Opcionalmente, el anticuerpo es expresado por una línea celular seleccionada del grupo que consiste en PTA-8137, PTA-8139, PTA-8141, y PTA-8142. Los anticuerpos opcionalmente son anticuerpos monoclonales, anticuerpos humanizados, anticuerpos Fv de cadena sencilla, anticuerpos de afinidad madurada, anticuerpos de cadena sencilla, anticuerpos de dominio único, fragmentos Fab, fragmentos F(ab'), Fv unidos por disulfuro, y anticuerpos anti-idiotípicos, inmunoglobulinas de dominio variable dual (DVD-Ig®) o fragmentos de los mismos.

- En otro aspecto de la descripción, se proporciona un reactivo de inmunodiagnóstico que comprende uno o más de estos anticuerpos, incluyendo anticuerpos quiméricos y recombinantes, que son capaces de unirse específicamente a una región relevante para el diagnóstico de una proteína de *T. cruzi*, en donde los anticuerpos se seleccionan del grupo que consiste en FP3, Pep2, FP10 y FRA.
- De acuerdo con otro aspecto de la descripción, el reactivo de inmunodiagnóstico comprende un anticuerpo seleccionado del grupo que consiste en:
 - (a) un anticuerpo que se une específicamente a una región relevante para el diagnóstico de un polipéptido de $T.\ cruzi$, en donde el polipéptido de $T.\ cruzi$ es FRA y adicionalmente en donde dicho anticuerpo tiene al último constante de unión seleccionada del grupo que consiste en: una constante de velocidad de asociación (K_a) entre aproximadamente 7,0 x 10 5 M $^{-1}$ s $^{-1}$ y aproximadamente 7,0 x 10 6 M $^{-1}$ s $^{-1}$, una constante de velocidad de disociación (K_d) entre aproximadamente 4,0 x 10 $^{-3}$ s $^{-1}$ y aproximadamente 3,0 x 10 $^{-1}$ s $^{-1}$ y una constante de disociación en equilibrio (K_D) entre aproximadamente 5,7 x 10 $^{-10}$ M y aproximadamente 4,3 x 10 $^{-7}$ M;
 - (b) un anticuerpo que se une específicamente a una región relevante para el diagnóstico de un polipéptido de T. cruzi, en donde el polipéptido de T. cruzi es Pep2 y adicionalmente en donde dicho anticuerpo tiene al menos una constante de unión seleccionada del grupo que consiste en: una constante de velocidad de asociación (k_a) entre aproximadamente 1,0 x 10 6 M $^{-1}$ s $^{-1}$ y aproximadamente 8,0 x 10 6 M $^{-1}$ s $^{-1}$; una constante de velocidad de disociación (k_d) entre aproximadamente 6,0 x 10 $^{-3}$ s $^{-1}$ y aproximadamente 4,0 x 10 $^{-2}$ s $^{-1}$ y una

constante de disociación en equilibrio (K_D) entre aproximadamente 7,5 x $10^{-10}M$ y aproximadamente 4,0 x $10^{-8}M$:

- (c) un anticuerpo que se une específicamente a una región relevante para el diagnóstico de un polipéptido de $T.\ cruzi$, en donde el polipéptido de $T.\ cruzi$ es FP10 y adicionalmente en donde dicho anticuerpo tiene al menos una constante de unión seleccionada del grupo que consiste en: (a) una constante de velocidad de asociación (k_a) entre aproximadamente 5,0 x 10 4 M 1 s 1 y aproximadamente 3,0 x 10 5 M 1 s 1 : (b) una constante de velocidad de disociación (k_a) entre aproximadamente 1,0 x 10 4 s 1 y aproximadamente 8,0 x 10 4 s 1 ; y (c) una constante de disociación en equilibrio (K_D) entre aproximadamente 3,3 x 10 1 0 y aproximadamente 1,6 x 10 8 M;
- (d) un anticuerpo que se une específicamente a una región relevante para el diagnóstico de un polipéptido de $T.\ cruzi$, en donde el polipéptido de $T.\ cruzi$ es FP3 y adicionalmente en donde dicho anticuerpo tiene al menos una constante de unión seleccionada del grupo que consiste en: una constante de velocidad de asociación (k_a) entre aproximadamente 2,0 x 10 5 M $^-1$ s $^-1$ y aproximadamente 6,0 x 10 6 M $^-1$ s $^-1$; una constante de velocidad de disociación (k_a) entre aproximadamente 2,0 x 10 $^-5$ s $^-1$ y aproximadamente 8,0 x 10 $^-4$ s $^-1$; y una constante de disociación en equilibrio (K_D) entre aproximadamente 3,3 x 10 $^-12$ M y aproximadamente 4,0 x 10 $^-9$ M; y
- (e) cualquier combinación de (a)-(d).

5

10

15

25

30

35

40

45

50

55

60

De acuerdo con otro aspecto de la descripción, el reactivo de inmunodiagnóstico se selecciona del grupo que consiste en un reactivo de detección, un reactivo de normalización, y un reactivo de control positivo.

De acuerdo con otro aspecto de la descripción, se proporcionan anticuerpos, incluyendo anticuerpos quiméricos y recombinantes, que son capaces de unirse específicamente a una región relevante para el diagnóstico de una proteína de *T. cruzi*, comprendiendo la región un epítopo abarcado por una secuencia de aminoácidos seleccionada del grupo que consiste en una secuencia de aminoácidos que tiene al menos 80%, al menos 90% y al menos 95% de identidad de secuencia con una secuencia de aminoácidos como se expone en el SEC ID NO.: 2, el SEQ ID NO.: 4, el SEQ ID NO.: 6 y el SEQ ID NO.: 8. De acuerdo con otro aspecto de la descripción, el reactivo de inmunodiagnóstico que se une específicamente a una región relevante para el diagnóstico de una proteína de *T. cruzi* que comprende un anticuerpo quimérico, en donde el anticuerpo quimérico se une específicamente a un epítopo que comprende una secuencia de aminoácidos sustancialmente idéntica a una secuencia de aminoácidos como la mostrada en el SEQ ID NO.: 2, el SEQ ID NO.: 4, el SEQ ID NO.: 6 y el SEQ ID NO.: 8. Los anticuerpos opcionalmente son anticuerpos monoclonales, anticuerpos humanizados, anticuerpos Fv de cadena sencilla, anticuerpos de afinidad madurada, anticuerpos de cadena sencilla, anticuerpos de dominio único, fragmentos Fab, fragmentos F(ab'), Fv unidos por disulfuro, y anticuerpos anti-idiotípicos, o fragmentos de los mismos. De acuerdo con otro aspecto de la descripción, se proporciona un reactivo de inmunodiagnóstico que comprende estos anticuerpos.

De acuerdo con otro aspecto de la descripción, se proporcionan anticuerpos, incluyendo anticuerpos quiméricos y recombinantes, y reactivos de inmunodiagnóstico que comprenden los anticuerpos, en donde los anticuerpos comprenden una región V_H seleccionada del grupo que consiste en el SEQ ID NO.: 10, el SEQ ID NO.: 14, el SEQ ID NO.: 18 y el SEQ ID NO.: 28.

De acuerdo con otro aspecto de la descripción, se proporcionan anticuerpos, incluyendo anticuerpos quiméricos y recombinantes, y reactivos de inmunodiagnóstico que comprenden los anticuerpos, en donde los anticuerpos comprenden una región V_L seleccionada del grupo que consiste en el SEQ ID NO.: 12, el SEQ ID NO.: 16, el SEQ ID NO.: 20 y el SEQ ID NO.: 26.

De acuerdo con otro aspecto de la descripción, se proporcionan anticuerpos, incluyendo anticuerpos quiméricos y recombinantes, y reactivos de inmunodiagnóstico que comprenden los anticuerpos, en donde los anticuerpos se seleccionan del grupo que consiste en un anticuerpo que comprende una región V_H sustancialmente idéntica a la secuencia mostrada en el SEQ ID NO.: 10 y una región V_L que comprende una secuencia de aminoácidos sustancialmente idéntica a la secuencia mostrada en el SEQ ID NO.: 14 y una región V_L que comprende una secuencia de aminoácidos sustancialmente idéntica a la secuencia mostrada en el SEQ ID NO.: 16; una región V_H sustancialmente idéntica a la secuencia mostrada en el SEQ ID NO.: 18 y una región V_L que comprende una secuencia de aminoácidos sustancialmente idéntica a la secuencia mostrada en el SEQ ID NO.: 20; una región V_H sustancialmente idéntica a la secuencia mostrada en el SEQ ID NO.: 28 y una región V_L que comprende una secuencia de aminoácidos sustancialmente idéntica a la secuencia mostrada en el SEQ ID NO.: 26. Los anticuerpos opcionalmente son anticuerpos monoclonales, anticuerpos humanizados, anticuerpos Fv de cadena sencilla, anticuerpos de afinidad madurada, anticuerpos de cadena sencilla, anticuerpos de dominio único, fragmentos Fab, fragmentos F(ab'), Fv unidos por disulfuro, y anticuerpos anti-idiotípicos, o fragmentos de los mismos.

De acuerdo con otro aspecto de la descripción, se proporciona una línea celular capaz de expresar un anticuerpo quimérico que se une específicamente a una región relevante para el diagnóstico de una proteína de *T. cruzi*, en

donde la línea celular opcionalmente se selecciona del grupo que consiste en PTA-8136, PTA-8138 y PTA-8140. También se proporciona una línea celular que es capaz de expresar un anticuerpo que se une específicamente a una región relevante para el diagnóstico de una proteína de *T. cruzi*, donde la línea celular opcionalmente se selecciona del grupo que consiste en PTA-8137, PTA-8139, PTA-8141 y PTA-8142.

De acuerdo con otro aspecto de la presente descripción, se proporciona un método de normalización de un análisis de detección de *T. cruzi* que comprende usar como un panel de sensibilidad reactivo de inmunodiagnóstico que comprende opcionalmente uno o más anticuerpos, incluyendo anticuerpos quiméricos y recombinantes, que son capaces de unirse específicamente a una región relevante para el diagnóstico de una proteína de *T. cruzi*. En tal panel, opcionalmente uno o más anticuerpos se seleccionan del grupo que consiste en un anticuerpo específico para FP3, Pep2, FP10 y FRA.

5

10

15

20

25

30

45

50

55

60

De acuerdo con otro aspecto de la presente descripción, se proporciona un método para detectar la presencia de antígenos de *T. cruzi* que comprende poner en contacto una muestra de análisis, tal como una muestra sospechosa de contener antígenos de *T. cruzi*, con un reactivo de inmunodiagnóstico que comprende uno o más anticuerpos, incluyendo anticuerpos quiméricos y recombinantes, que son capaces de unirse específicamente a un antígeno de *T. cruzi*. Opcionalmente, el contacto se realiza bajo condiciones que permiten la formación de complejos de anticuerpo:antígeno. Adicionalmente de manera opcional, el método comprende detectar cualquier complejo de anticuerpo:antígeno formado. Los anticuerpos opcionalmente son anticuerpos monoclonales, anticuerpos humanizados, anticuerpos Fv de cadena sencilla, anticuerpos de afinidad madurada, anticuerpos de cadena sencilla, anticuerpos de dominio único, fragmentos Fab, fragmentos F(ab'), Fv unidos por disulfuro, y anticuerpos antidiotípicos, o fragmentos de los mismos

De acuerdo con otro aspecto de la presente descripción, se proporciona un método para detectar la presencia de anticuerpos de *T. cruzi* que comprende poner en contacto una muestra de análisis, tal como una muestra sospechosa de contener anticuerpos de *T. cruzi*, con uno o más antígenos específico para los anticuerpos de *T. cruzi*. Opcionalmente este contacto se realiza bajo condiciones que permiten la formación de complejos de antígeno:anticuerpo, y adicionalmente de manera opcional el método comprende detectar los complejos de antígeno:anticuerpo. También adicionalmente, el método comprende opcionalmente el uso de un reactivo de inmunodiagnóstico que comprende uno o más anticuerpos, incluyendo anticuerpos quiméricos y recombinantes, en donde cada uno de los anticuerpos es capaz de unirse específicamente a uno de los antígenos usados en el método, p. ej., ya sea como un control positivo o reactivo de normalización.

De acuerdo con otro aspecto de la presente descripción, se proporciona un kit de diagnóstico para la detección de *T. cruzi* que comprende un reactivo de inmunodiagnóstico que comprende uno o más anticuerpos, incluyendo anticuerpos recombinantes y quiméricos recombinantes, que son capaces de unirse específicamente a una región relevante para el diagnóstico de una proteína de *T. cruzi*. En un kit de este tipo, los uno o más anticuerpos opcionalmente se seleccionan del grupo que consiste en un anticuerpo, incluyendo los anticuerpos quiméricos y recombinantes, específicos para FP3, Pep2, FP10 y FRA. Los anticuerpos opcionalmente son anticuerpos monoclonales, anticuerpos humanizados, anticuerpos Fv de cadena sencilla, anticuerpos de afinidad madurada, anticuerpos de cadena sencilla, anticuerpos de dominio único, fragmentos Fab, fragmentos F(ab'), Fv unidos por disulfuro, y anticuerpos anti-idiotípicos, o fragmentos de los mismos.

De acuerdo con otro aspecto más de la presente descripción, se proporcionan polipéptidos aislados que comprenden una porción de un anticuerpo quimérico que se une específicamente a una región relevante para el diagnóstico de un polipéptido de T. cruzi seleccionado del grupo que consiste en polipéptidos de T. cruzi que comprenden polipéptidos FP3, PEP2, FP10 o FRA. El anticuerpo quimérico opcionalmente se selecciona del grupo que consiste en un anticuerpo quimérico que se une específicamente a un epítopo que comprende una secuencia de aminoácidos seleccionada del grupo que consiste en una secuencia de aminoácidos sustancialmente idéntica a una secuencia de aminoácidos como la mostrada en el SEQ ID NO.: 2, el SEQ ID NO.: 4, el SEQ ID NO.: 6 y el SEQ ID NO.: 8. Los polipéptidos aislados comprenden opcionalmente una región V_H seleccionada del grupo que consiste en una secuencia de aminoácidos que es sustancialmente idéntica a la secuencia mostrada en el SEQ ID NO.: 10, el SEQ ID NO.: 14 el SEQ ID NO.: 18, y el SEQ ID NO.: 28. Los polipéptidos aislados comprenden opcionalmente una región V_L seleccionada del grupo que consiste en una secuencia de aminoácidos que es sustancialmente idéntica a la secuencia mostrada en el SEQ ID NO.: 12, el SEQ ID NO.: 16, el SEQ ID NO.: 20 y el SEQ ID NO.: 26. Adicionalmente, los polipéptidos aislados comprenden una región tanto V_H como V_L seleccionadas del grupo que consiste en una región V_H del SEQ ID NO.: 10 y una región V_L del SEQ ID NO.: 12; una región V_H del SEQ ID NO.: 14 y una región VL del SEQ ID NO.: 16; una región VH del SEQ ID NO.: 18 y una región VL del SEQ ID NO.: 20; y una región V_H del SEQ ID NO.: 28 y una región V_L del SEQ ID NO.: 26.

De acuerdo con otro aspecto de la descripción, se proporcionan polinucleótidos aislados que codifican una porción de un anticuerpo quimérico que se une específicamente a una región relevante para el diagnóstico de un polipéptido de *T. cruzi*, el polipéptido de *T. cruzi* se selecciona del grupo que consiste en polipéptidos de *T. cruzi* que comprenden polipéptidos FP3, PEP2, FP10 y FRA. El anticuerpo quimérico opcionalmente se selecciona del grupo

que consiste en un anticuerpo quimérico que se une específicamente a un epítopo que comprende una secuencia de aminoácidos seleccionada del grupo que consiste en una secuencia de aminoácidos sustancialmente idéntica a una secuencia de aminoácidos como la mostrada en el SEQ ID NO.: 2, el SEQ ID NO.: 4, el SEQ ID NO.: 6 y el SEQ ID NO.: 8. Los polinucleótidos aislados comprenden opcionalmente una región que codifica una región V_H seleccionada del grupo que consiste en una secuencia de aminoácidos que es sustancialmente idéntica a la secuencia mostrada en el SEQ ID NO.: 10, el SEQ ID NO.: 14, el SEQ ID NO.: 18 y el SEQ ID NO.: 28. Los polinucleótidos aislados comprenden una región que codifica una región V_L seleccionada del grupo que consiste en una secuencia de aminoácidos que es sustancialmente idéntica a la secuencia mostrada en el SEQ ID NO.: 12, el SEQ ID NO.: 16, el SEQ ID NO.: 20 y el SEQ ID NO.: 26. Además, los polinucleótidos aislados comprenden una región que codifica una región tanto V_H como V_L seleccionada del grupo que consiste en una región V_H del SEQ ID NO.: 10 y una región V_L del SEQ ID NO.: 12; una región V_L del SEQ ID NO.: 14 y una región V_L del SEQ ID NO.: 16; una región V_L del SEQ ID NO.: 26. En otros aspectos, el polinucleótido es uno seleccionado del grupo que consiste en el SEQ ID NO.: 9, el SEQ ID NO.: 11, el SEQ ID NO.: 13, el SEQ ID NO.: 15, el SEQ ID NO.: 17, el SEQ ID NO.: 19, el SEQ ID NO.: 25 y el SEQ ID NO.: 27.

De acuerdo con otro aspecto más de la descripción, se proporciona métodos de purificación de un antígeno que comprende una secuencia de aminoácidos de *T. cruzi* que comprende las secuencias de aminoácidos mostradas en SEQ ID NOs:. 1, 3, 5 o 7, que comprende poner en contacto una muestra sospechosa de contener un polipéptido de *T. cruzi* con un reactivo de inmunodiagnóstico, comprendiendo el reactivo de inmunodiagnóstico uno o más anticuerpos, incluyendo anticuerpos quiméricos o recombinantes, que son capaces de unirse específicamente a una proteína de *T. cruzi*, en condiciones que permiten la formación de complejos de anticuerpo:antígeno, aislando los complejos de anticuerpo:antígeno formados y separando el antígeno del anticuerpo. Opcionalmente, el anticuerpo, incluyendo los anticuerpos quiméricos y recombinantes, se une a un polipéptido de *T. cruzi* del grupo que consiste en FP3, Pep2, FP10, y FRA seleccionado.

Estas y otras características, aspectos, objetos y realizaciones de la descripción serán más evidentes en la siguiente descripción detallada en la que se hace referencia a los dibujos adjuntos que son ilustrativos de tales características, aspectos, objetos y realizaciones.

Breve descripción de los dibujos

5

10

15

20

25

30

50

55

60

La FIG. 1 presenta una estructura esquemática de los anticuerpos anti-epítopo de *T. cruzi* quimérico (ratón-humano) de la descripción.

La FIG. 2 representa esquemáticamente el plásmido Chagas 12-392-150 Mu-Hu_pBJ, tamaño de plásmido: 9520 nucleótidos. Un ORF del gen de resistencia a ampicilina se encuentra en las bases 60 a 917; un promotor se encuentra en las bases 1551-2021; un promotor se localiza en las bases 2023-2744; un péptido señal de la cadena pesada se localiza en las bases 2772-2828; un gen de V_H se localiza en las bases 2829-3194; una hgG1 constante humana, z, no a se localiza en las bases 3195-4187; un poli A de SV40 se localiza en las bases 4219-4413; un promotor de SV40 se localiza en las bases 4684-5229; un DHFR murino se localiza en las bases 5257-5820; un poli A de TK se localiza en las bases 5847-6213; un intensificador se localiza en las bases 6241-6711; un promotor se localiza en las bases 6712-7433; un péptido señal kappa se localiza en las bases 7460-7525; un gen de V_L se localiza en las bases 7526-7861; una cadena kappa constante humana se localiza en las bases 7862-8185; un poli A de SV40 se localiza en las bases 8198-8392; y un origen de pUC se localiza en las bases 8759-9432 (complementarias).

Las Figs. 3A-C representan la secuencia de polinucleótidos de doble cadena de anotada para las secuencias de VH y VL (y regiones flanqueantes) clonadas en Chagas 12-392-150 Mu-Hu_pBJ. La FIG. 3A-B representa la secuencia de polinucleótidos (SEQ ID NO.: 21-22) para el péptido señal de la cadena Pesada localizada en las bases 2772-2828, secuencias génicas de VH localizadas en las bases 2829-3194, y secuencias de IgG1 constante humana, z, no a localizadas en las bases 3195-4187. La FIG. 3C representa la secuencia de polinucleótidos (SEQ ID NO.: 23-24) del péptido señal Kappa localizado en la bases 7460-7525, las secuencias génicas de VL localizadas en las bases 7526-7861, y las secuencias de kappa Constante Humana localizadas en las bases 7862-8185.

La FIG. 4 representa esquemáticamente el plásmido Chagas 9-638 Mu-Hu_pBJ, tamaño del plásmido: 9514 nucleótidos. Un ORF gen de resistencia a ampicilina se localiza en las bases 60 a 917; un intensificador se localiza en las bases 1551-2021; un promotor se localiza en las bases 2023-2744; un péptido señal de la cadena pesada se localiza en las bases 2772-2828; un gen de V_H se localiza en las bases 2829-3188; una hgG1 humana constante, z, no a se localiza en las bases 3189-4181; una poli A de SV40 se localiza en las bases 4213-4407; un promotor de SV40 se localiza en las bases 4678-5223; un DHFR murino se localiza en las bases 5251-5814; una poli A de TK se localiza en las bases 5841-6207; un intensificador se localiza en las bases 6235-6705; un promotor se localiza en las bases 6706-7427; un péptido señal kappa se localiza en las bases 7454-7519; un gen de V_L se localiza en las bases 7520-7858; una cadena kappa constante humana se localiza en las bases 8753-9426 (complementarias).

La FIG. 5 representa esquemáticamente el plásmido Chagas 10-745 Mu-Hu_pBJ, tamaño del plásmido: 9514 nucleótidos. Un ORF gen de resistencia a ampicilina se localiza en las bases 60 a 917; un intensificador se localiza

en las bases 1551-2021; un promotor se localiza en las bases 2023-2744; un péptido señal de la cadena pesada se localiza en las bases 2772-2828; un gen de V_H se localiza en las bases 2829-3188; una IgG1 constante humana, z, no a se localiza en las bases 3189-4181; una poli A de SV40 se localiza en las bases 4213-4407; un promotor de SV40 se localiza en las bases 4678-5223; un DHFR murino se localiza en las bases 5251-5814; una poli A de TK se localiza en las bases 5841-6207; un intensificador se localiza en las bases 6235-6705; un promotor se localiza en las bases 6706-7427; un péptido señal kappa se localiza en las bases 7454-7519; un gen de V_L se localiza en las bases 7520-7855; una cadena kappa constante humana se localiza en las bases 7856-8179; una poli A de SV40 se localiza en las bases 8192-8386; y un origen de pUC en las bases 8753-9426 (complementarias).

10 Descripción detallada

5

15

20

25

30

35

40

45

50

El alcance de la presente invención se define por las reivindicaciones adjuntas. Otros aspectos de la descripción que no entran dentro del alcance de la presente invención definido por las presentes reivindicaciones se presentan con fines comparativos.

La presente descripción proporciona, entre otras cosas, métodos, análisis y kits para detectar o cuantificar antígenos de *Trypanosoma* (*Schizotrypanum*) cruzi. De acuerdo con una realización de la presente descripción, los anticuerpos recombinantes de la descripción, incluyendo los anticuerpos quiméricos, se unen específicamente a las regiones relevantes para el diagnóstico de proteínas de *T. cruzi* y por lo tanto son adecuados para su uso, por ejemplo, como reactivos de diagnóstico para la detección de *T. cruzi*, y/o como reactivos de normalización o reactivos de control positivo en los análisis para la detección de *T. cruzi*.

La presente descripción también proporciona por lo tanto un reactivo de inmunodiagnóstico que comprende uno o más anticuerpos recombinantes, incluyendo anticuerpos quiméricos, en donde cada anticuerpo es capaz de unirse específicamente a una región relevante para el diagnóstico de una proteína de T. cruzi. Los anticuerpos recombinantes pueden ser, por ejemplo, anticuerpos quiméricos, anticuerpos humanizados, fragmentos de anticuerpos, y similares. En otra realización, el reactivo de inmunodiagnóstico comprende dos o más anticuerpos recombinantes, incluyendo anticuerpos quiméricos. Opcionalmente, los anticuerpos utilizados en el reactivo de inmunodiagnóstico son cada uno específicos para un proteína antigénica de T. cruzi diferente, de tal manera que el reactivo de inmunodiagnóstico es capaz de detectar una pluralidad de antígenos de T. cruzi. Opcionalmente, el reactivo de inmunodiagnóstico comprende al menos uno o más, o al menos dos o más, anticuerpos recombinantes específicos para los antígenos de T. cruzi seleccionados del grupo que consiste en un anticuerpo recombinante específico para el antígeno de Chagas FP3, un anticuerpo recombinante específico para el antígeno FP6 de Chagas, un anticuerpo recombinante específico para el antígeno FP10 de Chagas, y un anticuerpo recombinante específico para el antígeno FRA de Chagas. En otra realización más, el anticuerpo o los anticuerpos del reactivo de inmunodiagnóstico son nuevos anticuerpos monoclonales producidos por las líneas celulares de hibridoma y son específicos para los antígenos de T. cruzi seleccionados del grupo que consiste en un anticuerpo monoclonal específico para el antígeno FP3 de Chagas, un anticuerpo monoclonal específico para el antígeno FP6 de Chagas, un anticuerpo monoclonal específico para el antígeno FP10 de Chagas, y un anticuerpo monoclonal específico para el antígeno FRA de Chagas.

En una realización, la presente descripción proporciona el uso del reactivo de inmunodiagnóstico como un reactivo de normalización en un análisis de detección *T. cruzi*, por ejemplo, en lugar de suero humano. En este contexto, el reactivo de inmunodiagnóstico opcionalmente se puede utilizar, por ejemplo, para evaluar y normalizar el funcionamiento de los análisis de detección de *T. cruzi* actuales y futuros.

Éstos y realizaciones, características, aspectos, ilustraciones y ejemplos adicionales de la descripción se describen adicionalmente en las secciones que siguen. Salvo que se defina de otra manera, todos los términos técnicos y científicos utilizados en la presente memoria tienen el mismo significado que el comúnmente entendido por un experto normal en la técnica a la que pertenece esta descripción.

A. Definiciones

En la presente memoria, las formas singulares "un", "una", "uno" y "el" y "la" incluyen los referentes plurales a menos que el contexto indique claramente lo contrario. Para la enumeración de los intervalos numéricos en la presente memoria, se contempla cada número intermedio con el mismo grado de precisión de forma explícita. Por ejemplo, para el intervalo de 6-9, se contemplan los números 7 y 8 además de 6 y 9, y para el intervalo de 6,0-7,0, se contemplan los números 6,0, 6,1, 6,2, 6,3, 6,4, 6,5, 6,6, 6,7, 6,8, 6,9 y 7,0 de forma explícita.

a) Aproximadamente

Según se utiliza en la presente memoria, el término "aproximadamente" se refiere a aproximadamente una variación de +/- 10% del valor establecido. Se debe entender que tal variación se incluye siempre en cualquier valor dado proporcionado en la presente memoria, se haga referencia o no a la misma específicamente.

b) Anticuerpo

5

10

30

35

40

50

55

El término "anticuerpo" (Ac) según se utiliza en la presente memoria comprende Ac sencillos dirigidos contra un ATC (un Ac anti-ATC), composiciones de Ac anti-ATC con especificidad poli-epitópica, Ac anti-ATC de cadena sencilla, y fragmentos de Ac anti-ATC. Un "anticuerpo monoclonal" (AcMo) se obtiene de una población sustancialmente homogénea de Ac, es decir, los Ac individuales que comprenden la población son idénticos excepto por posibles mutaciones naturales que pueden estar presentes en cantidades mínimas. Los Ac ilustrativos incluyen policlonales (AcPo), monoclonales (AcMo), humanizados, biespecíficos (AcB), Ac heteroconjugados e inmunoglobulinas de dominio dual variable (DVD-Ig[®]) y derivados de inmunoglobulinas de dominio dual variable (tales como dominios variables triples) (Inmunoglobulinas de dominio dual variable y los métodos para fabricarlas los describen Wu, C., et al, en Nature Biotechnology, 25 (11): 1290-1297 (2007) y el documento WO2001/058956).

c) Fragmento de anticuerpo

El término "fragmento de anticuerpo" o "fragmentos de anticuerpos", según se utiliza en la presente memoria, se refiere a una porción de un anticuerpo intacto que comprende el sitio de unión a antígeno o región variable del anticuerpo intacto, en donde la porción está libre de los dominios constantes de cadena pesada (es decir, C_H2, C_H3, y C_H4, dependiendo de isotipo de anticuerpo) de la región Fc del anticuerpo intacto. Los ejemplos de fragmentos de anticuerpos incluyen, pero no se limitan a, fragmentos Fab, fragmentos Fab', fragmentos Fab'-SH, fragmentos F(ab')₂, fragmentos Fv, diacuerpos, moléculas Fv de cadena sencilla (scFv), polipéptidos de cadena sencilla que contienen las tres CDR del dominio variable de cadena ligera, polipéptidos de cadena sencilla que contienen solo una región variable de cadena pesada, y polipéptidos de cadena sencilla que contienen las tres CDR de la región variable de cadena pesada.

25 d) Anticuerpo bifuncional

El término "anticuerpo bifuncional", según se utiliza en la presente memoria, se refiere a un anticuerpo que comprende un primer brazo que tiene una especificidad para un sitio antigénico y un segundo brazo que tiene una especificidad para un sitio antigénico diferente, es decir, los anticuerpos bifuncionales tienen una especificidad dual.

e) Muestra biológica

El término "muestra biológica" incluye tejidos, células y fluidos biológicos aislados de un sujeto, así como tejidos, células y fluidos presentes dentro de un sujeto. Las muestras biológicas de un sujeto contienen moléculas de polipéptido. Los ejemplos de las muestras biológicas incluyen sangre completa, suero, plasma, fluido intersticial, saliva, fluido del cristalino ocular, líquido cefalorraquideo, sudor, orina, leche, fluido ascítico, mucosa, fluido nasal, esputo, fluido sinovial, fluido peritoneal, fluido vaginal, fluido menstrual, líquido amniótico y semen. Los métodos de detección pueden usarse para detectar un ATC en una muestra biológica *in vitro* así como *in vivo*. Las técnicas *in vitro* para la detección de un ATC incluyen análisis de inmunoabsorción ligado a enzimas (ELISA), transferencias Western, inmunoprecipitaciones e inmunofluorescencia. Por otra parte, las técnicas *in vivo* para detectar un ATC incluyen introducir en un sujeto un anticuerpo anti-ATC marcado. Por ejemplo, el anticuerpo se puede marcar con un marcador radiactivo cuya presencia y localización en un sujeto puede detectarse por técnicas de formación de imágenes convencionales.

45 B) Constantes de unión

El término "constante de velocidad de asociación", "k_{on}" o "k_a" según se utiliza indistintamente en la presente memoria, se refiere al valor que indica la velocidad de unión de un anticuerpo a su antígeno diana o la velocidad de formación de complejo entre un anticuerpo y el antígeno como se muestra por medio de la siguiente ecuación:

Anticuerpo ("Ab") + Antígeno ("Ag") → Ab-Ag.

El término "constante de velocidad de disociación", "k_{off}" o "k_d" según se utiliza indistintamente en la presente memoria, se refiere al valor que indica la velocidad de disociación de un anticuerpo a partir de su antígeno diana o separación de complejo Ab-Ag a lo largo del tiempo al anticuerpo libre y al antígeno como se muestra por medio de la siguiente ecuación:

$$Ab + Ag \leftarrow Ab-Ag$$
.

60 Los métodos para la determinación de constantes de asociación y de velocidad de disociación son bien conocidos en la técnica. La utilización de técnicas basadas en fluorescencia ofrece alta sensibilidad y la capacidad de examinar muestras en tampones fisiológicos en el equilibrio. Se pueden utilizar otros enfoques y aparatos experimentales tales como un análisis BIAcore® (análisis de interacción biomolecular) (p. ej., aparato disponible de BIAcore International

AB, una compañía de GE Healthcare, Uppsala, Suecia). Además, también se puede utilizar un análisis KinExA® (<u>Kin</u>etic <u>Ex</u>clusion <u>A</u>ssay), disponible de Sapidyne Instruments (Boise, Idaho).

El término "constante de disociación en equilibrio" o "K_D" según se utiliza indistintamente, en la presente memoria, se refiere al valor obtenido dividiendo la velocidad de disociación (k_{off}) por la velocidad de asociación (k_{on}). La velocidad de asociación, la velocidad de disociación y la constante de disociación en equilibrio se utilizan para representar la afinidad de unión de un anticuerpo a un antígeno.

g) Anticuerpo quimérico

5

10

20

40

45

50

55

El término "anticuerpo quimérico" (o "Acq") según se utiliza en la presente memoria, se refiere a un polipéptido que comprende la totalidad o una parte de las regiones variables de cadena pesada y ligera de un anticuerpo de una especie anfitriona unidas a al menos parte de las regiones constantes del anticuerpo de otra especie anfitriona.

15 h) Que corresponde a o corresponde a

Los términos "que corresponde a" o "corresponde a" indican que una secuencia de ácido nucleico es idéntica a toda o una porción de una secuencia de ácido nucleico de referencia. El término "complementario a" se utiliza en la presente memoria para indicar que la secuencia de ácido nucleico es idéntica a toda o una porción de la cadena complementaria de una secuencia de ácido nucleico de referencia. Como ilustración, la secuencia de ácido nucleico "TATAC" corresponde a una secuencia de referencia "TATAC" y es complementaria a una secuencia de referencia "GTATA."

A menos que se especifique lo contrario en la presente memoria, todas las secuencias de ácidos nucleicos se escriben en una dirección 5 'a 3', y todas las secuencias de aminoácidos se escriben en una dirección amino- a carboxi-terminal.

i) Anticuerpo derivatizado

El término "anticuerpo derivatizado" según utiliza en la presente memoria se refiere a un anticuerpo o porción de anticuerpo que se derivatiza o conecta a otra molécula funcional. Por ejemplo, un anticuerpo o fragmento de anticuerpo puede ser conectado funcionalmente, mediante acoplamiento químico, fusión genética, o asociación no covalente, etc., a una o más moléculas, tales como otro anticuerpo, un agente detectable, un agente citotóxico, un agente farmacéutico, y un polipéptido que puede mediar la asociación del anticuerpo o porción de anticuerpo con otra molécula, tal como una región núcleo de estreptavidina o una etiqueta de polihistidina. Un tipo de anticuerpo derivatizado se produce por medio de entrecruzamiento de dos o más anticuerpos. Los agentes de entrecruzamiento adecuados incluyen aquellos que son hetero-bifuncionales (p. ej., éster de m-maleimidobenzoil-N-hidroxisuccinimida) u homo-bifuncional (p. ej., suberato de disuccinimidilo). Tales conectores están disponibles de Pierce Chemical Company (Rockford, IL).

j) Marca detectable

El término, "marcas detectables", según se utiliza en la presente memoria, incluyen moléculas o radicales que pueden detectarse directa o indirectamente. Además, estos agentes pueden ser derivatizados con anticuerpos e incluyen compuestos fluorescentes. Las clases de marcas incluyen materiales fluorescentes, luminiscentes, bioluminiscentes y radiactivos, enzimas y grupos prostéticos. Los marcadores útiles incluyen peroxidasa de rábano picante, fosfatasa alcalina, β-galactosidasa, acetilcolinesterasa, estreptavidina/biotina, avidina/biotina, umbeliferona, fluoresceína, isotiocianato de fluoresceína, rodamina, diclorotriazinilamina fluoresceína, cloruro de dansilo, ficoeritrina, luminol, luciferasa, luciferina, aequorina, e ¹²⁵I, ¹³¹I, ³⁵S o ³H.

k) Relevante para el diagnóstico

El término "relevante para el diagnóstico" según se utiliza en la presente memoria con referencia a una región de una proteína de *T. cruzi* se refiere a una región de la proteína cuya detección, ya sea sola o combinada con otras regiones relevantes para el diagnóstico de Chagas, permite la detección de *T. cruzi*. Los ejemplos de regiones relevantes para el diagnóstico incluyen regiones inmunodominantes conocidos en la técnica y regiones tales como las descritas en la presente memoria.

I) Epítopo, epítopos o epítopos de interés

Según utiliza en la presente memoria, el término "epítopo", "epítopos" o "epítopos de interés" se refiere a uno o varios sitios en cualquier molécula que es reconocido y es susceptible de unirse a uno o varios sitios complementarios sobre su compañero de unión específico. La molécula y el compañero de unión específico son parte de un par de unión específica. Por ejemplo, un epítopo puede ser un polipéptido, proteína, hapteno, antígeno carbohidratado (tal como, pero no limitado a, glicolípidos, glicoproteínas o lipopolisacáridos) o polisacárido y su

compañero de unión específico, puede ser, pero no se limita a, un anticuerpo. Típicamente un epítopo está contenido dentro de un fragmento antigénico más grande (es decir, región o fragmento capaz de unirse a un anticuerpo) y se refiere a los residuos precisos conocidos para entrar en contacto con el compañero de unión específico. Es posible que un fragmento antigénico contenga más de un epítopo.

m) Anticuerpo humanizado

5

10

15

20

25

30

35

40

55

60

El término "anticuerpo humanizado", según se utiliza en la presente memoria, se refiere a un polipéptido que comprende una región variable modificada de un anticuerpo humano en donde una porción de la región variable ha sido sustituida por la secuencia correspondiente de una especie no humana y en donde la región variable modificada está conectada a al menos parte de la región constante de un anticuerpo humano. En una realización, la porción de la región variable es toda o una parte de las regiones determinantes de la complementariedad (CDR). El término también incluye anticuerpos híbridos producidos por corte y empalme de una región variable o una o más CDR de un anticuerpo no humano con una o varias proteínas heterólogas, independientemente de la especie de origen, tipo de proteína, denominación de la clase o subclase de inmunoglobulina, siempre y cuando los anticuerpos híbridos muestren la actividad biológica deseada (es decir, la capacidad de unirse específicamente a una proteína antigénica de *T. cruzi*).

n) Aislada o purificada

El término "aislada" o "purificada", cuando se refiere a una molécula, se refiere a una molécula que ha sido identificada y separada y/o recuperada de un componente de su entorno natural. Los componentes contaminantes de su entorno natural son materiales que interfieren en el uso diagnóstico o terapéutico. El término polipéptido o fragmento biológicamente activo (tal como un fragmento Fab) "aislado" o "purificado" según utiliza en la presente memoria se refiere a un polipéptido o fragmento biológicamente activo que es separado y/o recuperado de un componente de su entorno. Los componentes contaminantes incluyen materiales que típicamente interferirían con los usos diagnósticos del polipéptido, y pueden incluir enzimas, hormonas, y otros materiales polipeptídicos o no polipeptídicos. Para ser sustancialmente aisladas, las preparaciones tienen menos de aproximadamente 30% en peso seco de contaminantes (es decir, de aproximadamente 0,01% a aproximadamente 30%), usualmente menos de aproximadamente 20% (es decir, de aproximadamente 0,01% a aproximadamente 20%), menos de aproximadamente 10% (es decir, de aproximadamente 0,01% a aproximadamente 10%), y más a menudo, menos de aproximadamente 5% (es decir, de aproximadamente 0,01% a aproximadamente 5%) contaminantes. Un ATC producido por recombinación, aislado, V_L o V_H o porción biológicamente activa está deseablemente sustancialmente libre de medio de cultivo, es decir, el medio de cultivo representa menos de aproximadamente 20%, aproximadamente 10%, o aproximadamente 5% del volumen de la preparación de ATC, VL o VH. Por lo tanto, un "anticuerpo aislado", según se utiliza en la presente memoria, se refiere a un anticuerpo que está sustancialmente libre de otros anticuerpos que tienen diferentes especificidades antigénicas. Un anticuerpo aislado que se une específicamente a un epítopo de T. cruzi puede, sin embargo, tener reactividad cruzada con otros antígenos de T. cruzi, tales como, por ejemplo, un anticuerpo que se une al epítopo Pep2, que se encuentra en los polipéptidos Tcf y 6PM de Chagas.

o) Reactivos de Control de Calidad

Según se describe en la presente memoria, los inmunoanálisis incorporan "reactivos de control de calidad" que incluyen pero no se limitan a, p. ej., calibradores, controles y paneles de sensibilidad. Un "calibrador" o "patrón" se utiliza típicamente (p. ej., uno o más, o una pluralidad) con el fin de establecer curvas de calibración (patrones) para la interpolación de la concentración de anticuerpo. Opcionalmente, se puede utilizar un solo calibrador cerca del punto de corte positivo/negativo. Se pueden utilizar juntos calibradores múltiples (es decir, más de un calibrador o una cantidad variable de calibradores) con el fin de que comprenda un "panel de sensibilidad. Se utiliza un "control positivo" para establecer las características de rendimiento del análisis y es un indicador útil de la integridad de los reactivos (p. ei., antígenos).

p) Anticuerpo recombinante o anticuerpos recombinantes

El término "anticuerpo recombinante" o "anticuerpos recombinantes," según utiliza en la presente memoria, se refiere a un anticuerpo preparado por medio de una o más etapas que incluyen la clonación de secuencias de ácidos nucleicos que codifican la totalidad o una parte de uno o más anticuerpos monoclonales en un vector de expresión apropiado mediante técnicas recombinantes y, posteriormente, la expresión del anticuerpo en una célula anfitriona apropiada. El término incluye por tanto, pero no se limita a, los anticuerpos producidos de forma recombinante, que son anticuerpos monoclonales, fragmentos de anticuerpos, incluyendo fragmentos de anticuerpos monoclonales, anticuerpos quiméricos, anticuerpos humanizados (total o parcialmente humanizados), estructuras multiespecíficas o multivalentes formadas a partir de fragmentos de anticuerpos (incluyendo moléculas de tipo IgG tetravalentes denominadas inmunoglobulina de dominio dual variable, DVD-Ig®), y anticuerpos bifuncionales.

q) Específico o especificidad

Según se utiliza en la presente memoria, "específico" o "especificidad" en el contexto de una interacción entre los miembros de un par de unión específica (p. ej., un antígeno y un anticuerpo) se refiere a la reactividad selectiva de la interacción. La frase "se une específicamente a" y términos análogos de los mismos se refieren a la capacidad de los anticuerpos para unirse específicamente a una proteína de *T. cruzi* y no unirse específicamente a otras entidades. Los anticuerpos o fragmentos de anticuerpos que se unen específicamente a una proteína de *T. cruzi* pueden ser identificados, por ejemplo, mediante inmunoanálisis de diagnóstico (p. ej., radioinmunoanálisis ("RIA") y análisis de inmunoabsorción ligado a enzimas ("ELISA") (Véanse, por ejemplo, Paul, ed., Fundamental Immunology, 2ª ed., Raven Press, Nueva York, páginas 332-336 (1989)), BIAcore® (análisis de interacción biomolecular, aparato disponible de BIAcore International AB, Uppsala, Suecia), KinExA® (<u>Kin</u>etic <u>Ex</u>clusión <u>A</u>ssay, disponible de Sapidyne Instruments (Boise, Idaho)) u otros mecanismos conocidos por los expertos en la técnica.

r) Sustancialmente idéntica

20

25

30

35

40

55

5

10

15

El término "sustancialmente idéntica", según se utiliza en la presente memoria con respecto a una secuencia de ácido nucleico o de aminoácidos indica que, cuando se alinean óptimamente, por ejemplo usando los métodos descritos a continuación. la secuencia de ácido nucleico o de aminoácido comparte al menos aproximadamente 70% (p. ej., de aproximadamente 70% a aproximadamente 100%), al menos aproximadamente 75% (p. ej., de aproximadamente 75% a aproximadamente 100%), al menos aproximadamente 80% (p. ej., de aproximadamente 80% a aproximadamente 100%), al menos aproximadamente 85% (p. ej., de aproximadamente 85% a aproximadamente 100%), al menos aproximadamente 90% (p. ej., de aproximadamente 90% a aproximadamente 100%), al menos aproximadamente 95% (p. ej., de aproximadamente 95% a aproximadamente 100%) , al menos aproximadamente 96% (p. ej., de aproximadamente 96% a aproximadamente 100%), al menos aproximadamente 97% (p. ej., de aproximadamente 97% a aproximadamente 100%), al menos aproximadamente 98% (p. ej., de aproximadamente 98% a aproximadamente el 100%), o al menos aproximadamente 99% (p. ej., de aproximadamente 99% a aproximadamente 100%) de identidad de secuencia con una segunda secuencia de ácido nucleico o aminoácidos definida (o "secuencia de referencia"). Se puede utilizar "identidad sustancial" para referirse a diversos tipos y longitudes de secuencia, tales como secuencia completa, epítopos o péptidos inmunogénicos, dominios funcionales, secuencias codificantes y/o reguladoras, exones, intrones, promotores, y secuencias genómicas. El porcentaje de identidad entre dos secuencias de aminoácidos o de ácido nucleico se puede determinar de varias maneras que están dentro del conocimiento práctico de un experto en la técnica, por ejemplo, utilizando soporte lógico informático disponible públicamente, tal como Smith Waterman Alingment (Smith, T.F. y M.S. Waterman (1981) J. Mol Biol 147: 195-7); "BestFit" (Smith y Waterman, Advances in Applied Mathematics, 482-489 (1981)) incorporado en GeneMatcher Plus™, Schwarz y Dayhof (1979) Atlas of Protein Sequence and Structure, Dayhof, M. O., Ed págs. 353-358; programa BLAST (Basic Local Alignment Search Tool (Altschul, S. F., W. Gish, et al. (1990) J Mol Biol 215: 403-10), y variaciones del mismo incluyendo soporte lógico BLAST-2, BLAST-P, BLAST-N, BLAST-X, WU-BLAST-2, ALIGN, ALIGN-2, CLUSTAL, and Megalign (DNASTAR). Además, los expertos en la técnica pueden determinar parámetros apropiados para medir el alineamiento, incluyendo los algoritmos necesarios para conseguir el máximo alineamiento sobre la longitud de las secuencias que se comparan. En general, para las secuencias de aminoácidos, la longitud de las secuencias de comparación es de al menos aproximadamente 10 aminoácidos. Un experto en la técnica entiende que la longitud real depende de la longitud total de las secuencias que se comparan y puede ser de al menos aproximadamente 20, al menos aproximadamente 30, al menos

que se comparan y puede ser de al menos aproximadamente 20, al menos aproximadamente 30, al menos aproximadamente 40, al menos aproximadamente 50, al menos aproximadamente 60, al menos sobre 70, al menos aproximadamente 80, al menos aproximadamente 100, al menos aproximadamente 110, al menos aproximadamente 120, al menos aproximadamente 130, al menos aproximadamente 140, al menos aproximadamente 150, al menos aproximadamente 250, al menos aproximadamente 250, al menos aproximadamente 300, o al menos aproximadamente 350 aminoácidos, o puede ser la longitud completa de la secuencia de aminoácidos. Para los ácidos nucleicos, la longitud de las secuencias de comparación es generalmente de al menos aproximadamente 25 nucleótidos, pero puede ser de al menos aproximadamente 50, al menos aproximadamente 100, al menos aproximadamente 125, al menos aproximadamente 150, al menos aproximadamente 200, al menos aproximadamente 300, al m

menos

aproximadamente 500, al menos aproximadamente 550, al menos aproximadamente 600, al menos aproximadamente 650, al menos aproximadamente 700, al menos aproximadamente 800, al menos aproximadamente 900, o al menos aproximadamente 1000 nucleótidos, o puede ser la longitud completa de la secuencia de ácido nucleico.

menos

aproximadamente 450, al

aproximadamente 400, al

s) Resonancia de plasmón superficial

aproximadamente 350, al

El término "resonancia de plasmón superficial", según se utiliza en la presente memoria se refiere a un fenómeno óptico que permite el análisis de interacciones bioespecíficas en tiempo real mediante la detección de alteraciones en concentraciones de proteína dentro de una matriz biosensora, por ejemplo utilizando el sistema Biacore® (Biacore (GE Healthcare)) (Johnsson, B., et al. 1991. Immobilization of proteins to a carboxymethyldextran-modified gold surface for biospecific interaction analysis in surface plasmon resonance sensors. Anal Biochem. 198:268-77;

Johnsson, B., et al. 1995. Comparison of methods for immobilization to carboxymethyl dextran sensor surfaces by analysis of the specific activity of monoclonal antibodies. J Mol Recognit. 8:125-31; Jonsson, U., et al. 1993. Introducing a biosensor based technology for real-time biospecific interaction analysis. Ann Biol Clin (Paris). 51:19-26).

t) ATC

5

10

20

25

La abreviatura "ATC", según se utiliza en la presente memoria, significa "antígeno de *T. cruzi.*" FP3, Pep2, TcF, 6PM, y FP10 se refieren a los ATC y se definen más adelante. Otras abreviaturas se definen a medida que se introducen.

La terminología utilizada en la presente memoria tiene el propósito de describir únicamente realizaciones concretas y no se pretende por lo demás que sea limitante.

15 B. Anticuerpos anti-*T. cruzi* y líneas celulares que los producen

La presente descripción proporciona, entre otras cosas, nuevos anticuerpos, las líneas celulares que producen estos anticuerpos, y métodos de fabricación de estos anticuerpos. Estos anticuerpos se unen a varios antígenos de *T. cruzi* (ATC) e incluyen los contenidos en los polipéptidos FP3, Pep2 (TcF, FP6) y FP10, y se pueden utilizar como AcMo, tales como AcMo de ratón, inmunoglobulina de dominio dual variable (DVD-Ig[®]) o como anticuerpos quiméricos, tales como quimeras de ratón-humano (Mu-HU). Estos anticuerpos son útiles como controles positivos en los inmunoanálisis. Además, los anticuerpos pueden utilizarse para purificar polipéptidos de *T. cruzi* que albergan los ATC. Los ejemplos de los anticuerpos y las líneas celulares de la presente descripción se presentan a continuación en la Tabla 1.

Tabla 1: Compendio de Antígenos de *T. cruzi* y líneas celulares productoras de anticuerpos 1

14514 11 00	inpendie de i	unugenee de 77 e	ruzi y ililoud dolalur	o productorac	ac anticacipes	
Antígeno	Línea celular de hibridoma			Línea celular CHO		
Nombre de Antígeno	Nombre de Línea Celular	Nombre deLaboratorio	Depósito de la ATCC * [Fecha de depósito]		Nombre de Laboratorio	Depósito de la ATCC * [Fecha de depósito]
FP3	HBFP3	Chagas FP3 12- 392-150-110	PTA-8139 [01/24/07]	CHOFP3	Chagas FP3 12-392- 150CHO2580-104	PTA-8136 [01/24/07]
Pep2 (TCF, 6PM)	HBPep2	Chagas 9-638- 132-115	PTA-8137 [01/24/07]	CHOPep2	Chagas Pep2 9-638- 1928	PTA-8138 [01/24/07]
FP10	HBF10	Chagas 10-745- 140	PTA-8141 [01/24/07]	CHOFP10	Chagas FP10 10-745- 3796	PTA-8140 [01/24/07]

¹Otra línea celular de hibridoma, nombre de laboratorio de Chagas 8-367-171 y que produce un AcMo que se une al antígeno FRA recombinante, se deposita como PTA-8142 (también depositada en 01/24/07).

Otros ejemplos de anticuerpos de la presente descripción son anticuerpos que:

(a) que se unen específicamente a una región relevante para el diagnóstico de un polipéptido de *T. cruzi*, en donde el polipéptido de *T. cruzi* es FRA y adicionalmente en donde dicho anticuerpo tiene al menos una constante de unión seleccionada del grupo que consiste en: una constante de velocidad de asociación (k_a) entre aproximadamente 7,0 x 10⁵ M⁻¹s⁻¹ y aproximadamente 7,0 x 10⁶ M⁻¹s⁻¹, una constante de velocidad de disociación (K_d) entre aproximadamente 4,0 x 10⁻³s⁻¹ y aproximadamente 3,0 x 10⁻¹s⁻¹ y una constante de disociación en equilibrio (K_D) entre aproximadamente 5,7 x 10⁻¹⁰M y aproximadamente 4,3 x 10⁻⁷M; (b) que se unen específicamente a una región relevante para el diagnóstico de un polipéptido de *T. cruzi*, en donde el polipéptido de *T. cruzi* es Pep2 y adicionalmente en donde dicho anticuerpo tiene al menos una constante de unión seleccionada del grupo que consiste en: una constante de velocidad de asociación (k_a) entre aproximadamente 1,0 x 10⁶ M⁻¹s⁻¹ y aproximadamente 8,0 x 10⁶ M⁻¹s⁻¹; una constante de velocidad de disociación (k_d) entre aproximadamente 6,0 x 10⁻³s⁻¹ y aproximadamente 4,0 x 10⁻²s⁻¹ y una constante de

disociación (k_d) entre aproximadamente 6,0 x 10⁻³s⁻¹ y aproximadamente 4,0 x 10⁻²s⁻¹ y una constante de disociación en equilibrio (K_D) entre aproximadamente 7,5 x 10⁻¹⁰M y aproximadamente 4,0 x 10⁻⁸M; (c) que se unen específicamente a una región relevante para el diagnóstico de un polipéptido de *T. cruzi*, en donde el polipéptido de *T. cruzi* es FP10 y adicionalmente en donde dicho anticuerpo tiene al menos una constante de unión seleccionada del grupo que consiste en (a) una constante de velocidad de asociación

constante de unión seleccionada del grupo que consiste en: (a) una constante de velocidad de asociación (k_a) entre aproximadamente 5,0 x 10^4 M $^{-1}$ s $^{-1}$ y aproximadamente 3,0 x 10^5 M $^{-1}$: (B) una constante de

45

^{*} Todos los depósitos de líneas celulares se realizaron en el marco del Tratado de Budapest sobre el Reconocimiento Internacional del Depósito de Microorganismos para los Fines del Procedimiento de Patentes (Tratado de Budapest) de 28 de Abril 1977 y modificado el 26 de Septiembre., 1980 American Type Culture Collection (ATCC); P.O. Box 1549; Manassas, VA 20108; USA.

velocidad de disociación (k_d) entre aproximadamente 1,0 x $10^{-4}s^{-1}$ y aproximadamente 8,0 x $10^{-4}s^{-1}$; y (c) una constante de disociación en equilibrio (K_D) entre aproximadamente 3,3 x 10^{-10} M y aproximadamente 1,6 x 10^{-8} M;

(d) que se unen específicamente a una región relevante para el diagnóstico de un polipéptido de T. cruzi, en donde el polipéptido de T. cruzi es FP3 y adicionalmente en donde dicho anticuerpo tiene al menos una constante de unión seleccionada del grupo que consiste en: una constante de velocidad de asociación (k_a) entre aproximadamente 2,0 x 10^5 M $^{-1}$ s $^{-1}$ y aproximadamente 6,0 x 10^6 M $^{-1}$ s $^{-1}$; una constante de velocidad de disociación (k_d) entre aproximadamente 2,0 x 10^{-5} s $^{-1}$ y aproximadamente 8,0 x 10^{-4} s $^{-1}$; y una constante de disociación en equilibrio (K_D) entre aproximadamente 3,3 x 10^{-12} M y aproximadamente 4,0 x 10^{-9} M; y (e) cualquier combinación de (a)-(d).

Para preparar los anticuerpos anti-T. cruzi y las líneas celulares productoras de estos anticuerpos como se describe adicionalmente en la presente memoria, generalmente se siguió un proceso de dos etapas: (1) se desarrollaron líneas celulares de hibridoma que producían anticuerpos monoclonales que se unían específicamente a los antígenos de interés - los epítopos de T. cruzi (ATC); y (2) los anticuerpos quiméricos se modificaron genéticamente utilizando tecnologías recombinantes, y a continuación se utilizaron líneas celulares de expresión de mamífero para producir los anticuerpos modificados genéticamente. En esta segunda parte, después de identificar las líneas celulares de hibridoma que secretan los AcMo deseados, el ARNm se aisló de estas células y se identificaron las secuencias génicas de los anticuerpos. Las secuencias de polinucleótidos ligera variable (V_L) y pesada variable (V_H) fueron clonadas en vectores pBOS (que proporcionan las secuencias de anticuerpos humanos) que a continuación fueron co-transfectadas en un sistema de expresión transitoria para confirmar que los anticuerpos quiméricos resultantes eran funcionales. Tras la confirmación, las secuencias V_L fueron subclonadas en el plásmido pJV, y las secuencias V_H en el plásmido pBV; estos vectores, se utilizaron a continuación para construir un vector de expresión pBJ estable. Las células CHO fueron transfectadas con pBJ, se seleccionaron los transfectantes, y los anticuerpos secretados se sometieron a ensayo de nuevo, lo que permite la producción a escala industrial. Por lo tanto, las regiones V_H y V_L de ratón se combinaron con las regiones de la cadena constante humana (CH) y la cadena ligera constante (CL) para crear ejemplares de los anticuerpos quiméricos de la descripción. Por lo tanto, los anticuerpos quiméricos conservan la especificidad funcional del AcMo de ratón y la afinidad por el ATC, pero reaccionan en análisis de anticuerpos que están diseñados para detectar inmunoglobulina humana (Ig). En una realización, la descripción se refiere a anticuerpos monoclonales (AcMo) que se unen específicamente a los ATC FP3, Pep2 (FP6/Tcf), FP10 y FRA. Los ratones se inmunizan individualmente con los antígenos recombinantes FP3, Pep2, FP10 o FRA, los ratones productores de anticuerpos se identifican y se sacrifican, las células del bazo se cosechan y se fusionan con células de mieloma, y se aíslan las líneas celulares de hibridoma que producen los AcMo.

C. Reactivo de inmunodiagnóstico

5

10

15

20

25

30

35

40

45

50

55

60

El reactivo de inmunodiagnóstico de la presente descripción comprende uno o más anticuerpos descritos en la presente memoria (Véanse, por ejemplo, las Secciones B y E en la presente memoria). Por ejemplo, los anticuerpos que comprenden el reactivo de inmunodiagnóstico pueden incluir anticuerpos recombinantes, que también incluyen en la presente memoria anticuerpos quiméricos recombinantes, que se unen específicamente a una región relevante para el diagnóstico de una proteína de T. cruzi. Por lo tanto, en una realización, el reactivo de inmunodiagnóstico proporcionado por la presente descripción comprende un único anticuerpo capaz de unirse específicamente a una región relevante para el diagnóstico de una proteína de T. cruzi. En otras realizaciones, el reactivo de inmunodiagnóstico proporcionado por la presente descripción comprende un único anticuerpo quimérico capaz de unirse específicamente a una región relevante para el diagnóstico de una proteína de T. cruzi. En otras realizaciones, el reactivo de inmunodiagnóstico comprende una pluralidad de anticuerpos, que puede incluir uno o más anticuerpos recombinantes, tales como un anticuerpo quimérico recombinante, cada uno capaz de unirse específicamente una región relevante para el diagnóstico de una proteína de T. cruzi (p. ej., ya sea la misma región o de una región diferente). Uno o más de la pluralidad de anticuerpos quiméricos pueden ser capaces de unirse específicamente a una región relevante para el diagnóstico de la misma proteína de T. cruzi. Alternativamente, cada uno de la pluralidad de anticuerpos quiméricos puede unirse específicamente a una región relevante para el diagnóstico de una proteína de *T. cruzi* diferente.

En una realización, de la presente descripción, el reactivo de inmunodiagnóstico es capaz de detectar una pluralidad de antígenos de *T. cruzi* y opcionalmente comprende dos o más anticuerpos recombinantes, cada uno capaz de unirse específicamente a un diferente proteína antigénica de *T. cruzi*. En una realización adicional, el reactivo de inmunodiagnóstico comprende opcionalmente tres o más anticuerpos recombinantes, cada uno capaz de unirse específicamente a una proteína antigénica de *T. cruzi* diferente. En otra realización, el reactivo de inmunodiagnóstico comprende opcionalmente cuatro o más anticuerpos recombinantes, cada uno capaz de unirse específicamente a una proteína antigénica de *T. cruzi* diferente.

Los anticuerpos recombinantes comprendidos en el reactivo de inmunodiagnóstico se pueden modificar opcionalmente, por ejemplo, para propósitos de detección, para la inmovilización sobre un soporte sólido, para

mejorar la estabilidad y/o para mejorar las propiedades farmacocinéticas, o por otros medios, como es conocido en la técnica.

D. Antígenos de T. cruzi

5

10

15

20

T. cruzi es un organismo complejo, con un ciclo de vida complejo. Sin embargo, se han identificado antígenos importantes que son útiles para la detección de diagnóstico del parásito.

El antígeno FP3 (Kirchhoff, L.V., y K. Otsu. Publicación de Patente de los Estados Unidos Núm. 2004/0132077. 2004) es una proteína recombinante que corresponde esencialmente a la combinación de Ag15 de *T. cruzi* (Otsu, K., et al. 1993. Interruption of a Trypanosoma cruzi gene encoding a protein containing 14-amino acid repeats by targeted insertion of the neomycin phosphotransferase gene. Mol Biochem Parasitol. 57:317-30) y Proteína C de *T. cruzi*, siendo esta última una proteína flagelar de unión de calcio (González, A., et al. 1985. Apparent generation of a segmented mRNA from two separate tandem gene families in Trypanosoma cruzi. Nucleic Acids Res. 13:5789-804). La secuencia de polinucleótido (SEQ ID NO.: 1) y la secuencia de polipéptido (SEQ ID NO.: 2) se muestran a continuación en las Tablas 2 y 3, respectivamente. Las secuencias de aminoácidos específicas para las repeticiones de 14 aminoácidos de *T. cruzi* están subrayadas en la Tabla 3, los aminoácidos que corresponden a Proteína A de *T. cruzi* están en negrita en la Tabla 3, los aminoácidos correspondientes a la Proteína B están en *cursiva* en la Tabla 3 y los aminoácidos correspondientes a la Proteína C están con doble subrayado en la Tabla 3.

Tabla 2: Secuencia de polinucleótido de FP3 (SEQ ID NO.:1)

			(,	
ATGGCCCAGC	TCCAACAGGC	AGAAAATAAT	ATCACTAATT	CCAAAAAAGA	AATGACAAAG
CTACGAGAAA	AAGTGAAAAA	GGCCGAGAAA	GAAAAATTGG	ACGCCATTAA	CCGGGCAACC
AAGCTGGAAG	AGGAACGAAA	CCAAGCGTAC	AAAGCAGCAC	ACAAGGCAGA	GGAGGAAAAG
GCTAAAACAT	TTCAACGCCT	TATAACATTT	GAGTCGGAAA	ATATTAACTT	AAAGAAAAGG
CCAAATGACG	CAGTTTCAAA	TCGGGATAAG	AAAAAAATT	CTGAAACCGC	AAAAACTGAC
GAAGTAGAGA	AACAGAGGGC	GGCTGAGGCT	GCCAAGGCCG	TGGAGACGGA	GAAGCAGAGG
GCAGCTGAGG	CCACGAAGGT	TGCCGAAGCG	GAGAAGCGGA	AGGCAGCTGA	GGCCGCCAAG
GCCGTGGAGA	CGGAGAAGCA	GAGGGCAGCT	GAAGCCACGA	AGGTTGCCGA	AGCGGAGAAG
CAGAAGGCAG	CTGAGGCCGC	CAAGGCCGTG	GAGACGGAGA	AGCAGAGGGC	AGCTGAAGCC
ACGAAGGTTG	CCGAAGCGGA	GAAGCAGAGG	GCAGCTGAAG	CCATGAAGGT	TGCCGAAGCG
GAGAAGCAGA	AGGCAGCTGA	GGCCGCCAAG	GCCGTGGAGA	CGGAGAAGCA	GAGGGCAGCT
GAAGCCACGA	AGGTTGCCGA	AGCGGAGAAG	CAGAAGGCAG	CTGAGGCCGC	CAAGGCCGTG
GAGACGGAGA	AGCAGAGGGC	AGCTGAAGCC	ACGAAGGTTG	CCGAAGCGGA	GAAGCAGAAG
GCAGCTGAGG	CCGCCAAGGC	CGTGGAGACG	GAGAAGCAGA	GGGCAGCTGA	AGCCACGAAG
GTTGCCGAAG	CGGAGAAGGA	TATCGATCCC	ATGGGTGCTT	GTGGGTCGAA	GGACTCGACG
AGCGACAAGG	GGTTGGCGAG	CGATAAGGAC	GGCAAGAACG	CCAAGGACCG	CAAGGAAGCG
TGGGAGCGCA	TTCGCCAGGC	GATTCCTCGT	GAGAAGACCG	CCGAGGCAAA	ACAGCGCCGC
ATCGAGCTCT	TCAAGAAGTT	CGACAAGAAC	GAGACCGGGA	AGCTGTGCTA	CGATGAGGTG
CACAGCGGCT	GCCTCGAGGT	GCTGAAGTTG	GACGAGTTCA	CGCCGCGAGT	GCGCGACATC
ACGAAGCGTG	CATTCGACAA	GGCGAGGGCC	CTGGGCAGCA	AGCTGGAGAA	CAAGGGCTCC
GAGGACTTTG	TTGAATTTCT	GGAGTTCCGT	CTGATGCTGT	GCTACATCTA	CGACTTCTTC
GAGCTGACGG	TGATGTTCGA	CGAGATTGAC	GCCTCCGGCA	ACATGCTGGT	TGACGAGGAG
GAGTTCAAGC	GCGCCGTGCC	CAGGCTTGAG	GCGTGGGGCG	CCAAGGTCGA	GGATCCCGCG
GCGCTGTTCA	AGGAGCTCGA	TAAGAACGGC	ACTGGGTCCG	TGACGTTCGA	CGAGTTTGCT
GCGTGGGCTT	CTGCAGTCAA	ACTGGACGCC	GACGGCGACC	CGGACAACGT	GCCGGAGAGC
L					

Table 2: FP3 polynucleotide sequence (SEQ ID NO.:1)

	ATGGCCCAGC	TCCAACAGGC	AGAAAATAAT	ATCACTAATT	CCAAAAAAGA	AATGACAAAG
i	CTACGAGAAA	AAGTGAAAAA	GGCCGAGAAA	GAAAAATTGG	ACGCCATTAA	CCGGGCAACC
	AAGCTGGAAG	AGGAACGAAA	CCAAGCGTAC	AAAGCAGCAC	ACAAGGCAGA	GGAGGAAAAG
	GCTAAAACAT	TTCAACGCCT	TATAACATTT	GAGTCGGAAA	ATATTAACTT	AAAGAAAAGG
	CCAAATGACG	CAGTTTCAAA	TCGGGATAAG	AAAAAAATT	CTGAAACCGC	AAAAACTGAC
	GAAGTAGAGA	AACAGAGGGC	GGCTGAGGCT	GCCAAGGCCG	TGGAGACGGA	GAAGCAGAGG
	GCAGCTGAGG	CCACGAAGGT	TGCCGAAGCG	GAGAAGCGGA	AGGCAGCTGA	GGCCGCCAAG
	GCCGTGGAGA	CGGAGAAGCA	GAGGGCAGCT	GAAGCCACGA	AGGTTGCCGA	AGCGGAGAAG
	CAGAAGGCAG	CTGAGGCCGC	CAAGGCCGTG	GAGACGGAGA	AGCAGAGGGC	AGCTGAAGCC
	ACGAAGGTTG	CCGAAGCGGA	GAAGCAGAGG	GCAGCTGAAG	CCATGAAGGT	TGCCGAAGCG
	GAGAAGCAGA	AGGCAGCTGA	GGCCGCCAAG	GCCGTGGAGA	CGGAGAAGCA	GAGGGCAGCT
	GAAGCCACGA	AGGTTGCCGA	AGCGGAGAAG	CAGAAGGCAG	CTGAGGCCGC	CAAGGCCGTG
	GAGACGGAGA	AGCAGAGGGC	AGCTGAAGCC	ACGAAGGTTG	CCGAAGCGGA	GAAGCAGAAG
	GCAGCTGAGG	CCGCCAAGGC	CGTGGAGACG	GAGAAGCAGA	GGGCAGCTGA	AGCCACGAAG
	GTTGCCGAAG	CGGAGAAGGA	TATCGATCCC	ATGGGTGCTT	GTGGGTCGAA	GGACTCGACG
	AGCGACAAGG	GGTTGGCGAG	CGATAAGGAC	GGCAAGAACG	CCAAGGACCG	CAAGGAAGCG
	TGGGAGCGCA	TTCGCCAGGC	GATTCCTCGT	GAGAAGACCG	CCGAGGCAAA	ACAGCGCCGC
	ATCGAGCTCT	TCAAGAAGTT	CGACAAGAAC	GAGACCGGGA	AGCTGTGCTA	CGATGAGGTG
	CACAGCGGCT	GCCTCGAGGT	GCTGAAGTTG	GACGAGTTCA	CGCCGCGAGT	GCGCGACATC
	ACGAAGCGTG	CATTCGACAA	GGCGAGGGCC	CTGGGCAGCA	AGCTGGAGAA	CAAGGGCTCC
	GAGGACTTTG	TTGAATTTCT	GGAGTTCCGT	CTGATGCTGT	GCTACATCTA	CGACTTCTTC
	GAGCTGACGG	TGATGTTCGA	CGAGATTGAC	GCCTCCGGCA	ACATGCTGGT	TGACGAGGAG
	GAGTTCAAGC	GCGCCGTGCC	CAGGCTTGAG	GCGTGGGGCG	CCAAGGTCGA	GGATCCCGCG
	GCGCTGTTCA	AGGAGCTCGA	TAAGAACGGC	ACTGGGTCCG	TGACGTTCGA	CGAGTTTGCT
	GCGTGGGCTT	CTGCAGTCAA	ACTGGACGCC	GACGGCGACC	CGGACAACGT	GCCGGAGAGC
Į						

CCGAGACCGA TGGGAATC

5 Tabla 3: secuencia de polipéptido de FP3 (SEQ ID NO.: 2)

MAQLQQAENN ITNSKKEMTK LREKVKKAEK EKLDAINRAT KLEEERNQAY KAAHKAEEEK AKTFORLITF ESENINLKKR PNDAVSNRDK KKNSETAKTD EV
<u>EKQRAAEAAKAVET</u>
<u>EKQRAAEATKVAEA</u>
<u>EKRKAAEAAKAVET</u>
<u>EKQRAAEATKVAEA</u>
<u>EKQKAAEAAKAVET</u>
<u>EKQRAAEATKVAEA</u>
<u>EKQRAAEAMKVAEA</u>
<u>EKQKAAEAAKAVET</u>
<u>EKQRAAEATKVAEA</u>
<u>EKQKAAEAAKAVET</u>
<u>EKQRAAEATKVAEA</u>
<u>EKQKAAEAAKAVET</u>

<u>EKQRAAEATKVAEA</u>

EKDIDP MGACGSKDST SDKGLASDKD GKNAKDRKEA WERIRQAIPR EKTAEAKORR

IELFKKFDKN ETGKLCYDEV HSGCLEVLKL DEFTPRVRDI TKRAFDKARA LGSKLENKGS

EDFVEFLEFR LMLCYIYDFF ELTVMFDEID ASGNMLVDEE EFKRAVPRLE AWGAKVEDPA

ALFKELDKNG TGSVTFDEFA AWASAVKLDA DGDPDNVPES PRPMGI

El antígeno Pep2 (Kirchhoff y Otsu, 2004) es una proteína recombinante de secuencias repetidas de *T. cruzi.* FP6 y Tcf, polipéptidos de *T. cruzi*, tienen ambos el antígeno Pep2. La secuencia de polinucleótido (SEQ ID NO.: 3) y la secuencia de polipéptido (SEQ ID NO.: 4) se muestran en las Tablas 4 y 5, respectivamente.

Tabla 4: Secuencia de polinucleótido de Pep2 (SEQ ID NO.: 3)

GGTGACAAAC CATCACCATT TGGACAGGCC GCAGCAGGTG ACAAACCATC ACCATTTGGA CAGGCC

Tabla 5: Secuencia de polipéptido de Pep2 (SEQ ID NO: 4).

GDKPSPFGQA AAGDKPSPFG QA

10

15

5

El antígeno FP10 (Kirchhoff y Otsu, 2004) es otra proteína recombinante de secuencias repetidas de *T. cruzi.* Sus secuencias de polinucleótido (SEQ ID NO.: 5) y de polipéptido (SEQ ID NO.: 6) se muestran a continuación en las Tablas 6 y 7, respectivamente. La secuencia de aminoácidos del dominio I está subrayada en la Tabla 7, la secuencia de aminoácidos del dominio J está en *cursiva* en la Tabla 7, la secuencia de aminoácidos del dominio K está en **negrita** en la Tabla 7 y la secuencia de aminoácidos del dominio L está con doble subrayado en la Tabla 7.

Tabla 6: Secuencia de polinucleótido de FP10 (SEQ ID NO.: 5)

GATCCAACGT ATCGTTTTGC AAACCACGCG TTCACGCTGG TGGCGTCGGT GACGATTCAC GAGGTTCCGA GCGTCGCGAG TCCTTTGCTG GGTGCGAGCC TGGACTCTTC TGGTGGCAAA AAACTCCTGG GGCTCTCGTA CGACGAGAAG CACCAGTGGC AGCCAATATA CGGATCAACG CCGGTGACGC CGACCGGATC GTGGGAGATG GGTAAGAGGT ACCACGTGGT TCTTACGATG GCGAATAAAA TTGGCTCCGT GTACATTGAT GGAGAACCTC TGGAGGGTTC AGGGCAGACC GTTGTGCCAG ACGAGAGGAC GCCTGACATC TCCCACTTCT ACGTTGGCGG GTATGGAAGG AGTGATATGC CAACCATAAG CCACGTGACG GTGAATAATG TTCTTCTTTA CAACCGTCAG CTGAATGCCG AGGAGATCAG GACCTTGTTC TTGAGCCAGG ACCTGATTGG CACGGAAGCA CACATGGGCA GCAGCAGCGG CAGCAGTGCC CACGGTACGC CCTCGATTCC CGTTGACAGC AGTGCCCACG GTACACCCTC GACTCCCGTT GACAGCAGTG CCCACGGTAC GCCCTCGACT CCCGTTGACA GCAGTGCCCA CGGTACACCC TCGACTCCCG TTGACAGCAG TGCCCACGGT ACACCCTCGA CTCCCGTTGA CAGCAGTGCC CACGGTAAGC CCTCGACTCC CGCTGACAGC AGTGCCCACA GTACGCCCTC GACTCCCGCT GACAGCAGTG CCCACAGTAC GCCCTCAATT CCCGCTGACA GCAGTGCCCA CAGTACGCCC TCAGCTCCCG CTGACAACGG CGCCAATGGT ACGGTTTTGA TTTTGTCGAC TCATGACGCG TACAGGCCCG TTGATCCCTC GGCGTACAAG CGCGCCTTGC CGCAGGAAGA GCAAGAGGAT GTGGGGCCGC GCCACGTTGA TCCCGACCAC TTCCGCTCGA CCTCGACGAC TCATGACGCG TACAGGCCCG TTGATCCCTC GGCGTACAAG CGCGCCTTGC CGCAGGAAGA GCAAGAGGAT GTGGGGCCGC GCCACGTTGA TCCCGACCAC TTCCGCTCGA CGACTCATGA CGCGTACAGG CCCGTTGATC CCTCGGCGTA CAAGCGCGCC TTGCCGCAGG AAGAGCAAGA GGATGTGGGG CCGCGCCACG TTGATCCCGA CCACTTCCGC TCGACCTCGA CGACTCATGA CGCGTACAGG CCCGTTGATC CCTCGGCGTA CAAGCGCGCC TTGCCGCAGG AAGAGCAAGA GGATGTGGGG CCGCGCCACG TTGATCCCGA CCACTTCCGC TCGACCTCGA CGACTCATGA CGCGTACAGG CCCGTTGATC CCTCGGCGTA CAAGCGCGCC TTGCCGCAGG AAGAGCAAGA GGATGTGGGG CCGCGCCACG TTGATCCCGA CCACTTCCGC TCGACGACTC ATGACGCGTA CAGGCCCGTT GATCCCTCGG CGTACAAGCG CGCCTTGCCG CAGGAAGAGC AAGAGGATGT GGGGCCGCGC CACGTTGATC CCGACCACTT CCGCTCG

Tabla 7: Secuencia de polipéptido de FP10 (SEQ ID NO.: 6)

Table 7. decidence de polipeptido de 11 10 (de que 100 d)
DPTYRFANHA FTLVASVTIH EVPSVASPLL GASLDSSGGK KLLGLSYDEK HQWQPIYGST PVTPTGSWEM GKRYHVVLTM ANKIGSVYID GEPLEGSGQT VVPDERTPDI SHFYVGGYGR SDMPTISHVT VNNVLLYNRQ
GKRYHVVLTM ANKIGSVYID GEPLEGSGQT VVPDERTPDI SHFYVGGYGR SDMPTISHVT VNNVLLYNRQ LNAEEIRTLF LSQDLIGTEA HMGSSSG
SSAHGTPSIPVD
SSAHGTPSTPVD
SSAHGTPSTPVD
SSAHGTPSTPVD
SSAHGTPSTPVD
SSAHGKPSTPAD
SSAHSTPSTPAD
SSAHSTPSIPAD
SSAHSTPSAPAD
NGANGTV LILSTHDAYR PVDPSAYKRA LPOEEQEDVG PRHVDPDHFR STSTTHDAYR PVDPSAYKRA
LPQEEQEDVG PRHVDPDHFR STTHDAYRPV DPSAYKRALP QEEOEDVGPR HVDPDHFRST STTHDAYRPV DPSAYKRALP QEEQEDVGPR HVDPDHFRST STTHDAYRPV DPSAYKRALP QEEQEDVGPR HVDPDHFRST
THDAYRPVDP SAYKRALPQE EQEDVGPRHV DPDHFRS

El antígeno FRA es una secuencia de la proteína repetitiva flagelar (Lafaille, J. J., etc. 1989. Structure and expression of two Trypanosoma cruzi genes encoding antigenic proteins bearing repetitive epitopes. Mol Biochem Parasitol. 35:127-36), Acceso GenBank J04015, se muestra a continuación en la Tabla 8 (secuencia de polinucleótido, SEQ ID NO: 7) y 9 (secuencia de polipéptido; SEQ ID NO.: 8).

Tabla 8: Secuencia de polinucleótido de FRA (SEQ ID NO.: 7)

ATGGAGTCAG GAGCGTCAGA TCAGCTGCTC GAGAAGGACC CGCGTCAGGA ACGCGAAGGA GATTGCTGCG CTTGAGGAGA GTCATGAATG CCCGCGTCAT CAGGAGCTGG CGCGCGAGAA GAAGCTTGCC GACCGCGCT TCCTTGACTC AGAAGCCGGA GCGCGTGCCG CTGGCTGACG TGCCGCTCGA CGACGATCAG CGACTTTGTT GCG

10

30

5

Tabla 9: Secuencia de polipéptido de FRA (SEQ ID NO: 8).

MEQERROLLE KDPRRNAKEI AALEESMNAR AQELAREKKL ADRAFLDOKP ERVPLADVPL DDDSDFVA

Los ATC de los SEQ ID NO.: 2, 4, 6 y 8 se pueden sintetizar in vitro o expresar de forma recombinante a partir de 15 secuencias de polinucleótidos, tales como las sustancialmente similares a los SEQ ID NO.: 1, 3, 5 y 7. Debido a la redundancia en el código genético y la capacidad de los polipéptidos de los SEQ ID NO.: 2, 4, 6 y 8 para tolerar sustituciones, no se necesita que las secuencias sean idénticas para llevar a la práctica la descripción. Las identidades de las secuencias de polinucleótidos y de polipéptidos pueden variar entre aproximadamente 70% y aproximadamente 100% (especialmente de aproximadamente 90% a aproximadamente 97%), tal como aproximadamente 70%, aproximadamente 75%, aproximadamente 80%, aproximadamente 81%, aproximadamente 20 82%, aproximadamente 83%, aproximadamente 84%, aproximadamente 85%, aproximadamente 86%, aproximadamente 87%, aproximadamente 88%, aproximadamente 89%, aproximadamente 90%, aproximadamente 91%, aproximadamente 92%, aproximadamente 93%, aproximadamente 94%, aproximadamente 95%, aproximadamente 96%, aproximadamente 97%, aproximadamente 98%, aproximadamente 99% y por supuesto. aproximadamente 100%.

25

Los TCA se pueden sintetizar fácilmente in vitro utilizando química de polipéptidos. Por ejemplo, la síntesis de polipéptidos puede llevarse a cabo de una manera escalonada sobre un soporte en fase sólida utilizando un sintetizador de polipéptidos automático, tal como un Sintetizador de Péptidos Rainin Symphony, Sintetizador de Péptidos Advanced Chemtech, un Sistema de Síntesis Argonaut Parallel, o un Sintetizador de Péptidos Applied Biosystems. El aparato sintetizador de péptidos combina la química Fmoc con activación/HBTU/HOBt DIEA para llevar a cabo la síntesis de péptidos en fase sólida.

La síntesis comienza con el aminoácido C-terminal, en donde el extremo carboxilo se une covalentemente a una resina de soporte polimérico insoluble. Las resinas útiles pueden cargar de 0,1 mmoles a 0,7 mmoles de aminoácido C-terminal por gramo de resina; presentan resistencia de visualización a los diversos disolventes y productos químicos utilizados durante un ciclo sintético típico, tales como diclorometano (DCM), N,N-dimetilformamida (DMF), N-metil-pirrolidona (NMP), N,N-dimetilamina (DMA), 1-hidroxibenzotriazol (HOBt), 2-(1-H-benzotriazol-1-il)1,1,3,3-tetrametiluronio (HBTU), N,N-diisopropiletilamina (DIEA), metanol (MeOH), o agua; y son susceptibles de aplicaciones de síntesis de flujo continuo o por lotes. Los ejemplos de resinas útiles incluyen resina de Alcohol p-Benciloxibencílico (resina HMP), resina de PEG co-Merrifield, resina NovaSyn TGA® (Novabiochem), resina AM con 4-sulfamilbutirilo, y resina de amida CLEAR. Las resinas acopladas a aminoácidos son asequibles comercialmente de varias fuentes diferentes, aunque tales resinas acopladas también se pueden preparar en el laboratorio.

El extremo N-terminal del aminoácido acoplado a la resina (o polipéptido) está protegido químicamente por un grupo 9-flourenilmetoxicarbonilo (Fmoc) que se retira antes de la adición del siguiente reaccionante ácidoamino N-terminal. El grupo Fmoc es un grupo protector lábil alcalino que es eliminado fácilmente por soluciones concentradas de aminas, tales como piperidina 20-55%, en un disolvente adecuado, tal como NMP o DMF. Otras aminas útiles para la desprotección de Fmoc incluyen tris(2-aminoetil)amina, 4-(aminometil)piperidina, fluoruro de tetrabutilamonio, y 1,8-diazabiciclo[5,4,0]undec-7-eno (DBU). La eliminación completa del grupo Fmoc del extremo N es importante para que todas las cadenas de polipéptidos acoplados a la resina participen eficazmente en cada ciclo de acoplamiento; de lo contrario, se producirán cadenas de polipéptidos de longitud y secuencia heterogéneas. Después de la eliminación catalizada por base del grupo Fmoc, la resina se lavó exhaustivamente con un tampón adecuado para eliminar el catalizador alcalino.

Las cadenas laterales de muchos aminoácidos contienen grupos químicamente reactivos, tales como aminas, alcoholes, o tioles. Estas cadenas laterales deben ser protegidas adicionalmente para evitar reacciones secundarias no deseadas durante la etapa de acoplamiento. Los grupos protectores de cadena lateral son estables frente a los álcalis, más preferiblemente, son más útiles tanto estables frente a los álcalis como lábiles frente a los ácidos. La Tabla 10 proporciona un conjunto ilustrativo de los grupos de protección de la cadena lateral para esta categoría de aminoácidos.

Tabla 10. Reactivos de protección de la cadena lateral

5

10

25

30

35

40

45

50

Protección de la cadena lateral	Aminoácido
t-butil éter	Ser, Thr, Tyr;
éster t-butílico	Glu y Asp
Tritilo	Cys, His, Asn y Gln
2,2,5,7,8-pentametilcromano-6-sulfonilo	Arg
butoxicarbonilo (tBoc)	Lys

El grupo carboxilato del aminoácido protegido con Fmoc entrante se activa a fin de lograr el acoplamiento químico eficaz al extremo N-terminal del polipéptido unido a la resina. La activación se lleva a cabo típicamente mediante reacción de un aminoácido protegido con Fmoc con un reactivo adecuado para producir un éster reactivo. Los ejemplos de los ésteres activados incluyen el éster pentafluorofenílico (OPfp) y el éster de 3-hidroxi-2,3-dihidro-4oxo-benzo-triazona (ODhbt), éster OBt, y el éster de Oat derivado de 1-hidroxi-7-azabenzotriazol (HOAt). Las reacciones de acoplamiento se pueden realizar in situ utilizando reactivos activadores, tales como DCC, BOP, BOP-CI, TBTU, HBTU o hexafluorofosfato de O-(7-azabenzotrizol-1-il)-1,1,3,3-tetrametiluronio (HATU). Las reacciones de acoplamiento ilustrativas incluyen una mezcla de HOBt y HBTU, o una mezcla de HOBt, HBTU, y DIEA. Para los Nmetilaminoácidos, las condiciones de acoplamiento pueden utilizar hexafluorofosfato de bromo-tris-pirrolidinofosfonio (PyBroP) como único reactivo de acoplamiento, y la reacción de acoplamiento se realiza manualmente en DCM con DIEA presente en N2. El aminoácido protegido con Fmoc está presente en exceso molar con respecto al polipéptido unido a la resina. Para las reacciones de acoplamiento que proceden con una velocidad lenta, las reacciones de acoplamiento se repiten una o más veces (acoplamiento doble o múltiple) para asegurar que todo el polipéptido unido a la resina ha experimentado una reacción de adición satisfactoria con el Fmoc-aminoácido activado. Para las reacciones de acoplamiento incompleto, los residuos N-terminales que no han reaccionado se protegen terminalmente utilizando un reactivo de protección terminal adecuado.

Tras la reacción de acoplamiento, el soporte de resina se lava para eliminar los Fmoc-aminoácidos y los reactivos de acoplamiento que no habían reaccionado. La resina se somete a continuación a un nuevo ciclo de eliminación catalizada por álcali del grupo Fmoc N-terminal para preparar el polipéptido para otra adición de aminoácidos.

Después de que el polipéptido deseado se ha sintetizado, la resina se somete a eliminación catalizada por álcali del grupo protector Fmoc restante. La resina acoplada a polipéptido se lava para eliminar la base y posteriormente se trata con ácido para eliminar cualquier grupo protector de la cadena lateral de aminoácidos y liberar la cadena polipeptídica del soporte de resina. Los ácidos útiles son ácidos fuertes, tales como ácido trifluoroacético (TFA) en presencia de captadores adecuados, tales como reactivo K [TFA: tioanisol:etanoditiol:fenol:agua (82,5:5:2,5:5:5)].

El polipéptido se separa posteriormente de la resina mediante filtración y opcionalmente se lava repetidamente con un disolvente adecuado, tal como DCM/DMF. El polipéptido se puede desalar opcionalmente a través de ultrafiltración utilizando una membrana con un corte de PM adecuado. El polipéptido puede ser precipitado de la disolución utilizando un disolvente adecuado, tal como metil t-butil éter o t-butiletileter frío, y el producto precipitado opcionalmente lavado con un disolvente adecuado, tal como éter frío y secado. El polipéptido se puede purificar adicionalmente utilizando un medio de cromatografía adecuado, tal como cromatografía hidrófoba utilizando una resina C18 y un sistema de tampón cromatográfico apropiado, tal como TFA/agua/acetonitrilo. La pureza del péptido opcionalmente se puede analizar por espectrometría de masas, tal como MALDI-MS, HPLC analítica, análisis de aminoácidos o secuenciación.

Alternativamente, los ATC de los SEQ ID NO.: 2, 4, 6, y 8 se pueden expresar de manera recombinante utilizando las secuencias de polinucleótidos de los SEQ ID NO.: 1, 3, 5 y 7 utilizando, por ejemplo, vectores de expresión. En los vectores de expresión, el ADN introducido se conecta operablemente a elementos, tales como promotores, que señalan la célula anfitriona para transcribir el ADN insertado. Algunos promotores son excepcionalmente útiles, tales como los promotores inducibles que controlan la transcripción génica en respuesta a factores específicos. Los ejemplos de los promotores inducibles incluyen aquellos que son específicos de tejido, que relegan la expresión a ciertos tipos de células, sensibles a esteroides (p. ej., glucocorticoides (Kaufman, R. J. 1990. Vectors used for expression in mammalian cells. Methods Enzymol. 185:487-511) y tetraciclina o reactivo de choque térmico. Algunos sistemas de represión bacterianos, tales como el operón *lac*, pueden ser explotados en células de mamíferos y animales transgénicos (Fieck, A., et al. 1992. Modifications of the E. coli lac repressor for expression in eukaryotic cells: effects of nuclear signal sequences on protein activity and nuclear accumulation. Nucleic Acids Res. 20:1785-91; Wyborski, D. L., L. C. DuCoeur, y J. M. Short. 1996). Parámetros que afectan al uso del sistema represor lac en células eucariotas y animales transgénicos. Environ Mol Mutagen. 28:447-58; Wyborski, D. L., y J. M. Short. 1991. Analysis of inducers of the E. coli lac repressor system in mammalian cells and whole animals. Nucleic Acids Res. 19:4647-53). Las tecnologías de ácido nucleico recombinante, la transfección a células y la expresión celular e *in vitro* se comentan adicionalmente más adelante.

E. Anticuerpos recombinante

Los anticuerpos recombinantes de la presente descripción comprenden regiones de unión a antígeno derivadas de los dominios V_H y/o V_L de un anticuerpo nativo capaces de unirse específicamente a una proteína antigénica de T. cruzi. El anticuerpo recombinante puede ser, por ejemplo, un anticuerpo monoclonal producido de manera recombinante, un fragmento de un anticuerpo monoclonal, un anticuerpo quimérico, un anticuerpo humanizado, una inmunoglobulina, de dominio dual variable multiespecífica (DVD- Ig^{\oplus}) o estructura multivalente formada a partir de un fragmento de anticuerpo, o un anticuerpo bifuncional.

En una realización, opcionalmente, el anticuerpo recombinante es un anticuerpo que:

(1) se une específicamente a una región relevante para el diagnóstico de un polipéptido de T. cruzi, en donde el polipéptido de T. cruzi es FRA y adicionalmente en donde dicho anticuerpo tiene al menos una constante de unión seleccionada del grupo que consiste en: una constante de velocidad de asociación (K_a) entre aproximadamente $7,0 \times 10^5 \, \mathrm{M}^{-1} \mathrm{s}^{-1}$ y aproximadamente $7,0 \times 10^6 \, \mathrm{M}^{-1} \mathrm{s}^{-1}$, una constante de velocidad de disociación (K_d) entre aproximadamente $4,0 \times 10^3 \mathrm{s}^{-1}$ y aproximadamente $3,0 \times 10^{-1} \mathrm{s}^{-1}$ y una constante de disociación en equilibrio (K_D) entre aproximadamente $5,7 \times 10^{-10} \, \mathrm{M}$ y aproximadamente $4,3 \times 10^{-7} \, \mathrm{M}$; (b) se une específicamente a una región relevante para el diagnóstico de un polipéptido de T. cruzi, en donde el polipéptido de T. cruzi es Pep2 y adicionalmente en donde dicho anticuerpo tiene al menos una constante de unión seleccionada del grupo que consiste en: una constante de velocidad de asociación (K_a) entre aproximadamente $1,0 \times 10^6 \, \mathrm{M}^{-1} \mathrm{s}^{-1}$ y aproximadamente $8,0 \times 10^6 \, \mathrm{M}^{-1} \mathrm{s}^{-1}$; una constante de velocidad de disociación (K_d) entre aproximadamente $6,0 \times 10^{-3} \mathrm{s}^{-1}$ y aproximadamente $4,0 \times 10^{-2} \mathrm{s}^{-1}$ y una constante de disociación en equilibrio (K_D) entre aproximadamente $7,5 \times 10^{-10} \, \mathrm{M}$ y aproximadamente $4,0 \times 10^{-8} \, \mathrm{M}$; (c) se une específicamente a una región relevante para el diagnóstico de un polipéptido de T. cruzi, en donde el polipéptido de T. cruzi es FP10 y adicionalmente en donde dicho anticuerpo tiene al menos una constante de unión seleccionada del grupo que consiste en: (a) una constante de velocidad de asociación (K_a) entre aproximadamente $5,0 \times 10^4 \, \mathrm{M}^{-1} \, \mathrm{s}^{-1}$ y aproximadamente $3,0 \times 10^5 \, \mathrm{M}^{-1} \, \mathrm{s}^{-1}$; (B) una constante de velocidad de disociación (K_d) entre aproximadamente $3,0 \times 10^{-10} \, \mathrm{M}$ y aproximadamente $3,0 \times 10^{-10} \, \mathrm{M}$ y aproximadamente $3,0 \times 10^{-1$

5

10

15

25

30

45

(d) se une específicamente a una región relevante para el diagnóstico de un polipéptido de *T. cruzi*, en donde el polipéptido de *T. cruzi* es FP3 y adicionalmente en donde dicho anticuerpo tiene al menos una constante de unión seleccionada del grupo que consiste en: una constante de velocidad de asociación (k_a) entre aproximadamente 2,0 x 10⁵ M⁻¹s⁻¹ y aproximadamente 8,0 x 10⁴s⁻¹; una constante de velocidad de disociación (k_d) entre aproximadamente 2,0 x 10⁻⁵s⁻¹ y aproximadamente 8,0 x 10⁴s⁻¹; y una constante de disociación en equilibrio (K_D) entre aproximadamente 3,3 x 10⁻¹²M y aproximadamente 4,0 x 10⁻⁹M; y (e) cualquier combinación de (a) - (d). En otra realización, opcionalmente, el anticuerpo recombinante es un anticuerpo quimérico que retiene la especificidad y la afinidad del anticuerpo monoclonal de ratón y reacciona en un formato de inmunoanálisis que mide inmunoglobulina humana. Opcionalmente, el anticuerpo quimérico de ratón-humano se dirige contra el antígeno FP3, FP6, FP10 o FRA. Opcionalmente, tal anticuerpo quimérico reacciona en un formato de inmunoanálisis existente incluyendo, pero no limitado a plataformas AxSYM®, Architect® y PRISM® de Abbott Laboratories.

La región de unión al antígeno abarcada por el anticuerpo recombinante puede incluir la secuencia de V_H y/o V_L completa del anticuerpo nativo, o puede comprender una o más porciones de la misma, tales como las CDR, junto con secuencias derivadas de uno o más de otros anticuerpos. En una realización, el anticuerpo recombinante comprende secuencias V_H y V_L completas del anticuerpo nativo.

El anticuerpo nativo del que derivan las regiones de unión al antígeno es generalmente un anticuerpo de vertebrados. Por ejemplo, el anticuerpo nativo puede ser un anticuerpo de roedor (p. ej., ratón, hámster, rata), un anticuerpo de pollo, un anticuerpo de conejo, un anticuerpo canino, un anticuerpo felino, un anticuerpo bovino, un anticuerpo equino, un anticuerpo porcino, un anticuerpo de simio (p. ej., chimpancé), o un anticuerpo humano. La fuente del anticuerpo se basa principalmente en la conveniencia. En una realización, el anticuerpo natural es un anticuerpo no humano.

El anticuerpo recombinante también puede incluir una o más regiones constantes, por ejemplo, las regiones C_L, C_H1, bisagra, C_H2, C_H3, y/o C_H4, derivadas del mismo anticuerpo nativo o de un anticuerpo diferente. La región o las regiones constantes pueden derivar de un anticuerpo de una o varias especies de vertebrados, incluyendo, pero no limitadas a, las enumeradas anteriormente. En una realización, de la presente descripción, el anticuerpo recombinante comprende al menos una región constante. En otra realización, el anticuerpo recombinante comprende una o más regiones constantes que derivan de un anticuerpo humano. En una realización específica de la presente descripción, el anticuerpo recombinante comprende la región variable de un anticuerpo no humano unida a la región constante de un anticuerpo humano.

La región o las regiones constantes abarcadas por el anticuerpo recombinante pueden derivar de una o más clases de inmunoglobulinas o isotipos, por ejemplo para las regiones constantes derivadas de inmunoglobulinas humanas, la región constante puede derivar de una o más de una región constante de IgM, IgD, IgG1, IgG2, IgG3, IgG4, IgA1, IgA2 o IgE. Cuando la región constante comprende una región derivada de una cadena ligera de IgG, éste puede derivar de una cadena kappa o una cadena lambda. El anticuerpo recombinante puede comprender secuencias de más de una clase o isotipo. La selección de los dominios constantes concretos para optimizar la función deseada del anticuerpo recombinante se encuentra dentro del conocimiento práctico de la técnica. En una realización, de la presente descripción, el anticuerpo recombinante comprende uno o más dominios constantes derivados de una IgG. En otra realización, el anticuerpo recombinante comprende regiones de las cadenas tanto pesadas como ligeras de un dominio constante de IgG.

En una realización, de la presente descripción, las regiones de unión a antígeno derivan de un anticuerpo nativo que se une específicamente a un epítopo dentro de una región relevante para el diagnóstico de una proteína antigénica de *T. cruzi*.

En una realización específica de la presente descripción, las regiones de unión a antígeno del anticuerpo recombinante comprenden una secuencia de aminoácidos sustancialmente idéntica a la totalidad o una porción de la secuencia de V_H o V_L como se expone en una cualquiera de los SEQ ID NO.: 10, 12, 14, 16, 18, 20, 26 o 28 (Véase la Tabla 12 a continuación; Véase la Tabla 11 a continuación para un resumen de los identificadores SEQ ID NO y las correspondientes descripciones de secuencia). En otra realización, las regiones de unión a antígeno del anticuerpo recombinante comprenden regiones determinantes de complementariedad (CDR; es decir, CDR1, CDR2 y CDR3) de una secuencia V_H o VL.

Tabla 11. Compendio de los SEQ ID NO.: para cadenas V_L y V_H

Antígeno	Línea celular	Polinucleótido V _L	Polipéptido V _L	Polinucleótido V _H	Polipéptido V _H
FP3	HBFP3	9	10	11	12
FP6 (TcF/Pep2)	HBPep2	13	14	15	16
FP10	HBFP10	17	18	19	20
FRA	8-367-171	25	26	27	28

Tabla 12. Secuencias de Polipéptido de V_H y V_L ilustrativas

SEQ ID NO.:	Secuencia	V _H o V _L	ATC
10		V _L	FP3
	YIVMSQSPSS LAVSAGEKVT MSCKSSQSLL NSRTRKNHLA		
	WYQQKPGQSP KLLIYWASTR ESGVPDRFTG SGSGTDFALT		
	ISSVQAEDLA VYFCKQSYNL YTFGAGTKLE LK		
12		V _H	FP3
	DVQLVESGGG LVQPGGSRKL SCAASGFTFS VFGMHWVRQA		
	PEKGLEWVAY ISSGSTIIYY ADTVKGRFTI SRDNPKNTLF		
	LQMTGLRSED TAMYYCARPL YYDYDDYAMD YWGQGTSVTV		
	SS		
14	DIVINGOGRACIA NASCEGNATI MEGREGOGI E NEDERININI A	VL	FP6
	DIVMSQSPSS LAVSAGEQVT MSCKSSQSLF NSRTRKNYLA		
	WYQQKPGQSP KLLIYWASTR ESGVPDRFTG SGSGTDFTLT		
	ISSVQAEDLA VYYCKQSYNL LTFGAGTKLE LK		
16		V _H	FP6
	QVQLQQPGAE LVRPGASVKL SCKASGYTFT SYWMNWVKLR		
	PGQGLEWIGM IDPSDSETYY DQVFKDKATL TVDKSSSTAY		
	MHLSSLTSED SAVYYCARWI TTDSYTMDYW GQGTSVTVSS		
18		V _L	FP10
	DVVMTQTPLS LPVSLGDQAS ISCRSSQSLV HSNGNTYLHW		
	YLQKPGQSPK LLIYKVSNRF SGVPDRFSGS GSGTDFTLKI		
	SRVEAEDLGV YFCSQSTHVP PTFGGGTKLE IK		
20		V _H	FP10
	QVQLQQPGAE LVKPGASVKM SCKASGYTFT SYWVHWVKQR		
	PGQGLEWIGV IDPSDSYTSY NQKFKGKATL TVDTSSSTAY		
	MQLSSLTSED SAVYYCTRHY DFDSWYFDVW GAGTTVTVSS		
	DIQMDQSPSS LSASLGDTIT ITCHASQNIN VWLSWYQQKP		
26	GNIPKLLIYK ASNLHTGVPS RFSGSGSGTG FTLTISSLOP	V_{L}	FRA
		"	1104
	EDIATYYCQQ GQSYPLTFGS GRKLEIK		
	EVQLQQSGAE LVKPGASVKL SCTASGFNIK DTYMHWVKQR		
28	PEQGLEWIGR IDPANGNTKY DPKFQGKATI TTDTSSNTAY	V _H	FRA
	LQLSSLTSED TAVYYCATSY YGNYVAYWGH GTLVTVSA		

En una realización, de la presente descripción, las regiones de unión a antígeno del anticuerpo recombinante comprenden una secuencia de aminoácidos sustancialmente idéntica a la totalidad o una porción de la secuencia de aminoácidos codificada por uno cualquiera de los SEQ ID NO.: 9, 11, 13, 15, 17, 19, 25 o 27 (Véase la Tabla 13, a continuación). En otra realización, las regiones de unión a antígeno del anticuerpo recombinante comprenden una secuencia de ácido nucleico que codifica regiones determinantes de la complementariedad (CDR; es decir, CDR1, CDR2 y CDR3) de una secuencia V_H o V_L. En una realización específica, las regiones de unión a antígeno del anticuerpo recombinante comprenden las CDR que tienen una secuencia de aminoácidos sustancialmente idéntica a las secuencias de aminoácidos codificadas por uno o más de los SEQ ID NO: 9 y 11; uno o más de los SEQ ID NO.: 13 y 15; o uno o más de los SEQ ID NO:: 25 o 27 (Véase la Tabla 13, a continuación).

En otra realización específica de la presente descripción, las regiones de unión a antígeno del anticuerpo recombinante comprenden una secuencia de aminoácidos codificada por una secuencia de ácido nucleico sustancialmente idéntica a la totalidad o una porción de la secuencia expuesta en uno cualquiera de los SEQ ID NO.: 9, 11, 13, 15, 17, 19, 25 o 27.

Tabla 13: Secuencias de ácido nucleico ilustrativas que codifican secuencias V_H y V_L

10

15

SEQ ID NO.:	Secuencia	V _H o V _L	ATC
9		VL	FP3
	TACATTGTGA TGTCACAGTC TCCATCCTCC CTGGCTGTGT		
	CAGCAGGAGA GAAGGTCACT ATGAGCTGCA AATCCAGTCA		
	GAGTCTGCTC AACAGTAGAA CCCGAAAGAA CCACTTGGCT		
	TGGTATCAGC AGAAACCAGG GCAGTCTCCT AAACTGCTGA		
	TCTACTGGGC ATCCACTAGG GAATCTGGGG TCCCTGATCG		
	CTTCACAGGC AGTGGATCTG GGACAGATTT CGCTCTCACC		
	ATCAGCAGTG TGCAGGCTGA AGACCTGGCA GTTTATTTCT		
	GCAAGCAATC TTATAATCTG TACACATTCG GTGCTGGGAC		
	CAAGCTGGAG CTGAAA		
11	GATGTGCAGC TGGTGGAGTC TGGGGGAGGC TTAGTGCAGC	V _H	FP3
	CTGGAGGGTC CCGGAAACTC TCCTGTGCAG CCTCTGGATT		
	CACTITCAGT GTCTTTGGAA TGCACTGGGT TCGTCAGGCT		
	CCAGAGAAGG GGCTGGAGTG GGTCGCATAC ATTAGTAGTG		
	GCAGTACTAT CATCTATTAT GCAGACACAG TGAAGGGCCG		
	ATTCACCATC TCCAGAGACA ATCCCAAGAA CACCCTGTTC		
	CTGCAAATGA CCGGTCTAAG GTCTGAGGAC ACGGCCATGT		
	ATTACTGTGC AAGACCGCTC TACTATGATT ACGACGACTA		
	TGCTATGGAC TACTGGGGTC AAGGAACCTC AGTCACCGTC		
	TCCTCA		
13		V _L	FP6
	GACATTGTGA TGTCACAGTC TCCATCCTCC CTGGCTGTGT		
	CAGCAGGAGA GCAGGTCACT ATGAGCTGCA AATCCAGTCA		
	GAGTCTGTTC AACAGTAGAA CCCGAAAGAA CTACTTGGCT		
	TGGTACCAGC AGAAACCAGG GCAGTCTCCT AAACTGCTGA		
	TCTACTGGGC ATCCACTAGG GAATCTGGGG TCCCTGATCG		
	CTTCACAGGC AGTGGATCTG GGACAGATTT CACTCTCACC		
	ATCAGCAGTG TGCAGGCTGA AGACCTGGCA GTTTATTACT		
	GCAAACAATC TTATAATCTG CTCACGTTCG GTGCTGGGAC		
	CAAGCTGGAG CTGAAA		
15		V _H	FP6

ES 2 539 026 T3

SEQ ID NO.:	Secuencia	V _H o V _L	ATC
	CAGGTCCAAC TGCAGCAGCC TGGGGCTGAA CTGGTGAGGC		
	CTGGGGCTTC AGTGAAACTGTCCTGCAAGG CTTCTGGCTA		
	CACCTTCACC AGCTACTGGA TGAACTGGGT GAAGTTGAGG		
	CCTGGACAAG GCCTTGAATG GATTGGTATG ATTGATCCTT		
	CAGACAGTGA AACTTACTAC GATCAAGTAT TCAAGGACAA		
	GGCCACATTG ACTGTTGACA AATCCTCCAG CACAGCCTAC		
	ATGCATCTCA GCAGCCTGAC ATCTGAGGAC TCTGCGGTCT		
	ATTACTGTGC AAGATGGATT ACGACTGATT CCTATACTAT		
	GGACTACTGG GGTCAAGGAA CCTCAGTCAC CGTCTCCTCA		
17	GATGTTGTGA TGACCCAAAC TCCACTCTCC CTGCCTGTCA	V _L	FP10
	GTCTTGGAGA TCAAGCCTCC ATCTCTTGCA GATCTAGTCA		
	GAGCCTTGTA CACAGTAATG GAAACCCTAT TTACATTGGT		
	ACCTGCAGAA GCCAGGCCAG TCTCCAAAGC TCCTGATCTA		
	CAAAGTTTCC AACCGATTTT CTGGGGTCCC AGACAGGTTC		
	AGTGGCAGTG GATCAGGGAC AGATTTCACA CTCAAGATCA		
	GCAGAGTGGA GGCTGAGGAT CTGGGAGTTT ATTTCTGCTC		
	TCAAAGTACA CATGTTCCTC CGACGTTCGG TGGAGGCACC		
	AAGCTGGAAA TCAAA		
	ANGCIGORAN ICANA		
19	CAGGTCCAAC TGCAGCAGCC TGGGGCTGAG CTGGTGAAGC	V _H	FP10
	CTGGGGCTTC AGTGAAGATG TCCTGCAAGG CTTCTGGCTA		
	CACCITCACC AGCTACIGGG IGCACIGGGI GAAGCAGAGG		
	CCTGGACAAG GCCTTGAGTG GATCGGAGTG ATTGATCCTT		
	CTGATAGTTA TACTAGCTAC AATCAAAAGT TCAAGGGCAA		
	GGCCACATTA CTGTAGACAC ATCCTCCAGC ACAGCCTACA		
	TGCAGCTCAG CAGCCTGACA TCTGAGGACT CTGCGGTCTA		
	TTACTGTACA AGACACTATG ATTTCGACAG CTGGTACTTC		
	GATGTCTGGG GCGCAGGGAC CACGGTCACC GTCTCCTCA		
25		V _L	FRA
	gacatccaga tggaccagtc tccatccagt ctgtctgcat		
	cccttggaga cacaattacc atcacttgcc atgccagtca		
	gaacattaat gtttggttaa gctggtacca gcagaaacca		
	ggaaatattc ctaaactatt gatctataag gcttccaact		
	tgcacacagg cgtcccatca aggtttagtg gcagtggatc		
	tggaacaggt ttcacattaa ccatcagcag cctgcagcct		
	gaagacattg ccacttacta ctgtcaacag ggtcaaagtt		
	atcctctcac gttcggctcg gggcgaaagt tggaaataaa a		
27		V.	ED^
27		V _H	FRA

SEQ ID NO.:	Secuencia	V _H o V _L	ATC
	gaggttcagc tgcagcagtc tggggcagag cttgtgaagc		
	caggggcctc agtcaagttg tcctgcacag cttctggctt		
	caacattaaa gacacctata tgcactgggt gaagcagagg		
	cctgaacagg gcctggagtg gattggaagg attgatcctg		
	cgaatggtaa tactaaatat gacccgaagt tccagggcaa		
	ggccactata acaacagaca catcctccaa cacagcctac		
	ctgcagctca gcagcctgac atctgaggac actgccgtct		
	attactgtgc tacctcctac tatggtaact acgttgctta		
	ctggggccac gggactctgg tcactgtctc tgca		

La secuencia de aminoácidos del anticuerpo recombinante no tiene que corresponder precisamente a las secuencias parentales, es decir, puede ser una "variante de secuencia." Por ejemplo, dependiendo en los dominios abarcados por el anticuerpo recombinante, una o más de V_L, V_H, C_L, C_H1, bisagra, C_H2, C_H3, y C_H4, según sea el caso, se puede mutagenizar mediante sustitución, inserción o deleción de uno o más residuos de aminoácidos de modo que el residuo en ese sitio no se corresponde con cualquiera de la secuencia parental (o de referencia). Un experto en la técnica apreciará, sin embargo, que tales mutaciones no serán importantes y no afectará significativamente a la unión del anticuerpo recombinante con su ATC diana. De acuerdo con la presente descripción, cuando un anticuerpo recombinante comprende una secuencia variante, la secuencia variante es al menos aproximadamente 70% (p. ej., de aproximadamente 70% a aproximadamente 100%) idéntica a la secuencia de referencia. En una realización, la variante de secuencia es al menos aproximadamente 75% (p. ej., de aproximadamente 75% a aproximadamente 100%) idéntica a la secuencia de referencia. En otras realizaciones, la variante de secuencia es al menos aproximadamente 80% (p. ej., de aproximadamente 80% a aproximadamente 100%), al menos aproximadamente 85% (p. ej., de aproximadamente 85% a aproximadamente 100%), o al menos aproximadamente 90% (p. ej., de aproximadamente 90% a aproximadamente 100%) idéntica a la secuencia de referencia. En una realización específica, la secuencia de referencia corresponde a una secuencia como la mostrada en cualquiera de los SEQ ID NO.: 10, 12, 14, 16, 18, 20, 26 o 28.

10

15

45

50

Generalmente, cuando el anticuerpo recombinante comprende una secuencia variante que contiene una o más sustituciones de aminoácidos, estas son sustituciones "conservativas". Una sustitución conservativa implica la sustitución de un residuo de aminoácido por otro residuo que tiene propiedades de la cadena lateral similares. Como es conocido en la técnica, los veinte aminoácidos de origen natural pueden agruparse según las propiedades fisicoquímicas de sus cadenas laterales. Los agrupamientos adecuados incluyen alanina, valina, leucina, isoleucina, prolina, metionina, fenilalanina y triptófano (cadenas laterales hidrófobas); glicina, serina, treonina, cisteína, tirosina, asparragina y glutamina (cadenas laterales no cargadas, polares); ácido aspártico y ácido glutámico (cadenas laterales ácidas) y lisina, arginina e histidina (cadenas laterales alcalinas). Otro grupo de aminoácidos es fenilalanina, triptófano y tirosina (cadenas laterales aromáticas). Una sustitución conservativa implica la sustitución de un aminoácido por otro aminoácido del mismo grupo.

Por lo tanto, la presente descripción en otras realizaciones proporciona adicionalmente polipéptidos aislados correspondientes a nuevas secuencias de anticuerpos recombinantes descritos en la presente memoria. Opcionalmente, el polipéptido aislado comprende una porción de un anticuerpo recombinante (p. ej., quimérico) que se une específicamente a una región relevante para el diagnóstico de un ATC seleccionado del grupo que consiste en FP3, FP6, y FP10. En una realización, el polipéptido comprende una región V_H seleccionada del grupo que consiste en una región V_H que comprende una secuencia de aminoácidos sustancialmente idéntica a la secuencia mostrada en una cualquiera o más de los SEQ ID NO.: 12, 16, 20 o 28. En otra realización más, el polipéptido comprende una región V_L que comprende una secuencia de aminoácidos que es sustancialmente idéntica a la secuencia mostrada en una cualquiera o más de los SEQ ID NOS:. 10, 14, 18 o 26. En otra realización más, el polipéptido comprende una región V_L que comprende secuencias de la región determinante de la complementariedad.

En otra realización más, el polipéptido comprende una región V_H seleccionada del grupo que consiste en una región V_H que comprende una secuencia de aminoácidos sustancialmente idéntica a la secuencia codificada por uno cualquiera o más de los SEQ ID NO.: 11, 15, 19 o 27. En otra realización, el polipéptido comprende una región V_L seleccionada del grupo que consiste en una región V_L que comprende una secuencia de aminoácidos sustancialmente idéntica a la secuencia codificada por uno cualquiera o más de los SEQ ID NO.: 9, 13,17 o 25.

Del mismo modo, la secuencia de ácido nucleico que codifica la región o regiones variables no tiene que corresponder exactamente a la secuencia de referencia parental pero puede variar en virtud de la degeneración del

código genético y/o de manera que codifique una secuencia de aminoácidos variante como se ha descrito anteriormente. En una realización, de la presente descripción, por lo tanto, la secuencia de ácido nucleico que codifica una región variable del anticuerpo recombinante es al menos aproximadamente 70% (p. ej., de aproximadamente 70% a aproximadamente 100%) idéntica a la secuencia de referencia. En otra realización, la secuencia de ácido nucleico que codifica una región variable del anticuerpo recombinante es al menos aproximadamente 75% (p. ej., de aproximadamente 100%) idéntica a la secuencia de referencia. En otras realizaciones, la secuencia de ácido nucleico que codifica una región variable del anticuerpo recombinante es al menos aproximadamente 80% (p. ej., de aproximadamente 80% a aproximadamente 100%), al menos aproximadamente 85% (p. ej., de aproximadamente 85% a aproximadamente 100 %), o al menos aproximadamente 90% (p. ej., de aproximadamente 100%) idéntica a la secuencia de referencia. En una realización específica, la secuencia de referencia corresponde a una secuencia mostrada en cualquiera de los SEQ ID NO.: 9, 11, 13, 15, 17, 19 25 o 27.

5

10

15

20

25

30

40

45

50

55

60

Por lo tanto, la presente descripción en otras realizaciones proporciona adicionalmente polinucleótidos aislados que codifican nuevas secuencias de anticuerpos recombinantes, incluyendo secuencias de anticuerpos quiméricos, descritos en la presente memoria. Opcionalmente, el polinucleótido aislado que codifica una porción de un anticuerpo recombinante (p. ej., quimérico) que se une específicamente a una región relevante para el diagnóstico de una proteína de *T. cruzi* seleccionada del grupo que consiste en la proteína FP3, FP6 y FP10. En una realización, el polinucleótido codifica una región V_H seleccionada del grupo que consiste en una región V_H que comprende una secuencia de aminoácidos sustancialmente idéntica a la secuencia mostrada en una cualquiera o más de los SEQ ID NO.: 12, 16, 20 o 28. En otra realización, el polinucleótido codifica una región V_L que comprende una secuencia de aminoácidos que es sustancialmente idéntica a la secuencia mostrada en una cualquiera o más de los SEQ ID NO.: 10, 14, 18 o 26. En otra realización más, el polinucleótido codifica una región V_L que comprende secuencias de la región determinante de la complementariedad.

En otra realización más, el polinucleótido codifica una región V_H seleccionada del grupo que consiste en una región V_H que comprende una secuencia de aminoácidos sustancialmente idéntica a la secuencia codificada por uno cualquiera o más de los SEQ ID NO.: 9, 13, 17 o 27. En otra realización adicional, el polinucleótido codifica una región V_H que comprende secuencias de la región determinante de la complementariedad. En otra realización, el polinucleótido codifica una región V_L que comprende una secuencia de aminoácidos sustancialmente idéntica a la secuencia codificada por uno cualquiera o más de los SEQ ID NO.: 11, 15, 19 o 25. En otra realización más, el polinucleótido codifica una región V_L que comprende secuencias de la región determinante de la complementariedad.

En una realización, los anticuerpos se pueden modificar adicionalmente para reducir la inmunogenicidad relativa para un ser humano al anticuerpo nativo mediante la mutación de uno o más aminoácidos en la porción no humana del anticuerpo que son posibles epítopos para células T humanas con el fin de eliminar o reducir la inmunogenicidad del anticuerpo cuando se expone al sistema inmunológico humano. Las mutaciones adecuadas incluyen, por ejemplo, sustituciones, deleciones e inserciones de uno o más aminoácidos.

En una realización, los anticuerpos recombinantes de la presente descripción pueden modificarse adicionalmente para la inmovilización sobre una fase sólida adecuada. La inmovilización puede lograrse mediante unión covalente o no covalente (por ejemplo, iónica, hidrófóba, o similares) a la fase sólida. Las modificaciones adecuadas son conocidas en la técnica e incluyen la adición de un grupo funcional o radical químico ya sea al extremo C-terminal o el extremo N-terminal de una de las secuencias de aminoácidos abarcadas por el anticuerpo recombinante para facilitar el entrecruzamiento o el anclaje del anticuerpo recombinante al soporte sólido. Las modificaciones de ejemplo incluyen la adición de grupos funcionales tales como anhídrido S-acetilmercaptosuccínico (SAMSA) o Stioacetato de acetilo (SATA), o la adición de uno o más residuos de cisteína a los extremos N o C de la secuencia de aminoácidos. Otros reactivos de entrecruzamiento son conocidos en la técnica, y muchos son asequibles comercialmente (Véanse, por ejemplo, los catálogos de Pierce Chemical Co. (Rockford, Illinois, USA) y Sigma-Aldrich; Saint Louis, Missouri, USA). Los ejemplos incluyen, pero no se limitan a, diaminas, tales como 1,6diaminohexano; dialdehídos, tales como glutaraldehído; ésteres de bis-N-hidroxisuccinimida, tales como etilenglicolbis(éster de N-hidroxisuccinimida de ácido succínico), glutarato de disuccinimidilo, suberato de disuccinimidilo, y etilenglicol-bis(succinato de succinimidilo); diisocianatos, tales como diisocianato de hexametileno; bisoxiranos, tales como 1,4-butanodiil diglicidil éter; ácidos dicarboxílicos, tales como disalicilato de succinilo; éster de ácido 3maleimidopropiónico de N-hidroxisuccinimida, y similares.

Otras modificaciones incluyen la adición de uno o más aminoácidos en el extremo N terminal o C terminal, tales como residuos de histidina para permitir la unión a superficies derivatizadas con Ni²⁺, o residuos de cisteína para permitir la formación de puentes disulfuro o unión a agarosa SULFOLINKTM. Alternativamente, el anticuerpo puede ser modificado para incluir uno o más espaciadores químicos en el extremo N-terminal o el extremo C-terminal con el fin de distanciar el anticuerpo recombinante de manera óptima del soporte sólido. Los espaciadores que se pueden utilizar incluyen, pero no se limitan a, ácido 6-aminohexanoico; 1,3-diaminopropano; 1,3-diaminoetano; y secuencias de aminoácidos cortas, tales como secuencias de poliglicina, de 1 a 5 aminoácidos.

En una realización alternativa, los anticuerpos recombinantes, opcionalmente se pueden conjugar con una proteína portadora, tal como albúmina de suero bovino (BSA), caseína, o tiroglobulina, con el fin de inmovilizarlos sobre una fase sólida.

- 5 En otra realización, la presente descripción proporciona la modificación de los anticuerpos recombinantes para incorporar una marca detectable. Las marcas detectables de acuerdo con la descripción preferiblemente son moléculas o radicales que pueden ser detectados directa o indirectamente y se eligen de manera que la conjugación de la marca detectable al anticuerpo recombinante preferiblemente no interfiere en la unión específica del anticuerpo a su proteína de *T. cruzi* diana. Los métodos de marcaje de anticuerpos son bien conocidos en la técnica e incluyen, por ejemplo, el uso de agentes de entrecruzamiento bifuncionales, tales como SAMSA (anhídrido Sacetilmercaptosuccínico), para conectar el anticuerpo recombinante a la marca detectable. Igualmente se pueden utilizar otros reactivos de entrecruzamiento tales como los conocidos en la técnica o que son similares a los descritos anteriormente.
- Los marcas detectables para su uso con los anticuerpos recombinantes de la presente descripción incluyen, por 15 ejemplo, las que se puede detectar directamente, tales como radioisótopos, fluoróforos, quimioluminóforos, enzimas, partículas coloidales, micropartículas fluorescentes y similares. La marca detectable es detectable por sí misma o se puede hacer reaccionar con uno o más compuestos adicionales para generar un producto detectable. Por lo tanto, un experto en la técnica entenderá que las marcas directamente detectables de la descripción pueden requerir 20 componentes adicionales, tales como sustratos, reactivos activadores, luz y similares para permitir la detección de la marca. Los ejemplos de marcas detectables incluyen, pero no se limitan a, cromógenos, radioisótopos (tales como, p. ej., ¹²⁵I, ¹³¹I, ³²P, ³H, ³⁵S y ¹⁴C), compuestos fluorescentes (tales como fluoresceína, rodamina, tris bipiridil rutenio y derivados quelato de lantánido), compuestos quimioluminiscentes (tales como, p. ej., acridinio y luminol), partículas visibles o fluorescentes, ácidos nucleicos, agentes complejantes, o catalizadores tales como enzimas (tales como, p. 25 ej., fosfatasa alcalina, fosfatasa ácida, peroxidasa de rábano picante, (3-galactosidasa, β-lactamasa, luciferasa). En el caso del uso de enzimas, la adición de, por ejemplo, un cromosoma, fluoro-, o sustrato luminogénico da como resultado preferiblemente la generación de una señal detectable. Otros sistemas de detección tales como fluorescencia resuelta en el tiempo, fluorescencia de reflexión interna, y espectroscopia Raman son también útiles opcionalmente.

La presente descripción también proporciona el uso de marcas que se detectan indirectamente. Las marcas indirectamente detectables implican típicamente el uso de un "par de afinidad," es decir, dos moléculas diferentes, donde un primer miembro del par está acoplado al anticuerpo recombinante de la presente descripción, y el segundo miembro del par se une específicamente al primer miembro. La unión entre los dos miembros del par suele ser de naturaleza química o física. Los ejemplos de tales pares de unión incluyen, pero no se limitan a: antígenos y anticuerpos; avidina/estreptavidina y biotina; haptenos y anticuerpos específicos para haptenos; secuencias de nucleótidos complementarias; cofactores/sustratos enzimáticos y enzimas; y similares.

F. Preparación de anticuerpos

30

35

40

45

50

Los anticuerpos policlonales se puede originar en un anfitrión mamífero por medio de una o más inyecciones de un inmunógeno y, si se desea, un coadyuvante. Típicamente, el inmunógeno (y el coadyuvante) es inyectado en el mamífero mediante múltiples inyecciones subcutáneas o intraperitoneales. El inmunógeno puede incluir un ATC o un polipéptido fusión de ATC. Los ejemplos de los coadyuvantes incluyen coadyuvante completo de Freund y monofosforil lípido A sintético-dicorinomicolato de trehalosa (MPL-TDM). Para mejorar la respuesta inmunitaria, se puede conjugar un inmunógeno con un polipéptido que sea inmunogénico en el anfitrión, tal como hemocianina de lapa californiana (KLH), albúmina de suero, tiroglobulina bovina, e inhibidor de tripsina de soja. Los protocolos para la producción de anticuerpos son bien conocidos (Ausubel et al., 1987; Harlow, E. y D. Lane.1988. Antibodies: A laboratory manual. Cold Spring Harbor Laboratory Press, Cold Spring Harbor. 726 págs.; Harlow, E., and D. Lane. 1999. Using antibodies: A laboratory manual. Cold Spring Harbor Laboratory Press, Cold Spring Harbor, New York). Alternativamente, los AcPo se pueden elaborar en pollos, produciendo moléculas de IgY (Schade, R., et al. 1996. The production of avian (egg yolk) antibodies: IgY. The report and recommendations of ECVAM workshop. Alternatives to Laboratory Animals (ATLA). 24:925-934).

Los métodos de generar anticuerpos monoclonales contra un antígeno deseado son bien conocidos en la técnica. Por ejemplo, se pueden elaborar anticuerpos monoclonales utilizando el procedimiento del hibridoma descrito primero por Kohler et al., Nature, 256: 495 (1975). En general, en el procedimiento del hibridoma, un ratón u otro animal anfitrión apropiado, tal como un hámster o mono macaco, se inmuniza mediante múltiples inyecciones subcutáneas o intraperitoneales de antígeno y un vehículo y/o adyuvante en múltiples sitios. Dos semanas más tarde, los animales reciben un refuerzo, y aproximadamente 7 a 14 días más tarde los animales se desangran y se analiza el suero para determinar el título de anti-antígeno. Los animales pueden ser reforzados hasta mesetas de título.

Los esplenocitos de los ratones se extraen y se fusionan con células de mieloma utilizando un agente de fusión adecuado, tal como polietilenglicol, para formar una célula de hibridoma (véanse, por ejemplo, Goding, Monoclonal Antibodies: Principles and Practice; págs. 59-103 (Academic Press, 1986); Galfre et al., Nature, 266:550 (1977)). Las líneas celulares de mieloma adecuadas son conocidas en la técnica e incluyen, pero no se limitan a, líneas de mieloma murino, tales como las derivadas de tumores de ratón MOP-21 y MC-11 (disponible en el Salk Institute Cell Distribution Center, San Diego, California, USA), así como células SP-2, SP2/0 y X63-Ag8-653 (disponibles de la American Type Culture Collection (ATCC), Manassas, Virginia, USA). Las líneas celulares de mieloma humano y de heteromieloma ratón-humano también se han descrito para la producción de anticuerpos monoclonales humanos (véanse, por ejemplo, Kozbor, J. Immunol, 133:3001 (1984); Brodeur et al., Monoclonal Antibody Production Techniques and Applications, págs. 51-63 (Marcel Dekker, Inc., New York, 1987)). Las células de hibridoma preparadas de este modo se pueden sembrar y cultivar en un medio de cultivo adecuado que contiene preferiblemente una o más sustancias que inhiben el crecimiento o la supervivencia de las células de mieloma parentales no fusionadas. Por ejemplo, si las células de mieloma parentales carecen de la enzima hipoxantina guanina fosforribosil transferasa (HGPRT o HPRT), el medio de cultivo para los hibridomas incluirá típicamente hipoxantina, aminopterina, y timidina (medio HAT), sustancias que evitan el crecimiento de células deficientes en HGPRT

Las células de hibridoma obtenidas a través de tal selección se someten a ensayo a continuación para identificar los clones que secretan anticuerpos capaces de unirse al antígeno de *T. cruzi* utilizado en la inmunización inicial, por ejemplo, mediante inmunoprecipitación o mediante análisis de unión *in vitro*, tal como radioinmunoanálisis (RIA) o inmunoanálisis enzimático (EIA o ELISA). La afinidad de unión del anticuerpo monoclonal opcionalmente se puede determinar, por ejemplo, por medio del análisis Scatchard de Munson et al., Anal.Biochem., 107: 220 (1980).

- Después de identificar que las células de hibridoma producen anticuerpos de la especificidad deseada, los clones se pueden subclonar mediante procedimientos de dilución limitante, por ejemplo el procedimiento descrito por Bastos et al. (Gastroenterology 80: 225-232 (1981)), y cultivar mediante métodos convencionales (véase, por ejemplo, Goding, *idem.*). Los medios de cultivo adecuados para este propósito incluyen, por ejemplo, medio D-MEM, IMDM o RPMI-1640. Alternativamente, las células de hibridoma se pueden cultivar *in vivo* como tumores de ascitis en un animal.
- 30 Los anticuerpos monoclonales secretados por los subclones se pueden aislar opcionalmente del medio de cultivo, fluido ascítico, o suero mediante procedimientos de purificación de inmunoglobulinas convencionales tales como, por ejemplo, cromatografía de proteína A, cromatografía de hidroxilapatita, electroforesis en gel, diálisis o cromatografía de afinidad.
- Los Ejemplos 1-4 (Véase, la sección de Ejemplos) ilustran solo una aproximación a la obtención de AcMo contra los ATC encontrados en los polipéptidos FP3, FP6, FP10 y FRA (p. ej., los polipéptidos representados por las secuencias de aminoácidos del SEQ ID NO.: 2, 4, 6 y 8).
 - G. Preparación de anticuerpos recombinantes

5

10

15

20

40

45

50

Los anticuerpos recombinantes de la presente descripción pueden comprender secuencias de dominio de unión a antígeno (por ejemplo, secuencias V_H y/o V_L, o una porción de las mismos) derivadas de, por ejemplo, un anticuerpo monoclonal producido por un ser humano o animal no humano, tal como un roedor, conejo, cánido, félido, bóvido, équido, súido, simio o pollo. Alternativamente, los dominios de unión a antígeno con la actividad de unión deseada se pueden seleccionar mediante el uso de bibliotecas combinatorias expresadas en el fago lambda, en la superficie de bacteriófagos, bacterias o levaduras, o escrutadas mediante presentación en otros sistemas biológicos (por ejemplo, retrovirus o polisoma) o no biológicos utilizando técnicas convencionales (Véanse, por ejemplo, Marks, J. D. et. al., J. Mol. Biol. 222:581-597 (1991); Barbas, C. F. III et al., Proc. Natl. Acad. Sci. USA 89:4457-4461 (1992)). Las bibliotecas pueden estar compuestas de dominios de unión a antígeno nativos aislados de un anfitrión inmunizado o no inmunizado, dominios de unión a antígenos sintéticos o semi-sintéticos, o dominios de unión a antígenos modificados.

1. Ac recombinantes en general

55 En una realización de la presente descripción, los anticuerpos recombinantes comprenden dominios de unión a antígeno derivados de anticuerpos monoclonales que se unen a la proteína de *T. cruzi* de interés.

En una realización de la presente descripción, los anticuerpos recombinantes derivan de anticuerpos monoclonales originados contra un antígeno de *T. cruzi* derivado de una región relevante para el diagnóstico de una proteína de *T. cruzi*. En otra realización, los anticuerpos recombinantes derivan de anticuerpos monoclonales contra a un antígeno de *T. cruzi*, tal como FP3, FP6, o FP10. En otra realización, los anticuerpos recombinantes derivan de anticuerpos monoclonales contra un antígeno de *T. cruzi* que comprende la totalidad o un fragmento (por ejemplo, un fragmento que comprende uno o más epítopos) de FP3, FP6 o FP10. En una realización adicional, los anticuerpos

ES 2 539 026 T3

recombinantes derivan de anticuerpos monoclonales contra un antígeno de *T. cruzi* que comprende una secuencia sustancialmente idéntica a la secuencia mostrada en uno cualquiera de los SEQ ID NO.: 2, 4 o 6.

Opcionalmente, el anticuerpo monoclonal es expresado por una línea celular seleccionada del grupo que consiste en HBFP3, HBPep2, y HBFP10. En una realización alternativa, la línea celular es Chagas 8-367-171.

5

10

40

45

Una vez que se ha preparado un anticuerpo monoclonal, el ADN que codifica el anticuerpo monoclonal o las regiones variables de los mismos se puede aislar fácilmente por medio de técnicas convencionales, por ejemplo mediante el uso de sondas de oligonucleótidos que son capaces de unirse específicamente a genes que codifican las cadenas pesadas y ligeras o las regiones variables del anticuerpo monoclonal, o mediante RT-PCR del ARNm que codifica el anticuerpo monoclonal utilizando cebadores para regiones conservadas (por ejemplo, los conjuntos de cebadores de IgG disponibles de Novagen (EMD Biosciences, Inc.), San Diego, California, USA).

Una vez aislado, el ADN se puede clonar, por ejemplo, en un vector de expresión apropiado e introducir en una célula anfitriona adecuada, tal como células de *E. Coli*, células de levadura, células COS de simio, células de ovario de hámster chino (CHO), células de riñón embrionario humano (HEK) (por ejemplo, HEK 293), o células de mieloma que por otra parte no producen la proteína inmunoglobulina, con el fin de producir anticuerpos monoclonales recombinantes. Opcionalmente, en una realización, los anti-anticuerpos quiméricos de ratón-humano de *T. cruzi* de la descripción se producen en una línea celular de ovario de hámster chino (CHO), que es ventajosa ya que se pueden producir en cantidades suficientes para uso comercial. Preferiblemente, las células anfitrionas de mamífero son líneas celulares CHO y líneas celulares HEK 293. Otra célula anfitriona preferida es la línea celular B3.2 (p. ej., Abbott Laboratories, Abbott Bioresearch Center, Worcester, MA), u otra línea celular CHO deficiente en dihidrofolato reductasa (DHFR) (por ejemplo, disponible de Invitrogen Corp., Carlsbad, CA).

Alternativamente, el ADN que codifica el anticuerpo monoclonal o las regiones variables del mismo se pueden utilizar para producir anticuerpos quiméricos, anticuerpos humanizados y fragmentos de anticuerpos mediante métodos convencionales conocidos en la técnica.

Por ejemplo, los anticuerpos monoclonales quiméricos se pueden producir mediante la clonación del ADN que codifica las regiones variables del anticuerpo monoclonal en el vector o los vectores de expresión de mamífero que contienen los genes de la región constante de cadena pesada y ligera del anticuerpo derivados de una especie anfitriona diferente. Muchos vectores de expresión de anticuerpos eucarióticos que están integrados de forma estable o existen en forma de elementos extracromosómicos se han descrito y son conocidos por los expertos normales en la técnica. En general, los vectores de expresión de anticuerpos son plásmidos que comprenden el gen que codifica la región constante de cadena pesada y/o el gen que codifica la región constante de cadena ligera, un elemento intensificador aguas arriba y un promotor adecuado.

En la presente descripción se puede utilizar una amplia variedad de secuencias de control de expresión. Tales secuencias de control de la expresión útiles incluyen las secuencias control de la expresión asociadas con genes estructurales de los vectores de expresión anteriores así como cualquier secuencia conocida para controlar la expresión de genes de células procariotas o eucariotas o sus virus, y diversas combinaciones de las mismas. Los ejemplos de las secuencias de control adecuadas para dirigir la transcripción en células de mamífero incluyen los promotores temprano y tardío de SV40 y adenovirus, por ejemplo, el promotor tardío principal de adenovirus, el promotor MT-1 (gen de la metalotioneína), el promotor del gen inmediato temprano de citomegalovirus humano (CMV), el promotor del factor 1α de elongación humano (EF-1α), el promotor mínimo de la proteína de choque térmico 70 de *Drosophila*, el promotor del virus del sarcoma de Rous (RSV), el promotor de la ubiquitina C humana (UBC), el terminador de la hormona de crecimiento humana, las señales de poliadenilación de SV40 o de la región Elb de adenovirus y la secuencia consenso de Kozak (Kozak, J Mol Biol., 196:947-50 (1987)).

Por ejemplo, para las regiones constantes humanas, el vector de expresión del anticuerpo puede comprender los genes de IgG1 humana (Cyl humana) y de la región constante kappa humana (Ck humana) y el elemento intensificador de cadena H de inmunoglobulina. El vector también puede contener un origen de replicación bacteriano y un marcador de selección. La inclusión opcional de un marcador de selección, como se conoce en la técnica, permite la selección y amplificación en condiciones de crecimiento definidas, por ejemplo el gen de la dihidrofolato reductasa (DHFR) proporciona la selección y amplificación en células de mamífero con metotrexato. La construcción de un vector apropiado para la expresión de anticuerpos a partir de un vector de expresión de mamíferos comercial, puede ser lograda fácilmente por el técnico experto. Según se describe en la presente memoria se pueden emplear diversos vectores incluyendo vectores PBV, PJV, y OBP, así como una variedad de vectores y plásmidos intermedios para la producción de anticuerpos. Los vectores PBV, PJV y OBP fueron adquiridos de Abbott Bioresearch Center (Worcester, MA). Otros plásmidos y vectores similares están disponibles en el mercado y/o se construyen fácilmente.

La introducción del constructo o los constructos de expresión en células anfitrionas apropiadas da como resultado la producción de anticuerpos quiméricos completos de una especificidad definida (véase, por ejemplo, Morrison, S. L.

et al., Proc. Natl. Acad. Sci. USA 81: 6851-6855 (1984)). Las secuencias codificantes de cadena pesada y ligera se pueden introducir en la célula anfitriona de forma individual en plásmidos separados o conjuntamente en el mismo vector.

Dependiendo del sistema de vector utilizado, muchas líneas celulares inmortalizadas diferentes pueden servir como anfitriones adecuados, éstas incluyen, pero no se limitan a, mieloma (por ejemplo, X63-Ag8.653), hibridoma (por ejemplo, Sp2/0-Ag14), linfoma, células de insecto (por ejemplo, células Sf9), células embrionarias humanas de riñón (por ejemplo, HEK 293) y células de ovario de hámster chino (CHO). Los constructos de expresión pueden introducirse en las células anfitrionas utilizando una variedad de mecanismos conocidos en la técnica, incluyendo pero no limitados a, precipitación con fosfato de calcio, fusión de protoplastos, lipofección, vectores lanzadera derivados de retrovirus y electroporación.

También se pueden producir anticuerpos quiméricos y fragmentos de anticuerpos en otros sistemas de expresión, incluyendo, pero no limitados a, baculovirus, levaduras, bacterias (tales como *E. coli*), y sistemas libres de células *in vitro*, tales como producto lisado de reticulocitos de conejo.

El anticuerpo recombinante puede aislarse de las células anfitrionas por procedimientos de purificación de inmunoglobulinas convencionales tales como, por ejemplo, filtración de flujo cruzado, precipitación con sulfato de amonio, cromatografía de proteína A, cromatografía de hidroxilapatita, electroforesis en gel, diálisis, cromatografía de afinidad, o combinaciones de los mismos.

Alternativamente, los fragmentos de anticuerpos se pueden generar a partir de una preparación de anticuerpo purificado por métodos enzimáticos convencionales, por ejemplo, se pueden producir fragmentos F(ab')₂ mediante escisión con pepsina del anticuerpo intacto, y se pueden producir fragmentos Fab digiriendo brevemente el anticuerpo intacto con papaína.

Se pueden preparar fragmentos de anticuerpos biespecíficos y heteroconjugados recombinantes que tienen especificidades para al menos dos antígenos diferentes en forma de anticuerpos completos o en forma de fragmentos de anticuerpos (tales como fragmentos de anticuerpos biespecíficos F(ab')₂). También se contemplan fragmentos de anticuerpo que tienen más de dos valencias (por ejemplo, fragmentos de anticuerpos trivalentes o de valencia superior). Los anticuerpos biespecíficos, los anticuerpos heteroconjugados, y los anticuerpos multivalentes se pueden preparar por medio de métodos convencionales conocidos por los expertos en la técnica.

2. Ac Monovalentes

15

20

25

30

35

40

50

55

60

Los Ac monovalentes no se entrecruzan entre sí. Un método implica la expresión recombinante de la cadena ligera de lg y la cadena pesada modificada. Los truncamientos de la cadena pesada generalmente en cualquier punto en la región Fc de la cadena pesada evitan el entrecruzamiento. Alternativamente, los residuos de cisteína relevantes se sustituyen por otro residuo de aminoácido o se eliminan, previniendo el entrecruzamiento por enlaces disulfuro. Los métodos *in vitro* también son adecuados para preparar anticuerpos monovalentes. Los Ac pueden ser digeridos para producir fragmentos, tales como Fab (Harlow y Lane, 1988, *supra*; Harlow y Lane, 1999, *supra*).

3. Ac humanizados y humanos

Las formas humanizadas de los Ac no humanos que se unen un ATC son Ig quiméricas, cadenas o fragmentos de Ig (tales como Fv, Fab, Fab', F(ab')₂ u otras subsecuencias de unión a antígeno de los Ac) que contienen una secuencia mínima derivada de Ig no humana.

Generalmente, un anticuerpo humanizado tiene uno o más residuos de aminoácidos introducidos a partir de una fuente no humana. Estos residuos de aminoácidos no humanos son referidos a menudo como residuos "importados" que normalmente se toman de un dominio variable "importado". La humanización se lleva a cabo mediante la sustitución de las CDR de roedores o secuencias de CDR por las secuencias correspondientes de un anticuerpo humano (Jones, P. T., et al. 1986. Replacing the complementarity-determining regions in a human antibody with those from a mouse. Nature. 321:522-5; Riechmann, L., et al. 1988. Reshaping human antibodies for therapy. Nature. 332:323-7; Verhoeyen, M., et al. 1988. Reshaping human antibodies: grafting an antilysozyme activity. Science. 239:1534-6). Tales Ac "humanizados" son Ac quiméricos (Cabilly et al., 1989), en donde sustancialmente menos de un dominio variable humano intacto ha sido sustituido por la secuencia correspondiente de una especie no humana. En la práctica, los Ac humanizados son típicamente anticuerpos humanos en los que algunos residuos de CDR y posiblemente algunos residuos de FR son sustituidos por residuos de sitios análogos en el Ac de roedor. Los Ac humanizados incluyen Ig humanas (anticuerpo receptor) en las que los residuos de una región determinante de la complementariedad (CDR) del receptor son sustituidos por residuos de una CDR de una especie no humana (anticuerpo donador), tal como ratón, rata o conejo, que tiene la especificidad, afinidad y capacidad deseadas. En algunos casos, los residuos no humanos correspondientes remplazan los residuos del marco Fv de la Ig humana. Los Ac humanizados puede incluir residuos que no se encuentran ni en el anticuerpo receptor ni en las secuencias CDR o marco importadas. En general, el anticuerpo humanizado contiene sustancialmente la totalidad de al menos uno, y típicamente dos, dominios variables, en los que la mayoría si no todas las regiones CDR corresponden a las de una Ig no humana, y la mayoría si no todas las regiones FR son las de una secuencia consenso de Ig humana. El anticuerpo humanizado óptimamente también comprende por lo menos una porción de una región constante de Ig (Fc), típicamente la de una Ig humana (Jones *et al.*, 1986; Presta, 1992; Riechmann *et al.*, 1988).

Los Ac humanas también se pueden producir utilizando diversas técnicas, incluyendo bibliotecas de presentación en fagos (Hoogenboom, H. R., et al. 1991. Multi-subunit proteins on the surface of filamentous phage: methodologies for displaying antibody (Fab) heavy and light chains. Nucleic Acids Res. 19:4133-7; Marks, J.D., et al. 1991. By-passing immunization. Human antibodies from V-gene libraries displayed on phage. J Mol Biol. 222:581-97) y AcMo humanos (Boerner, P., et al. 1991. Production of antigen-specific human monoclonal antibodies from in vitro-primed human splenocytes. J Immunol. 147:86-95; Reisfeld, R.A., and S. Sell. 1985. Monoclonal antibodies and cancer therapy: Proceedings of the Roche-UCLA symposium held in Park City, Utah, January 26-February 2, 1985. Alan R. Liss, New York. 609 págs). La introducción de genes de Ig humanos en animales transgénicos en los que los genes de Ig endógenos han sido parcial o completamente inactivados puede ser explotada para sintetizar Ac humanos. Tras la estimulación, se observa la producción de anticuerpos humanos, que se asemeja estrechamente a la observada en seres humanos en todos los aspectos, incluyendo la reorganización de genes, el ensamblaje y el repertorio de anticuerpos (Fishwild, D. M., et al. 1996. High-avidity human IgG kappa monoclonal antibodies from a novel strain of minilocus transgenic mice. Nat Biotechnol. 14:845-51; Lonberg y Huszar, 1995; Lonberg et al., 1994; Marks et al., 1992; Lonberg, N., y R.M. Kay. Patente de los Estados Unidos Núm. 5569825. 1996; Lonberg, N., y R.M. Kay. Patente de los Estados Unidos Núm. 5633425. 1997a; Lonberg, N., y R.M. Kay. Patente de los Estados Unidos Núm. 5661016. 1997b; Lonberg, N., y R.M. Kay. Patente de los Estados Unidos Núm. 5625126. 1997c; Surani, A., et al. Patente de los Estados Unidos Núm. 5545807. 1996).

Ac biespecíficos

5

10

15

20

25

40

45

50

55

60

Los AcMo biespecíficos unen al menos a dos antígenos diferentes. Por ejemplo, una especificidad de unión es un ATC; la otra es para cualquier antígeno de elección.

La producción recombinante de anticuerpos biespecíficos se realiza generalmente mediante co-expresión de dos pares de cadena pesada/cadena ligera de Ig, cada uno con diferentes especificidades. El distribución aleatoria de estas cadenas pesadas y ligeras de Ig en los hibridomas resultantes (cuadromas) producen una mezcla potencial de diez moléculas de anticuerpo diferentes, de las cuales solo una tiene la estructura bi-específica deseado. El anticuerpo deseado se puede purificar utilizando cromatografía de afinidad u otras técnicas (Traunecker, A., et al. 1991. Myeloma based expression system for production of large mammalian proteins. Trends Biotechnol. 9:109-13; Wabl, M., J. Berg, y E. Lotscher. Documento WO 93/08829. 1993).

Para fabricar un anticuerpo biespecífico, los dominios variables con los sitios de combinación anticuerpo-antígeno deseados se fusionan a secuencias del dominio constante de Ig (Suresh, M. R., A. C. Cuello, y C. Milstein. 1986. Bispecific monoclonal antibodies from hybrid hybridomas. Methods Enzymol. 121:210-28). La fusión es usualmente con un dominio constante de cadena pesada de Ig, que comprende al menos parte de las regiones bisagra, CH2, y CH3. La primera región constante de cadena pesada (CH1) que contiene el sitio necesario para la unión de la cadena ligera está en al menos una de las fusiones. Los ADN que codifican las fusiones de Ig de cadena pesada y, si se desea, la cadena ligera de Ig, se insertan en vectores de expresión separados y se co-transfectan a un organismo anfitrión adecuado.

La interfaz entre un par de moléculas de anticuerpo puede diseñarse para maximizar el porcentaje de heterodímeros que se recuperan del cultivo de células recombinantes (Carter, P., L. et al. Documento WO 96/27011. 1996). En este método, una o más cadenas laterales pequeñas de aminoácidos de la interfase de la primera molécula de anticuerpo se remplazan por cadenas laterales más grandes (p. ej., tirosina o triptófano). Se crean "cavidades" compensatorias de tamaño idéntico o similar a la cadena o cadenas laterales grandes en la interfase de la segunda molécula de anticuerpo remplazando las cadenas laterales grandes de aminoácidos por otras más pequeñas (p. ej., alanina o treonina). Este mecanismo aumenta el rendimiento del heterodímero sobre productos finales no deseados, tales como homodímeros.

Los Ac biespecíficos se puede preparar como Ac completas o fragmentos de anticuerpos (p. ej., Ac Fab'₂ biespecíficos). Una de las técnicas para generar Ac biespecíficos explota el enlace químico. Los Ac intactos se pueden escindir proteolíticamente para generar fragmentos Fab'₂ (Brennan, M., et al. 1985. Preparation of bispecific antibodies by chemical recombination of monoclonal immunoglobulin G1 fragments. Science. 229:81-3). Los fragmentos se reducen con un agente complejante de ditiol, tales como arsenito de sodio, para estabilizar los ditioles vecinales y evitar la formación de disulfuro intermolecular. Los fragmentos Fab' generados se convierten a continuación en derivados de tionitrobenzoato (TNB). Uno de los derivados Fab'-TNB se reconvierte a continuación en Fab'-tiol mediante reducción con mercaptoetilamina y se mezcla con una cantidad equimolar del otro derivado Fab'-TNB para formar el anticuerpo biespecífico.

Los fragmentos Fab' se pueden recuperar directamente de *E. Coli* y acoplar químicamente para formar Ac biespecíficos. Por ejemplo, se pueden producir Ac Fab'₂ biespecíficos totalmente humanizados (Shalaby, M. R., et al. 1992. Development of humanized bispecific antibodies reactive with cytotoxic lymphocytes and tumor cells overexpressing the HER2 protooncogene. J Exp Med. 175:217-25). Cada fragmento Fab' se secreta separadamente a partir de *E. Coli* y se acoplado directamente químicamente *in vitro*, formando el anticuerpo biespecífico.

También se han descrito diversas técnicas para preparar y aislar fragmentos de anticuerpos biespecíficos directamente a partir del cultivo de células recombinantes. Por ejemplo, se pueden explotar los motivos de cremallera de leucina (Kostelny, S.A., et al. 1992. Formation of a bispecific antibody by the use of leucine zippers. J Immunol. 148:1547-53). Los péptidos de los polipéptidos Fos y Jun se ligan a las porciones Fab' de dos Ac diferentes mediante fusión génica. Los homodímeros de anticuerpo se reducen en la región bisagra para formar monómeros y a continuación se vuelven a oxidar para formar heterodímeros de anticuerpo. Este método puede también producir homodímeros de anticuerpos. La tecnología de "diacuerpos" proporciona un método alternativo para generar fragmentos de anticuerpos biespecíficos (Holliger et al., 1993). Los fragmentos consisten en una cadena pesada V_H conectada a una cadena ligera V_L mediante un conector que es demasiado corto para permitir el emparejamiento entre los dos dominios en la misma cadena. Los dominios V_H y V_L de un fragmento se fuerzan a emparejarse con los dominios VL y V_H complementarios de otro fragmento, formando dos sitios de unión a antígeno. Otra estrategia para preparar fragmentos de anticuerpo biespecíficos es el uso de dímeros Fv (sFv) de cadena sencilla (Gruber, M., et al. 1994. Efficient tumor cell lysis mediated by a bispecific single chain antibody expressed in Escherichia coli. J Immunol. 152:5368-74). También se pueden preparar Ac con más de dos valencias, por ejemplo en forma de Ac tri-específicos (Tutt, A., et al. 1991. Trispecific F(ab')3 derivatives that use cooperative signaling via the TCR/CD3 complex and CD2 to activate and redirect resting cytotoxic T cells. J Immunol. 147:60-9). Los Ac biespecíficos ilustrativos se pueden unir a dos epítopos diferentes en una ATC dada.

25 H. Ensayos de anticuerpos recombinantes

5

10

15

20

30

45

50

55

60

La capacidad del anticuerpo recombinante para unirse específicamente al antígeno de *T. cruzi* diana se puede evaluar mediante técnicas inmunológicas convencionales (véase, por ejemplo, Current Protocols in Immunology, Coligan, J.E., et al. (ed.), J. Wiley & Sons, Nueva York, NY). Por ejemplo, mediante radioinmunoanálisis (RIA) o inmunoanálisis enzimático (EIA o ELISA). En una realización de la presente descripción, el anticuerpo recombinante demuestra sustancialmente la misma especificidad que el anticuerpo monoclonal a partir del cual derivan los dominios de unión a antígeno.

Los anticuerpos recombinantes, opcionalmente, también pueden ser sometidos a ensayo por su afinidad de unión al antígeno de T. cruzi diana mediante la medición de la constante de disociación en equilibrio (K_D) por técnicas convencionales. En una realización de la presente descripción, los anticuerpos recombinantes (p. ej., anticuerpos quiméricos) tienen una K_D menor de aproximadamente 1 μ M. En otra realización, los anticuerpos recombinantes (p. ej., anticuerpos quiméricos) tienen una K_D menor de aproximadamente 100 nM.

40 También se puede realizar otras pruebas convencionales sobre los anticuerpos, por ejemplo, se puede obtener el valor pl de los anticuerpos.

Opcionalmente, los anticuerpos recombinantes (p. ej., anticuerpos quiméricos) se someten a procedimientos de mapeo epitópico para identificar la región del antígeno diana a la que se unen. Una variedad de métodos de mapeo epitópico son conocidos en la técnica (véase, por ejemplo, Current Protocols in Immunology, Coligan, J.E., et al. (Ed.), J. Wiley & Sons, Nueva York, NY) e incluyen, por ejemplo métodos de presentación en fagos y levaduras. Los métodos de presentación en fagos y levaduras también pueden combinarse con técnicas de mutagénesis al azar con el fin de mapear con mayor precisión los residuos del antígeno diana implicados en la unión del anticuerpo (véase, por ejemplo, Chao, G., et al., J. Mol. Biol., 10: 539-50 (2004)).

En una realización de la presente descripción, los residuos del antígeno diana al que se unen los anticuerpos recombinantes se identifican por una técnica que combina la mutagénesis por barrido de alanina con la presentación en levadura. La técnica implica generalmente la preparación de una serie de oligonucleótidos que codifican péptidos representando cada uno la región diana del antígeno y en el que cada aminoácido individual en esta región se sustituye por alanina secuencialmente. La región diana del antígeno se determina ya sea a partir del antígeno utilizado en la inmunización inicial para preparar el anticuerpo monoclonal parental, o a partir de un escrutinio "de baja resolución" preliminar utilizando presentación en levadura o en fagos. Una versión de tipo salvaje del antígeno se utiliza como control. Cada oligonucleótido se clona en un vector de presentación en levadura apropiado y cada mutante para alanina se transforma en un anfitrión adecuado, tal como *E. Coli.* El ADN del plásmido se extrae y se secuencia y los clones se seleccionan basándose en la secuenciación. Los vectores de presentación en levadura son conocidos en la técnica y están disponibles en el mercado (por ejemplo, pYD1 disponible de Invitrogen Corp., Carlsbad, California, USA).

Los clones seleccionados se transforman en células de *Saccharomyces cerevisiae*, por ejemplo, células EBY100 (Invitrogen Corp.), y los clones de levadura individuales se cultivan y se induce la expresión de péptidos. Las células de levadura inducidas que expresan los mutantes de alanina en la superficie celular se incuban con el anticuerpo recombinante y el anticuerpo unido se detecta por métodos convencionales, por ejemplo utilizando un anticuerpo secundario marcado. Los residuos clave en la región antigénica diana se pueden determinar sobre la base de la identificación de mutantes de alanina incapaces de unirse al anticuerpo recombinante. Una pérdida de actividad de unión del anticuerpo indica que el mutante incluye un residuo de alanina en una posición que forma parte del epítopo para el anticuerpo recombinante.

10 I. Usos de anticuerpos recombinantes

5

15

20

25

35

45

50

Los anticuerpos recombinantes de la presente descripción son adecuados para su uso, por ejemplo, como reactivos de diagnóstico para la detección de *T. cruzi*, y/o como reactivos de normalización, reactivos de control positivo o reactivos calibradores en análisis o kits para la detección de anticuerpos de *T. cruzi* en lugar del plasma o suero tradicionales. Los reactivos de normalización se pueden utilizar, por ejemplo, para establecer las curvas de calibración para la interpolación de la concentración de anticuerpo. Los controles positivos se pueden utilizar para establecer las características de rendimiento del análisis y/o cuantificar y controlar la integridad del antígeno o de los antígenos utilizados en el análisis. La presente descripción también proporciona el uso de una pluralidad de los anticuerpos recombinantes, cada anticuerpo recombinante capaz de unirse específicamente a un antígeno de *T. cruzi* diferente, como paneles de sensibilidad a anticuerpos normalizados. Tales paneles de sensibilidad se pueden utilizar, por ejemplo, en lugar del plasma o el suero tradicionales para el control de calidad de kits de detección de anticuerpos *T. cruzi*, para establecer las características de rendimiento del análisis y/o cuantificar y controlar la integridad del antígeno o de los antígenos utilizados en el análisis. La presente descripción también contempla el uso de los anticuerpos recombinantes en el tratamiento o prevención de una infección por *T. cruzi*.

Una realización de la presente descripción proporciona de este modo un reactivo de inmunodiagnóstico que comprende uno o más anticuerpos recombinantes, cada uno capaz de unirse específicamente una región relevante para el diagnóstico de una proteína de *T. cruzi*.

30 En una realización de la presente descripción, el reactivo de inmunodiagnóstico comprende una pluralidad de (por ejemplo, dos o más) anticuerpos recombinantes cada uno capaz de detectar un antígeno de *T. cruzi* diferente.

El reactivo de inmunodiagnóstico se puede adaptar para un uso final específico mediante la selección apropiada de los anticuerpos recombinantes que lo componen, haciendo así el reactivo de inmunodiagnóstico compatible con diversos formatos de análisis y kits para la detección de *T. cruzi* existentes. La adaptación del reactivo de inmunodiagnóstico de esta manera también permite optimizar el reactivo para la detección de ciertas etapas de infección por *T. cruzi*.

La presente descripción proporciona adicionalmente un método de normalización de los análisis de detección de anticuerpos *T. cruzi* utilizando un reactivo de inmunodiagnóstico que comprende una pluralidad de anticuerpos recombinantes, cada uno capaz de unirse específicamente a un ATC diferente, como un panel de sensibilidad.

La presente descripción proporciona adicionalmente un método para detectar la presencia de ATC que comprende poner en contacto una muestra de análisis sospechosa de contener los ATC con un reactivo de inmunodiagnóstico que comprende uno o más anticuerpos recombinantes, cada uno capaz de unirse específicamente al ATC, en condiciones que permiten la formación de complejos de anticuerpo recombinante:antígeno y detectar cualquier complejo de anticuerpo recombinante:antígeno formado.

La presente descripción también abarca un método para detectar la presencia de anticuerpos de *T. cruzi* que comprende poner en contacto una muestra de análisis sospechosa de contener anticuerpos de *T. cruzi* con uno o más antígenos específicos para los anticuerpos de *T. cruzi*, en condiciones que permiten la formación de complejos de antígeno/anticuerpo, la detección de complejos de antígeno:anticuerpo, y el uso de reactivo de inmunodiagnóstico que comprende uno o más anticuerpos recombinantes, cada uno capaz de unirse específicamente a uno de los antígenos utilizados en el método, como control positivo o reactivo de normalización.

Los reactivos de inmunodiagnóstico de la presente descripción son adecuados para su uso con análisis y kits de control de las respuestas de *T. cruzi* en el hombre, así como otras especies de vertebrados susceptibles de infección por *T. cruzi* y capaces de generar una respuesta de anticuerpos al mismo. De este modo, los reactivos de inmunodiagnóstico tienen aplicaciones en medicina humana, así como veterinaria.

La presente descripción también abarca el uso de los anticuerpos recombinantes y las regiones variables descritas en la presente memoria en las tecnologías de evolución molecular dirigida, tales como tecnologías de presentación en fagos, y tecnologías de presentación en células bacterianas y de levadura, con el fin de producir anticuerpos

34

55

60

ES 2 539 026 T3

recombinantes novedosos *in vitro* (Véase, por ejemplo, Johnson et al., Current Opinion in Structural Biology. 3: 564 (1993) y Clackson et al, Nature 352: 624 (1991)).

Opcionalmente, el reactivo de inmunodiagnóstico de la descripción, p. ej., los anticuerpos quiméricos, se pueden utilizar en inmunoanálisis de plataformas comerciales.

J. Kits que comprenden anticuerpos recombinantes

5

10

15

20

40

45

50

55

60

La presente descripción proporciona adicionalmente kits terapéuticos, de diagnóstico y de control de calidad que comprenden uno o más anticuerpos recombinantes de la descripción.

Un aspecto de la presente descripción proporciona kits de diagnóstico para la detección de *T. cruzi. Los* kits comprenden uno o más anticuerpos recombinantes de la presente descripción. Los anticuerpos recombinantes se pueden proporcionar en el kit como reactivos de detección, ya sea para su uso para capturar y/o detectar antígenos de *T. cruzi* o para su uso como anticuerpos secundarios para la detección de complejos de antígeno:anticuerpo. Alternativamente, los anticuerpos recombinantes se pueden proporcionar en el kit como un reactivo de control positivo, un reactivo de normalización, un reactivo de calibración o un panel de sensibilidad. En diversas realizaciones, el kit de diagnóstico puede comprender adicionalmente reactivos para la detección de antígenos de *T. cruzi*. En una realización, la presente descripción proporciona un kit de diagnóstico que comprende reactivos para la detección de anticuerpos de *T. cruzi*, incluyendo uno o más antígenos específicos para el anticuerpos de *T. cruzi*, y un reactivo de control positivo o de normalización que comprende uno o más antícuerpos recombinantes de la descripción, cada uno capaz de unirse específicamente a uno de los uno o más antígenos incluidos en el kit.

25 Por lo tanto, la presente descripción proporciona adicionalmente kits de diagnóstico y de control de calidad que comprenden uno o más anticuerpos de la descripción. Opcionalmente, los análisis, kits y componentes del kit de la descripción están optimizados para su uso en plataformas comerciales (por ejemplo, inmunoanálisis en las plataformas Prism®, AxSYM®, ARCHITECT® y EIA (Cuentas) de Abbott Laboratories, Abbott Park, IL, así como otros análisis de diagnóstico comerciales y/o en in vitro). Además, los análisis, kits y componentes del kit se pueden 30 emplear en otros formatos, por ejemplo, en sistemas de análisis electroquímicos u otros sistemas de análisis manuales o instantáneos. La presente descripción es, por ejemplo, aplicable al sistema de inmunoanálisis electroquímico instantáneo de Abbot comercial (i-STAT®, Abbott Laboratories, Abbott Park, IL) que realiza inmunoanálisis de tipo sándwich para varios marcadores cardíacos, incluyendo Tnl, CKMB y BNP. Los inmunosensores y métodos de funcionamiento en los dispositivos de ensayo de un solo uso se describen, por 35 ejemplo, en las Solicitudes de Patente de los Estados Unidos Núms. 20030170881, 20040018577, 20050054078 y 20060160164 que se incorporan a la presente memoria como referencia. Los antecedentes adicionales en la fabricación de inmunosensores electroquímicos y otros tipos de inmunosensores se encuentran en la Patente de los Estados Unidos Núm. 5.063.081 que también se incorpora como referencia por sus enseñanzas respecto a los mismos.

Opcionalmente, los kits incluyen reactivos de control de calidad (por ejemplo, paneles de sensibilidad, calibradores y controles positivos). La preparación de los reactivos de control de calidad es bien conocida en la técnica, y se describe, por ejemplo, en una variedad de hojas anexas al producto de inmunodiagnóstico. Los miembros del panel de sensibilidad opcionalmente se pueden preparar en cantidades variables que contienen, por ejemplo, cantidades conocidas de anticuerpo que oscilan de "bajas" a "altas", por ejemplo, por incorporar cantidades conocidas de los anticuerpos de acuerdo con la descripción a un tampón de análisis apropiado (p. ej., un tampón de fosfato). Estos miembros del panel sensibilidad opcionalmente se utilizan para establecer las características de rendimiento de análisis, y adicionalmente de manera opcional son indicadores útiles de la integridad de los reactivos del kit de inmunoanálisis, y de la normalización de los análisis.

Los anticuerpos suministrados en el kit pueden incorporar una marca detectable, tal como un fluoróforo, radical radiactivo, enzima, marca de biotina/avidina, cromóforo, marcador quimioluminiscente, o similar, o el kit puede incluir reactivos para marcar los anticuerpos o reactivos para detectar los anticuerpos (p. ej., anticuerpos de detección) y/o para marcar los antígenos o reactivos para detectar el antígeno. Los anticuerpos, calibradores y/o controles se pueden proporcionar en recipientes separados o pre-dispensar en un formato de análisis apropiado, por ejemplo, en placas de microtitulación.

Los kits pueden incluir opcionalmente otros reactivos necesarios para llevar a cabo un análisis de diagnóstico o facilitar las evaluaciones de control de calidad, tales como tampones, sales, enzimas, cofactores de enzimas, sustratos, reactivos de detección, y similares. También se pueden incluir en el kit otros componentes, tales como tampones y disoluciones para el aislamiento y/o el tratamiento de una muestra de análisis (por ejemplo, reactivos de pretratamiento),. El kit puede incluir adicionalmente uno o más de otros controles. Uno o más de los componentes del kit se pueden liofilizar y el kit puede comprender adicionalmente reactivos adecuados para la reconstitución de los componentes liofilizados.

Los diversos componentes del kit opcionalmente se proporcionan en recipientes adecuados. Como se indicó anteriormente, uno o más de los recipientes puede ser una placa de microtitulación. El kit puede incluir adicionalmente recipientes para contener o almacenar una muestra (por ejemplo, un recipiente o cartucho para una muestra de sangre o de orina). En su caso, el kit también puede contener opcionalmente recipientes de reacción, recipientes de mezcla y otros componentes que facilitan la preparación de reactivos o la muestra de ensayo. El kit también puede incluir uno o más instrumentos de ayuda para la obtención de una muestra de ensayo, tal como una jeringa, pipeta, fórceps, cuchara de medida, o similares.

El kit además puede incluir opcionalmente instrucciones de uso, que se pueden ofrecer en papel o en soporte informático, como un disco, CD, DVD o similares.

K. Adaptación de los kits

5

10

15

20

25

30

50

55

60

El kit (o los componentes del mismo), así como el método de determinar la detección de la presencia o concentración de los antígenos de *T. cruzi* en una muestra de análisis mediante un análisis utilizando los componentes y métodos descritos en la presente memoria, se pueden adaptar para su uso en una variedad de sistemas automatizados y semi-automatizados (incluyendo aquellos en los que la fase sólida comprende una micropartícula), como se describe, p. ej., en las Patentes de los Estados Unidos Núms. 5.089.424 y 5.006.309, y comercializados, p. ej., por Abbott Laboratories (Abbott Park, IL) como ARCHITECT®.

Algunas de las diferencias entre un sistema automatizado o semi-automatizado en comparación con un sistema no automatizado (p. ej., ELISA) incluyen el sustrato al que se une el primer par de unión específica (p. ej., el anticuerpo de captura de *T. cruzi*) (que puede afectar la formación de sándwich y a la reactividad del analito), y la longitud y el momento de la captura, la detección y/o cualquier etapa de lavado opcional. Considerando que un formato no automatizado tal como un ELISA puede requerir un tiempo relativamente más largo de incubación con la muestra y el reactivo de captura (por ejemplo, aproximadamente 2 horas) un formato automatizado o semi-automatizado (p. ej., ARCHITECT®, Abbott Laboratories) puede tener un tiempo relativamente más corto de incubación (p. ej., aproximadamente 18 minutos para ARCHITECT®). Del mismo modo, mientras que un formato no automatizado tal como un ELISA puede incubar un anticuerpo de detección, tal como el reactivo conjugado durante un tiempo de incubación relativamente más largo (p. ej., aproximadamente 2 horas), un formato automatizado o semi-automatizado (por ejemplo, ARCHITECT®) puede tener un tiempo de incubación relativamente corto (p. ej., aproximadamente 4 minutos para ARCHITECT®).

Otras plataformas disponibles de Abbott Laboratories incluyen, pero no se limitan a, AxSYM®, IMx® (véase, p. ej., la Patente de los Estados Unidos Núm. 5.294.404, que se incorpora a la presente como referencia en su totalidad), PRISM®, EIA (cuentas), y Quantum™ II, así como otras plataformas. Además, los análisis, kits y componentes del kit se pueden emplear en otros formatos, por ejemplo, en electroquímicos u otros sistemas de análisis manuales o instantáneos. La presente descripción es, por ejemplo, aplicable al sistema de inmunoanálisis electroquímico instantáneo de Abbott comercial (i-STAT®, Abbott Laboratories) que realiza inmunoanálisis de tipo sándwich. Los inmunosensores y sus métodos de fabricación y el funcionamiento de los dispositivos de ensayo de un solo uso se describen, por ejemplo, en, la Patente de los Estados Unidos Núm. 5.063.081, la Publicación de la Solicitud de Patente de los Estados Unidos Núm. 2004/0018577, la Publicación de la Solicitud de Patente de los Estados Unidos Núm. 2005/0054078, y la Publicación de la Solicitud de Patente de los Estados Unidos Núm. 2006/0160164, que se incorporan en su totalidad como referencia por sus enseñanzas respecto a los mismos.

En particular, con respecto a la adaptación de un análisis de antígeno de *T. cruzi* al sistema I-STAT®, se prefiere la siguiente configuración. Se elabora un chip de silicio microfabricado con un par de electrodos de trabajo amperométricos de oro y un electrodo de referencia de plata-cloruro de plata. En uno de los electrodos de trabajo, se adhieren cuentas de poliestireno (0,2 mm de diámetro) con anticuerpo de captura inmovilizado a un recubrimiento polimérico de poli(alcohol vinílico) sobre el electrodo. Este chip se ensambla en un cartucho de I-STAT® con un formato de fluidos adecuado para inmunoanálisis. En una porción de la pared de la cámara que contiene la muestra del cartucho hay una capa que comprende el segundo anticuerpo de detección marcado con fosfatasa alcalina (u otra marca). Dentro de la bolsa de fluido del cartucho hay un reactivo acuoso que incluye fosfato de p-aminofenol.

En funcionamiento, una muestra sospechosa de contener un antígeno de *T. cruzi* se añade a la cámara contenedora del cartucho de prueba y el cartucho se inserta en el lector de I-STAT®. Después de que el segundo anticuerpo (anticuerpo de detección) se ha disuelto en la muestra, un elemento de bomba dentro del cartucho obliga a la muestra a un conducto que contiene el chip, aquí se hace oscilar para promover la formación del sándwich entre la antígeno de *T. cruzi*, el anticuerpo de captura de *T. cruzi*, y el anticuerpo de detección marcado. En la penúltima etapa del análisis, el fluido es forzado a salir de la bolsa y al conducto para lavar la muestra fuera del chip y a una cámara de residuos. En la etapa final del análisis, la marca de fosfatasa alcalina reacciona con fosfato de p-aminofenol para escindir el grupo fosfato y permitir la liberación de p-aminofenol que se oxida electroquímicamente en el electrodo de trabajo. Basándose en la corriente medida, el lector es capaz de calcular la cantidad de antígeno

de *T. cruzi* en la muestra por medio de un algoritmo implementado y una curva de calibración determinada en la fábrica.

No es necesario decir que los métodos y kits descritos en la presente memoria incluyen necesariamente otros reactivos y métodos para llevar a cabo el inmunoanálisis. Por ejemplo, están incluidos varios tampones tales como los que son conocidos en la técnica y/o que se pueden preparar fácilmente u optimizar para ser empleados, p. ej., para el lavado, en forma de un diluyente de producto conjugado, y/o en forma de un diluyente calibrador. Un diluyente de producto conjugado ilustrativo es el diluyente de producto conjugado ARCHITECT® empleado en ciertos kits (Abbott Laboratories, Abbott Park, IL) y que contiene ácido 2-(N-morfolino)etanosulfónico (MES), una sal, un bloqueador de proteína, un agente antimicrobiano, y un detergente. Un diluyente calibrador ejemplar es diluyente calibrador humano ARCHITECT® empleado en ciertos kits (Abbott Laboratories, Abbott Park, IL), que comprende un tampón que contenía MES, otra sal, un bloqueador de proteína, y un agente antimicrobiano

Para obtener una mejor comprensión de la descripción descrita en la presente memoria, se exponen los siguientes ejemplos. Se entenderá que estos ejemplos están destinados a describir realizaciones ilustrativas de la descripción y no pretenden limitar el alcance de la descripción de ninguna manera.

En los siguientes ejemplos, los anticuerpos contra el antígeno FP3 de *T. cruzi* de los Ejemplos 1 y 5 son anticuerpos de la invención. Otros anticuerpos ilustrados se presentan con fines comparativos.

Ejemplos

5

10

20

25

30

45

50

60

Ejemplo 1: Líneas celulares que producen anticuerpos contra antígeno FP3 de T. cruzi (Chagas FP3 12-392-150-110)

En este ejemplo, se produjo una línea celular de hibridoma que producía AcMo que reconocía y se unía a antígeno recombinante FP3 de Chagas. Los ratones se inmunizaron con el antígeno recombinante FP3 (SEQ ID NO.: 2), los ratones que producían anticuerpo anti-FP3 se sacrificaron, las células del bazo se cosecharon y se fusionaron con células de mieloma, y líneas celulares de hibridoma AcMo anti-FP3 se aislaron. Se produjo la línea celular HBFP3 resultante.

Preparación de inmunógeno

La línea celular de antígeno FP3 de Chagas fue proporcionada por el laboratorio del Dr. Louis Kirchoff de la Universidad de Iowa, para un banco de semillas en el Condado de Lake, Illinois. La secuencia de ADNc que codificaba este antígeno (SEQ ID NO.: 1) se clonó en los vectores de expresión pET bajo el control del promotor T7 y se expresaron en células anfitrionas de *E. coli* adecuadas [BLR(DE3)pLysS o BL21(DE3)]. La ARN polimerasa de T7 fue codificada por lisógeno lambda DE3 insertado en el genoma bacteriano anfitrión y bajo el control del promotor lacUV5. Se añadió isopropil-β-D-tiogalactopiranósido (IPTG) a las células para inducir la expresión de la ARN polimerasa de T7, que a su vez se unió al promotor T7 y dio como resultado la expresión del gen clonado. Las placas de las células transformadas se sembraron en estrías para aislar una única colonia y se prepararon bancos de células. Con posterioridad, se hizo crecer *E. coli*, y se preparó una pasta de células para la purificación.

En primer lugar, se purificó el antígeno FP3 recombinante a partir de sobrenadante aclarado haciendo circular el sobrenadante aclarado durante la carga. En segundo lugar, los contaminantes falsamente unidos fueron eliminados de la columna de Cromatografía de Afinidad de Metal Inmovilizado (IMAC) mediante lavado de la columna de afinidad con un tampón de alta concentración de sal. En tercer lugar, el polipéptido FP3 recombinante (extremo amino) etiquetado con His se hizo eluir de la columna mediante la eliminación competitiva del antígeno etiquetado con His con imidazol. Con posterioridad, las proteínas eluidas se fraccionaron y se analizaron por electroforesis en gel de dodecilsulfato de sodio-poliacrilamida (SDS-PAGE). Las fracciones que contenían el antígeno FP3 recombinante sin contaminación significativa se combinaron y se concentraron. Después de la concentración, el antígeno FP3 se purificó adicionalmente mediante cromatografía de exclusión por tamaño usando una columna de dimensionamiento Sephacryl S-300 de 2000 ml, se analizó mediante SDS-PAGE y se concentró.

55 Inmunización de animales

Ratones RBF/DNJ hembra (todos los ratones se obtuvieron de Jackson Laboratories; Bar Harbor, ME) se inmunizaron dos veces con antígeno recombinante FP4 de Chagas purificado (que contenía la secuencia de FP3 diana) y una vez con antígeno recombinante FP3 de Chagas purificado, utilizando el Sistema Coadyuvante de Freund, antes de la comprobación de los antisueros para determinar un título suficiente. El inóculo se preparó diluyendo el antígeno en cloruro de sodio al 0,9% y emulsionando con un volumen igual de coadyuvante. En las semanas 0 y 3, se administró un refuerzo de 20 µg de FP4 (que contenía la secuencia de FP3 diana) a los ratones. En la semana 6, se administró un refuerzo de 10 µg de FP3 a los ratones. Se utilizó Coadyuvante Completo de Freund para el refuerzo primario liberado por vía subcutánea, y se utilizó Coadyuvante Incompleto de Freund para

los próximos 2 refuerzos intradérmicos. Dos semanas después del tercer refuerzo, se tomó una muestra de suero para un ensayo de titulación específico de anti-*T. cruzi*, que dio como resultado resultó la selección del ratón núm. 241 para el experimento de fusión. Tres días antes de la fusión, se administró al ratón núm. 241 un refuerzo prefusión de 5 µg de antígeno FP3 recombinante.

Creación de hibridoma (experimento de fusión celular)

Los hibridomas se desarrollaron utilizando la técnica de fusión mediada por polietilenglicol (PEG) descrita en Galfre et al. (Galfre, G., et al. 1977. Antibodies to major histocompatibility antigens produced by hybrid cell lines. Nature. 266: 550-2). El ratón RBF/DNJ núm. 241 fue sacrificado tres días después del refuerzo pre-fusión, y el bazo se cosechó. Las células B fueron perfundidas del bazo, lavaron y se re-suspendieron en un número igual de células de mieloma SP2/0 (Depósito ATTC CRL-1581). Las células totales se sedimentaron, y la fusión se realizó con 1 ml de polietilenglicol (PEG) y se cultivaron a 37°C en medio Libre de Suero de Hibridoma GIBCO® con suplemento de HAT (H-SFM; Invitrogen Corp., Carlsbad, CA) con suero bovino fetal al 10% (FBS; Hyclone; Logan, UT). Las células se cultivaron en placas de cultivo de tejidos de 96 pocillos y se incubaron en una incubadora humidificada a 37°C. Los híbridos se sometieron a ensayo 10-14 días más tarde para determinar la reactividad anti-FP3 de *T. cruzi* en un inmunoanálisis enzimático de microtitulación (EIA). Los resultados indicaron el anticuerpo específico anti-FP3 secretado 12-392 híbrido.

20 Clonación y subclonación de hibridoma

5

25

30

35

Se seleccionó el hibridoma 12-392 para la clonación por dilución limitante. Las células se suspendieron y luego se diluyeron en serie 10⁴, 10⁵ y 10⁶ en 20 ml de H-SFM con FBS al 10%. Cada dilución se sembró en una placa de cultivo de tejidos de 96 pocillos con 0,2 ml de suspensión de células por pocillo. Las placas se incubaron durante 10-14 días a 37°C en una incubadora humidificada. Dado que el crecimiento se hizo evidente, los sobrenadantes se sometieron a ensayo en un EIA de microtitulación anti-FP3 que dio como resultado la selección de clon 12-392-150.

El clon 12-392-150 se seleccionó para la subclonación utilizando la clasificación celular activada por fluorescencia (FACS). Se coloreó una suspensión celular con Alexa Fluor 488 anti-ratón de cabra (Invitrogen Corp., Carlsbad, CA). Los productos aislados de una sola célula del 5-8% superior de esta población de células teñidas se depositaron sobre una placa de cultivo de tejidos de 96 pocillos con 0,2 ml de H-SFM con FBS al 10%. Las placas se incubaron durante 10-14 días a 37°C en una incubadora humidificada. Dado que el crecimiento se hizo evidente, los sobrenadantes se sometieron a ensayo en un EIA de microtitulación anti-FP3 que dio como resultado la selección de clon 12-392-150-110 (HBFP3).

Se expandió el HBFP3 del cultivo de tejido a una botella de cultivo rotatoria de 850 cm², pase celular 5, en H-SFM con FBS al 10%. La suspensión celular del pase 5 se sedimentó, se resuspendió en medio de congelación y se dispensó en crioviales. Los viales se almacenaron en los tanques de almacenamiento de nitrógeno líquido.

40 Ejemplo 2: Líneas celulares productoras de anticuerpos contra antígeno recombinante TcF de Chagas (Chagas 9-638-132-115)

Fuente de inmunógeno

45 El antígeno recombinante TcF purificado (que contiene la secuencia de PEP2) utilizado para las inmunizaciones de los animales se obtuvo de Corixa Corporation (Seattle, WA).

Inmunización de animales

- Se inmunizaron ratones hembra RBf/dnJ tres veces con antígeno recombinante TcF de Chagas purificado, usando el Sistema Coadyuvante de Freund, antes de la comprobación de los antisueros para un título suficiente. El inóculo se preparó diluyendo el antígeno de cloruro de sodio al 0,9% y emulsionando con un volumen igual de coadyuvante. En las semanas 0, 6, y 12, se administró a los ratones un refuerzo 20 μg de TcF. Se utilizó Coadyuvante de Freund completo para el refuerzo primario administrado por vía subcutánea y se utilizó Coadyuvante de Freund incompleto para los siguientes 2 refuerzos intradérmicos. Dos semanas después del tercera refuerzo, se tomó una muestra de suero para un ensayo de titulación anti-*T. cruzi* específico, que dio como resultado la selección de ratón núm. 115 para el experimento de fusión. Tres días antes de la fusión, se administró al ratón núm. 15 un refuerzo pre-fusión de 10 μg de antígeno TcF recombinante y 10 μg del péptido TcF Pep2.
- 60 Creación de hibridoma

Los hibridomas se desarrollaron utilizando la técnica de la fusión mediada por PEG descrita por Galfre *et al.* (Galfre *et al.*, 1977). El ratón RBf/dnJ núm. 115 fue sacrificado tres días después del refuerzo de pre-fusión, y el bazo se cosechó. Las células B fueron perfundidas a partir del bazo, lavadas y se re-suspendidas en un número igual de

células de mieloma SP2/0 (depósito ATTC CRL-1581). Las células totales se sedimentaron, y la fusión se realizó con 1 ml de PEG y se cultivaron a 37°C H-SFM GIBCO® con suplemento de HAT (Invitrogen Corp., Carlsbad, CA) con FBS al 10% (Hyclone, Logan, UT). Las células se cultivaron en placas de cultivo de tejidos de 96 pocillos y se incubaron en una incubadora humidificada a 37°C. Los híbridos se sometieron a ensayo 10-14 días más tarde para determinar la reactividad anti-Pep2 de *T. cruzi* en un EIA de microtitulación. Los resultados indicaron que el híbrido 9-638 secretaba anticuerpo específico anti-Pep2.

Clonación y subclonación de hibridoma

Se seleccionó el hibridoma 9-638 para la clonación de dilución limitante. Las células se suspendieron y luego se diluyeron en serie 10⁴, 10⁵ y 10⁶ en 20 ml de H-SFM con FBS al 10%. Cada dilución se cultivó en una placa de cultivo de tejidos de 96 pocillos con 0,2 ml de suspensión de células por pocillo. Las placas se incubaron durante 10-14 días a 37°C en una incubadora humidificada. Dado que el crecimiento se hizo evidente, los sobrenadantes se sometieron a ensayo en un EIA de microtitulación anti-Pep2, y se seleccionó el clon 9-638-132.

Se seleccionó el clon 9-638-132 para la subclonación utilizando FACS. Se coloreó una suspensión celular con Alexa Fluor 488-anti ratón de cabra. Los productos aislados de una sola célula del 1% superior de esta población de células teñidas se depositaron en una placa de cultivo de tejidos de 96 pocillos con 0,2 ml de H-SFM con FBS al 10%. Las placas se incubaron durante 10-14 días a 37°C en una incubadora humidificada. Dado que el crecimiento se hizo evidente, los sobrenadantes se sometieron a ensayo en un EIA de microtitulación anti-Pep2, y se seleccionó el clon 9-638-132-115.

Se expandió el clon 9-638-132-115 del cultivo de tejidos a una botella de cultivo rotatoria de 850 cm², pase celular 6, en H-SFM con FBS al 10%. La suspensión del pase celular 6 se sedimentó. El sedimento se resuspendió después en un medio de congelación y se dispensó en crioviales. Los viales se almacenaron en el almacenamiento de nitrógeno líquido

Ejemplo 3: Líneas de células productoras de anticuerpos contra el antígeno recombinante FP10 de Chagas (Chagas 10-745-140)

Fuente de inmunógeno

15

20

25

30

35

50

55

60

Se obtuvo la línea celular de antígeno FP10 de Chagas (SEQ ID NO: 6.) del laboratorio del Dr. Louis Kirchoff, Universidad de Iowa, para un banco de semillas en el Condado de Lake. La secuencia de ADNc (SEQ ID NO.: 5) que codificaba este antígeno se clonó en los vectores de expresión pET, y se procesaron las células y el antígeno recombinante purificado como se describe en el Ejemplo 1.

Inmunización de animales

Se inmunizaron ratones hembra RBf/dnJ tres veces con antígeno recombinante FP10 de Chagas purificado utilizando el Sistema Coadyuvante de Freund antes de la comprobación de los antisueros para determinar un título suficiente. El inóculo se preparó diluyendo el antígeno en cloruro de sodio al 0,9% y emulsionando con un volumen igual de coadyuvante. En las semanas 0, 3 y 6, se administró un refuerzo 20 μg a los ratones. Se utilizó Coadyuvante Completo de Freund para el refuerzo primario administrado por vía subcutánea, y se utilizó Coadyuvante Incompleto de Freund para los siguientes 2 refuerzos intradérmicos. Dos semanas después del 3^{er} refuerzo, se tomó una muestra de suero para un ensayo de titulación específico anti-*T. cruzi*, y se seleccionó el ratón núm. 230 para el experimento de fusión. Tres días antes de la fusión, se administró al ratón núm. 230 un refuerzo pre-fusión que consistía en 25 μg de antígeno recombinante FP10 y 25 μg de un péptido sintético de 14 aminoácidos que representa el dominio L del antígeno recombinante FP10.

Creación de hibridoma

Los hibridomas se desarrollaron utilizando la técnica de la fusión mediada por PEG descrita por Galfre *et al.* (Galfre *et al.*, 1977). El ratón núm. RBf/dnJ núm. 230 se sacrificó tres días después del refuerzo pre-fusión, y el bazo se cosechó. Las células B se perfundieron a partir del bazo, se lavaron y se re-suspendieron en un número igual de células de mieloma SP2/0 (depósito ATTC CRL-1581). Las células totales se sedimentaron, y la fusión se realizó con 1 ml de PEG y se cultivaron a 37°C en H-SFM GIBCO® con un suplemento de HAT (Invitrogen Corp., Carlsbad, CA) con FBS al 10% (Hyclone, Logan, UT). Las células se cultivaron en placas de cultivo de tejidos de 96 pocillos y se incubaron en una incubadora humidificada a 37°C. Los hibridomas resultantes se sometieron a ensayo 10-14 días más tarde para determinar la reactividad anti-FP10 de *T. cruzi* en un EIA. Se seleccionó un hibridoma que secretaba AcMo anti-FP10 de *T. cruzi* conocido como 10-745.

Clonación de hibridoma

Se seleccionó 10-745 híbrido para una clonación de dilución limitante. Las células se suspendieron y luego se diluyeron en serie a 10⁴, 10⁵ y 10⁶ en 20 ml de H-SFM con FBS al 10%. Cada dilución se cultivó en placa de cultivo de tejidos de 96 pocillos con 0,2 ml de suspensión de células por pocillo. Las placas se incubaron durante 10-14 días a 37°C en una incubadora humidificada. Dado que el crecimiento se hizo evidente, los sobrenadantes se sometieron a ensayo en un EIA de microtitulación anti-FP10 que dio como resultado la selección del clon 10-745-140.

Se expandió el clon 10-745-140 del cultivo de tejidos en un matraz T75, paso de células 2, en IMDM con FBS al 10%. La suspensión del pase celular 2 se sedimentó por centrifugación. El sedimento se resuspendió en medio de congelación y se dispensó en crioviales adecuadamente etiquetados. Los viales se almacenaron en los tanques de almacenamiento de nitrógeno líquido.

Ejemplo 4: Líneas celulares que producen anticuerpos contra el antígeno recombinante FRA de Chagas (Chagas FRA 8-367-171)

15 Fuente de inmunógeno

5

10

20

40

45

La línea celular de antígeno de *T. cruzi* que contenía la región FRA (SEQ ID NO.: 8) comprendida en el polipéptido FP6, se obtuvo del laboratorio del Dr. Louis Kirchoff, Universidad de Iowa, para un banco de semillas en el Condado de Lake. La secuencia de ADNc que codificaba este antígeno (SEQ ID NO.: 7) se clonó en los vectores de expresión pET, y las células se procesaron y el antígeno recombinante se purificó como se describe en el Ejemplo 1.

Vacunas animales

Se inmunizaron ratones BALB/c hembra tres veces con antígeno recombinante FP6 de Chagas purificado utilizando el Sistema Coadyuvante de Freund antes de la comprobación de los antisueros para determinar un título suficiente. El inóculo se preparó diluyendo el antígeno en cloruro de sodio al 0,9% y emulsionando con un volumen igual de coadyuvante. En las semanas 0, 4 y 10, se administró un refuerzo de 10 µg a los ratones. Se utilizó Coadyuvante Completo de Freund para el refuerzo primario administrado por vía subcutánea y se utilizó Coadyuvante Incompleto de Freund para los siguientes 2 refuerzos intradérmicos. Dos semanas después del tercer refuerzo, se tomó una muestra de suero para un ensayo de titulación anti-*T. cruzi* específico, y se seleccionó el ratón núm. 1907 para el experimento de fusión. Tres días antes de la fusión, se administró al ratón núm. 1907 un refuerzo pre-fusión que consistía en 25 µg de antígeno recombinante y 25 µg de un péptido sintético que representaba el dominio FRA del antígeno recombinante.

35 Creación de hibridoma

Los hibridomas se desarrollaron utilizando la técnica de fusión mediada por PEG descrita por Galfre *et al.* (Galfre *et al.*,1977). El ratón BALB/c núm. 1907 se sacrificó tres días después del refuerzo pre-fusión, y se cosechó el bazo. Las células B se perfundieron a partir del bazo, se lavaron y se re-suspendieron en un número igual de células de mieloma SP2/0 (depósito ATTC CRL-1581). Las células totales se sedimentaron, y la fusión se realizó con 1 ml de PEG y se cultivaron a 37°C en H-SFM GIBCO® con suplemento de HAT (Invitrogen Corp., Carlsbad, CA) con FBS al 10% (Hyclone, Logan, UT). Las células se cultivaron en placas de cultivo de tejidos de 96 pocillos y se incubaron en una incubadora humidificada a 37°C. Los hibridomas resultantes se sometieron a ensayo 10-14 días más tarde para determinar la reactividad anti-dominio FRA de *T. cruzi* en un EIA. Se seleccionó un hibridoma que secretaba AcMo anti-dominio FRA de *T. cruzi* conocido como 8-367.

Clonación de hibridoma

- Se seleccionó 8-367 híbrido para una clonación de dilución limitante. Las células se suspendieron y luego se diluyeron en serie a diluciones 10⁴, 10⁵ y 10⁶ en 20 ml de H-SFM con FBS al 10%. Cada dilución se cultivó en una placa de cultivo de tejidos de 96 pocillos con 0,2 ml de suspensión de células por pocillo. Las placas se incubaron durante 10-14 días a 37°C en una incubadora humidificada. Dado que el crecimiento se hizo evidente, los sobrenadantes se sometieron a ensayo en un EIA de microtitulación anti-FRA, y se seleccionó el clon 8-367-171.
- Se expandió el clon 8-367-171 del cultivo de tejidos en un matraz T75, pase 3 de células, en IMDM con FBS al 10%. La suspensión de pase 3 de células se sedimentó, se resuspendió en medio de congelación y se dispensó en crioviales. Los viales se almacenaron en los tanques de almacenamiento de nitrógeno líquido.
- Ejemplo 5: Líneas celulares productoras de AcMo anti-FP3 de T. cruzi quimérico (Chagas FP3 12-392-60 150CHO2580-104)

En este ejemplo y en los ejemplos posteriores dirigidos a la creación de líneas de células de mamífero que expresaban anticuerpos monoclonales quiméricos ratón-humano, se adoptó el siguiente enfoque general. Después de identificar las líneas celulares de hibridoma que secretaban los AcMo deseados (tales como los hibridomas de los

Ejemplos 1-4), se aisló el ARNm de estas células y se identificaron las secuencias de los genes de los anticuerpos. Se clonaron las secuencias V_L y V_H en vectores de pBOS, que suministraban las secuencias constantes del anticuerpo humano (Mizushima S, Nagata S., "pEF-BOS, , a powerful mammalian expression vector." Nucleic Acids Res. 1990 11 de septiembre; 18(17): 5322 y documento US 2005/0227289 (Incorporados como referencia por sus enseñanzas respecto al uso de estos vectores y los propios vectores)), que fueron entonces co-transfectados en un sistema de expresión transitoria para confirmar que los anticuerpos quiméricos resultantes eran funcionales. Tras la confirmación, se subclonaron las secuencias de V_L en pJV, y las secuencias de V_H en pBV; estos vectores, se utilizaron a continuación para construir un vector de expresión pBJ estable. El plásmido pJV se obtuvo de Abbott Laboratories (Abbott Bioresearch Center, Worcester, MA) y comprende un promotor de SV40, un gen DHFR murino, un intensificador, un promotor, y un región central no esencial de lambda. El plásmido pBV (también obtenido de Abbott Laboratories, Abbott Bioresearch Center, Worcester, MA) comprende un intensificador, un promotor, y una una región central no esencial de lambda. Se transfectaron células de Ovario de Hámster Chino (CHO) con pBJ, se seleccionaron los transfectantes estables, y los anticuerpos secretados se sometieron a ensayo de nuevo. La **FIG. 1** muestra un resumen esquemático de los anticuerpos quiméricos, en los que los genes de la región variable murina (porción de unión a antígeno) se transfieren a vectores en los que adjuntan genes de región constante humana.

Identificación de las secuencias V_H y V_L de ratón

5

10

15

50

55

60

Se cultivó línea celular de hibridoma HBFP3 (Ejemplo 1) en H-SFM para obtener ~ 5 x 10⁶ células para la purificación de ARNm de acuerdo con los protocolos de extracción de mRNA convencionales. El ARNm purificado se utilizó como molde con un conjunto de cebadores de lg de ratón (Novagen (EMD Biosciences, Inc.); Madison, WI) en una reacción de RT-PCR. Se observaron productos de PCR positivos a partir de los cebadores B y C de la cadena pesada (H) (clones HB y HC) y a partir de los cebadores A, B, C, y G de la cadena ligera (L) (clones LA, LB, LC, y LG) .Todos los productos de PCR positivos se purificaron en gel y se clonaron en el vector pCR TOPO TA 2.1 (Invitrogen Corp., Carlsbad, CA). El ADN del plásmido se purificó a partir de las células bacterianas transformadas y los insertos V_H o V_L se confirmaron por digestión con *Eco*Rl para cada reacción de RT-PCR que generó productos de tamaño apropiado. La secuencia génica de V_H o V_L se seleccionó después de que los alineamientos de secuencias confirmaran una secuencia consenso entre los clones. El clon HB1 de TOPO-TA de Chagas contenía la correcta génica de V_H correcta, y el clon LG3 de de TOPO-TA de Chagas contenía la secuencia génica de V_L correcta.

Clonación de los genes de V_H y V_L murinos en vectores pBOS

Un par de cebadores de PCR que contenía una secuencia señal Kappa parcial con un sitio *Nru*I en el cebador 5', y un sitio *BsI*WI en el cebador 3' se utilizó para amplificar el gen V_L de ratón del clon LG3 de TOPO. Además, se utilizó un par de cebadores que contenía una secuencia señal de la cadena pesada parcial y un sitio *Nru*I en el cebador 5', y un sitio *SaI*I en el cebador 3' para amplificar el gen V_H de ratón a partir del clon HB 1 de TOPO. El producto de la PCR de V_L se digirió con las enzimas de restricción *Nru* I y *BsiW* I y se ligó en el vector pBOS-HCK digerido con las mismas enzimas. El producto de la PCR de V_H se digirió con las enzimas de restricción Nru I y SaI I y se ligó en el vector pBOS-hCgI digerido con las mismas enzimas. Los plásmidos de numerosas colonias bacterianas transformadas se secuenciaron para confirmar la presencia de cualquiera de los genes de V_H o V_L de Chagas en sus respectivos vectores. Se consideraron correctos Chagas el clon 4 de 12-392-150 V_H_pBOS-H cy el clon 5 de Chagas 12-392-150 V_L pBOS-L.

45 Producción de AcMo quimérico y confirmación funcional

Se utilizaron preparaciones de plásmidos libres de endotoxina del clon 1 de Chagas 12-392-150 V_{H_D}BOS-H y el clon 4 de Chagas 12-392-150 V_{L_D}BOS-L para la transfección transitoria en células COS 7L por medio de electroporación (PULSER® GENE, Bio-Rad; Hercules, CA). Las células transfectadas se incubaron a 37°C en una incubadora con CO₂ al 5% durante tres días. El anticuerpo quimérico producido por las células COS 7L se cosechó por centrifugación a 4000 rpm durante 20 minutos y después se purificó utilizando una columna de afinidad de proteína A (POROS A; Applied Biosystems; Foster City, CA). Para confirmar la actividad, se analizó el anticuerpo cosechado utilizando la resonancia de plasmón superficial en un aparato Biacore® (Biacore (GE Healthcare); Piscataway, NJ).

Clonación del vector de expresión estable de la línea celular CHO

Se utilizaron el clon 1 de Chagas 12-392-150 V_{H_}pBOS-H y el clon 4 de Chagas 12-392-150 V_{L_}pBOS-L para construir un plásmido para generar una línea celular CHO transfectada estable. En primer lugar, se utilizaron *Srf* I y *Not I* para aislar los genes V_H-CH y V_L-CL de los vectores pBOS; estos fragmentos se clonaron en los vectores pBV o pJV, respectivamente. Ambos vectores fueron adquiridos de Abbott Bioresearch Center (Worcester, MA) y contenían secuencias reguladoras necesarias para la expresión de los genes de anticuerpos. Los clones pBV y pJV resultantes se analizaron por medio de digestión con enzimas de restricción *Srf* I /*Not I* y se secuenciaron para determinar que el clon 4 de Chagas 10-745 V_{H_}PBV y el clon 1 de Chagas 12-392-150_pJV eran correctos. En

segundo lugar, los clones correctos pBV o pJV fueron digeridos ambos con *Pac* I y *Asc* I, y los fragmentos de ADN de contenían V_H-CH y V_L-CL se ligaron para formar un único plásmido pBJ que contenía ambos genes de las cadenas pesadas y ligeras. Los clones pBJ se escrutaron mediante digestión con *Srf* I /*Not* I para confirmar la presencia de ambos genes de anticuerpos. El mapa del plásmido para el clon 4 de Chagas 12-392-150 Mu-Hu_pBJ se muestra en la **FIG. 2**; las secuencias de polinucleótidos doble cadena de los genes VH y VL gen que contenían las regiones (y las secuencias limítrofes) se muestran en las **Figs. 3A-C.**

Se utilizó la línea celular CHO B3.2 adquirida del Abbott Bioresearch Center que contenía un gen de dihidrofolato reductasa defectuoso (*DHFR*) para la transfección y la expresión del anticuerpo estable. Las células CHO B3.2 se transfectaron con el clon 1 de Chagas 12-392-150 Mu-Hu_pBJ usando la transfección mediada por fosfato de calcio. Las células CHO transfectadas se cultivaron durante varias semanas con medios que carecían de timidina para seleccionar aquellas células que habían incorporado el gen *DHFR* funcional presente en el plásmido pBJ. Se utilizó la clasificación celular activada por fluorescencia (FACS) para clasificar las células individuales de la reserva transfectada en placas de 96 pocillos. Se utilizó un EIA específico del antígeno para clasificar la producción de anticuerpos entre los clones, y los productores más altos se expandieron y se volvieron a analizar. Los clones se deshabituaron a continuación en medio libre de suero. Se controlaron las características de crecimiento, la producción de anticuerpos y clonalidad de los clones. Se subclonó el clon FP3 de Chagas 12-392-150 CHO 2580-104 para clasificar las células individuales en placas de 96 pocillos y luego se expandieron para producir anticuerpo purificado.

20

5

10

15

Ejemplo 6: Líneas celulares productoras de AcMo anti-epítopo Pep2 de T. cruzi quiméricos (anti-TcF y anti-FP6) (clon 9-638-1928 de Pep2 de Chagas)

Identificación de secuencias V_H y V_L de ratón

25

30

35

Se cultivó la línea celular de hibridoma HBPep2 (Ejemplo 2) H-SFM para obtener $\sim 5 \times 10^6$ células para la purificación del ARNm de acuerdo con los protocolos de extracción de ARNm convencionales. El ARNm purificado se utilizó como molde con un conjunto de cebadores de Ig de ratón (Novagen (EMD Biosciences, Inc.)) para una reacción de RT-PCR. Se observaron productos de PCR positivos de los cebadores B y E de la cadena pesada (H) (clones HB y HE) y de los cebadores B, C, D, E, F y G de la cadena ligera (L) (clones LB, LC, LD, LE , LF y LG). Todos los productos de PCR positivos se purificaron en gel y se clonaron en el vector pCR TOPO TA 2.1 (Invitrogen Corp., Carlsbad, CA). El ADN del plásmido se purificó a partir de células bacterianas transformadas y los insertos V_H o V_L se confirmaron por medio de digestión con EcoRl para cada reacción de RT-PCR que generó productos de tamaño apropiado. La secuencia génica de V_H o V_L correcta se seleccionó después de que los alineamientos de secuencia confirmaran una secuencia de consenso entre los clones. El clon HE2 de TOPO-TA de Chagas contenía la secuencia génica de V_L correcta.

Clonación de genes V_H y V_L murinos en vectores pBOS

40

45

50

Se utilizó un par de cebadores de PCR que contenían una secuencia señal Kappa parcial y un sitio *Nru* I en el cebador 5', y un sitio *BsiW* I en el cebador 3' para amplificar el gen de V_L de ratón a partir del clon LG1 de TOPO. Además, se utilizó un par de cebadores que contenían una secuencia señal de la cadena pesada parcial y un sitio *Nru* I en el cebador 5', y un sitio *Sal* I en el cebador 3' para amplificar el gen de V_H de ratón a partir del clon HE2 de TOPO. El producto de la PCR de V_L se digirió con las enzimas de restricción *Nru* I y *BsiW* I y se ligó en el vector pBOS-HCK digerido con las mismas enzimas. El producto la OCR de V_H se digirió con las enzimas de restricción *Nru* I y *Sal* I y se ligó en el vector pBOS-hCgl digerido con las mismas enzimas. Los plásmidos procedentes de numerosas colonias bacterianas transformadas se secuenciaron para confirmar la presencia de cualquiera de los genes de V_H o V_L de Chagas en sus respectivos vectores. Se consideró que el clon A2 de Chagas 9-638 V_L pBOS-H y el clon B6 de Chagas 9-638 V_L pBOS-L eran correctos.

Producción de AcMo quimérico y confirmación funcional

55

60

Se utilizaron preparaciones de plásmidos libres de endotoxina del clon A2 de Chagas 9-638 V_H_pBOS-H y el con B6 de Chagas 9-638 V_L pBOS-L para la transfección transitoria en células COS 7L por electroporación (GENE PULSER®, Bio-Rad, Hercules, CA). Las células transfectadas se incubaron a 37°C en una incubadora con CO₂ al 5% durante tres días. El anticuerpo quimérico producido por las células COS 7L se cosechó por centrifugación a 4000 rpm durante 20 minutos y después se purificó utilizando una columna de afinidad de proteína A (POROS A; Applied Biosystems). Para confirmar la actividad, se analizó el anticuerpo cosechado utilizando la resonancia de plasmón superficial en un aparato Biacore® (Biacore (GE Healthcare); Piscataway, NJ). La afinidad fue de aproximadamente 2,6 nM.

Clonación del vector de expresión estable de la línea celular CHO

Se utilizaron el clon A2 de Chagas 9-638 V_LpBOS-H y el clon B6 de Chagas 9-638 V_LpBOS-L para construir un plásmido para generar una línea celular CHO transfectada estable. En primer lugar, se utilizaron *Srf* I y *Not* I para aislar los genes de V_H-CH y V_L-CL de los vectores pBOS; estos fragmentos e clonaron en los vectores pBV o pJV, respectivamente. Los clones de pBV y pJV clones resultantes se analizaron por medio de digestión con las enzimas de restricción *Srf* I /*Not* I y se secuenciaron para determinar que el clon 10 de Chagas 9-638 V_H_pBV y el clon 10 de Chagas 9-638 pJV eran correctos. En segundo lugar, los clones pBV o pJV correctos fueron digeridos ambos con *Pac* I y *Asc* I, y los fragmentos de ADN que contenían V_H-CH y V_L-CL se ligaron para formar un único plásmido pBJ que contiene ambos genes de las cadenas pesadas y ligeras. Los clones pBJ se seleccionaron por medio de digestión con *Srf* I /*Not* I para confirmar la presencia de ambos genes de anticuerpos. El mapa del plásmido para el clon 2 de Chagas 9-638 Mu-Hu_pBJ se muestra en la **FIG. 4.**

Se utilizó la línea de células CHO B3.2 adquirida del Abbott Bioresearch Center que contiene un gen *DHFR* defectuoso para la transfección y expresión estable del anticuerpo. Las células CHO B3.2 se transfectaron con el clon 2 de Chagas 9-638 Mu-Hu_pBJ utilizando la transfección mediada por fosfato de calcio. Las células CHO transfectadas se cultivaron durante varias semanas con medios que carecen de timidina para seleccionar aquellas células que habían incorporado el gen *DHFR* funcional presente en el plásmido pBJ. Se utilizó FACS para ordenar las células individuales de la reserva transfectada en placas de 96 pocillos. Se utilizó un EIA específico del antígeno para clasificar la producción de anticuerpos entre los clones, y los mayores productores se expandieron y se volvieron a analizar. Los clones fueron deshabituados a continuación en medio libre de suero. Se controlaron las características de crecimiento, producción de anticuerpos y clonalidad de los clones. Se seleccionó el clon 9-638-1145 de Chagas Pep2 y se volvió a subclonar mediante clasificación de células individuales en placas de 96 pocillos, y después se expandió el clon 9-638-1928 de Chagas Pep2 para producir anticuerpo purificado.

Ejemplo 7: Líneas celulares productoras de AcMo anti-FP10 de T. cruzi quimérico (Chagas FP10 10-745-3796)

Identificación de secuencias de V_H y V_L de ratón

10

15

20

25

30

35

45

50

Se cultivó la línea celular de hibridoma HBFP10 (Ejemplo 3) en H-SFM para obtener ~ 5 x 10⁶ células para la purificación de ARNm de acuerdo con protocolos de extracción de ARNm convencionales. El ARNm purificado se utilizó como molde con un conjunto de cebadores de Ig de ratón (Novagen (EMD Biosciences, Inc.)) para una reacción de RT-PCR. Se observaron productos de PCR positivos a partir de los cebadores B de la cadena pesada (H) (clones HB) y de los cebadores B, C y G la cadena ligera (L) (clones LB, LC y LG). Todos los productos de PCR positivos se purificaron en gel y se clonaron en el vector pCR TOPO TA 2.1 (Invitrogen Corp., Carlsbad, CA). El ADN del plásmido se purificó a partir de células bacterianas transformadas y se confirmaron los insertos de V_H o V_L por medio de digestión con *Eco*RI para cada reacción de RT-PCR que generó productos de tamaño apropiado. La secuencia génica de V_H o V_L correcta se seleccionó después de que los alineamientos de secuencia confirmaran una secuencia de consenso entre los clones. El clon HB3 de TOPO-TA de Chagas contenía la secuencia génica de V_L correcta.

40 Clonación de los genes de V_H y V_L murinos en vectores pBOS

Se utilizó un par de cebadores de PCR que contenían una secuencia señal de Kappa parcial y un sitio *Nru* I en el cebador 5', y un sitio *BsiW* I en el cebador 3' para amplificar el gen de V_L de ratón a partir del clon LG1 de TOPO. Adicionalmente, se utilizó un par de cebadores que contenían una secuencia señal de la cadena pesada parcial y un sitio *Nru* I en el cebador 5', y un sitio *Sal* I en el cebador 3' para amplificar el gen de V_H de ratón a partir del clon HB3 de TOPO. El producto de la PCR de V_L se digirió con las enzimas de restricción *Nru* I y *BsiW* I y se ligó en el vector pBOS-hCk digerido con las mismas enzimas. El producto de la PCR de V_H se digirió con las enzimas de restricción *Nru* I y *Sal* I y se ligó en el vector pBOS-hCgl digerido con las mismas enzimas. Los plásmidos procedentes de numerosas colonias bacterianas transformadas se secuenciaron para confirmar la presencia de cualquiera de los genes de V_H o V_L de Chagas en sus respectivos vectores. El clon 4 de Chagas 10-745 V_L pBOS-H y el clon 5 de Chagas 10-745 V_L pBOS-L se consideraron correctos.

Producción de AcMo quimérico y confirmación funcional

Se utilizaron preparaciones de plásmidos libres de endotoxinas del clon 4 de Chagas 10-745 V_L_pBOS-H y del clon 5 de Chagas 10-745 V_L_pBOS-L para la transfección transitoria en células COS 7L por medio de electroporación (GENE PULSER®, Bio-Rad). Las células transfectadas se incubaron a 37°C en una incubadora con CO₂ al 5% durante tres días. El anticuerpo quimérico producido por las células COS 7L se cosechó por centrifugación a 4000 rpm durante 20 minutos y después se purificó utilizando una columna de afinidad de proteína A (POROS A; Applied Biosystems). Para confirmar la actividad, se analizó el anticuerpo cosechado mediante resonancia de plasmón superficial en un aparato Biacore® (Biacore (GE Healthcare)).

Clonación de vector de expresión estable de la línea de células CHO

Se utilizaron el clon 4 de Chagas 10-745 V_H_pBOS-H y el clon 5 de Chagas 10-745 V_L_pBOS-L clon 5 se para construir un plásmido para generar una línea de células CHO transfectada estable. En primer lugar, se utilizaron *Srf* I y *Not* I para aislar los genes de V_H-CH y V_L-CL de los vectores pBOS; estos fragmentos se clonaron a continuación en los vectores pBV o pJV, respectivamente. Los clones de pBV y pJV resultantes se analizaron por medio de digestión con las enzimas de restricción *Srf* I /*Not* I y se secuenciaron para determinar que el clon 1 de Chagas 10-745 V_H_pBV y el clon 1 de Chagas 10-745_pJV eran correctos. En segundo lugar, los clones correctos pBV o pJV fueron digeridos ambos con *Pac* I y *Asc* I, y los fragmentos de ADN resultantes que contenían V_H-CH y V_L-CL se ligaron para formar un único plásmido pBJ que contenía ambos genes de las cadenas pesadas y ligeras. Los clones de pBJ se escrutaron por medio de digestión con *Srf* I /*Not* I para confirmar la presencia de ambos genes de anticuerpos. El mapa del plásmido para el clon 1 de Chagas 10-745 Mu-Hu pBJ se muestra en la **FIG. 5**.

Se utilizó la línea de células CHO B3.2 adquirida del Abbott Bioresearch Center que contiene un gen *DHFR* defectuoso para la transfección y expresión del anticuerpo estable. Las células CHO B3.2 fueron transfectadas con el clon 1 de Chagas 10-745 Mu-Hu_pBJ usando la transfección mediada por fosfato de calcio. Las células CHO transfectadas fueron cultivadas durante varias semanas con medios que carecían de timidina para seleccionar aquellas células que habían incorporado el gen *DHFR* funcional presente en el plásmido pBJ. Se utilizó FACS para clasificar las células individuales de la reserva transfectada en placas de 96 pocillos. Se utilizó un EIA específico del antígeno para clasificar la producción de anticuerpos entre los clones, y se expandieron los mayores productores y se volvieron a analizar. A continuación los clones se deshabituaron en medio libre de suero. Se verificaron las características de crecimiento, producción de anticuerpos y clonalidad de los clones. El clon 10-745-3649 de Chagas FP10 se sub-clonó mediante clasificación de las células individuales en placas de 96 pocillos y luego se expandió para producir anticuerpo purificado.

Ejemplo 8: Líneas celulares que producen AcMo anti-FRA de T. cruzi quiméricos (Ejemplo profético)

Identificación de las secuencias de V_H y V_L de ratón

Se cultivó la línea celular de hibridoma HBFRA (Ejemplo 4) en H-SFM para obtener ~ 5 x 10⁶ células para la purificación de ARNm de acuerdo con protocolos de extracción de ARNm convencionales. El ARNm purificado se utilizó como molde con un conjunto de cebadores de Ig de ratón (Novagen (EMD Biosciences, Inc.)) para una reacción de RT-PCR. Se observaron productos de PCR positivos de los cebadores de la cadena pesada (H) y de los cebadores de la cadena ligera (L). Todos los productos de PCR positivos se purificaron en gel y se clonaron en un vector pCR TOPO TA 2.1 (Invitrogen Corp., Carlsbad, CA). El ADN del plásmido se purificó a partir de las células bacterianas transformadas y los insertos de V_H o V_L se confirmaron mediante digestión con *EcoR*I para cada reacción de RT-PCR que generó productos de tamaño apropiado. La secuencia del gen de V_H o V_L correcta se seleccionó después de que los alineamientos de secuencia confirmaran una secuencia de consenso entre los clones.

Clonación de los genes de V_H y V_L murinos en vectores de pBOS

Se utilizó un par de cebadores de PCR que contenían una secuencia señal de Kappa parcial y un sitio *Nru* I en el cebador 5', y un sitio *BsW* I en el cebador 3' para amplificar el gen de V_L de ratón a partir de TOPO. Adicionalmente, se utilizó un par de cebadores que contenían una secuencia señal de la cadena pesada parcial y un sitio *Nru* I en el cebador 5', y un sitio *Sal* I en el cebador 3' para amplificar el gen de V_H de ratón a partir del clon TOPO. El producto de la PCR de V_L se digirió con las enzimas de restricción *Nru* I y *BsiW* I y se ligó en el vector pBOS-hCk digerido con las mismas enzimas. El producto de la PCR de V_H se digirió con las enzimas de restricción *Nru* I y *Sal* I y se ligó en el vector pBOS-hCgl digerido con las mismas enzimas. Los plásmidos procedentes numerosas colonias bacterianas transformadas se secuenciaron para confirmar la presencia de cualquiera de los genes de V_H o V_L de Chagas en sus respectivos vectores (Chagas V_H pBOS-H y Chagas V_L pBOS-L).

Producción de AcMo quimérico y confirmación funcional

Se utilizaron preparaciones de plásmidos libres de endotoxinas de Chagas V_H_pBOS-H y Chagas V_L_pBOS-L para la transfección transitoria en células COS 7L por electroporación (Gene PULSER®, Bio-Rad) u otro método de transfección. Las células transfectadas se incubaron a 37°C en una incubadora con CO₂ al 5% durante aproximadamente tres días. El anticuerpo quimérico producido por las células COS 7L se recogió por centrifugación a 4000 rpm durante 20 minutos y después se purificó utilizando una columna de afinidad de proteína A (POROS A; Applied Biosystems; Foster City, CA). Para confirmar la actividad, el anticuerpo cosechado se analizó, por ejemplo, mediante resonancia de plasmón superficial en un aparato Biacore® (Biacore (GE Healthcare)).

Clonación del vector de expresión estable de la línea de células CHO

Se utilizaron Chagas V_L pBOS-H y Chagas V_L pBOS-L para construir un plásmido para generar una línea de células CHO transfectada estable. En primer lugar, se utilizaron *Srf* I *y Not* I para aislar los genes de V_H -CH y V_L -CL

44

50

10

15

20

25

30

35

40

45

,,

55

de los vectores pBOS; estos fragmentos se clonaron a continuación en los vectores pBV o pJV, respectivamente. Los clones pBV y pJV resultantes se analizaron por medio de digestión con las enzimas de restricción *Srf I /Not I* y se secuenciaron para determinar que los clones eran correctos. En segundo lugar, los clones pBV o pJV correctos fueron ambos digeridos con *Pac I* y *Asc I*, y los fragmentos de ADN que contenían V_H-CH y V_LCL resultantes se ligaron para formar un único plásmido pBJ que contenía ambos genes de las cadenas pesadas y ligeras. Los clones pBJ se escrutaron mediante digestión con *Srf* Y */Not I* para confirmar la presencia de ambos genes de anticuerpos, dando como resultado Chagas Mu-Hu pBJ.

5

10

15

20

25

30

35

40

45

50

55

Se utilizó una línea de células CHO, tal como CHO B3.2, que contenía un gen *DHFR* defectuoso para la transfección y la expresión del anticuerpo estable. Las células CHO B3.2 fueron transfectadas con Chagas Mu-Hu_pBJ usando la transfección mediada por fosfato de calcio u otro protocolo de transfección. Las células CHO transfectadas se cultivaron durante varias semanas con medios que carecían de timidina para seleccionar aquellas células que incorporaban el gen *DHFR* funcional presente en el plásmido pBJ. Se puede utilizar FACS para clasificar las células individuales de la reserva transfectada en placas de 96 pocillos. Se pudo utilizar un EIA específico del antígeno para clasificar la producción de anticuerpos entre los clones, y los mayores productores se expandieron y se volvieron a analizar. Los clones se deshabituaron a continuación en medio libre de suero. Se verificaron las características de crecimiento, producción de anticuerpos y clonalidad de los clones. Cuando se deseó, los clones de las líneas celulares pudieron ser sub-clonados mediante clasificación de las células individuales en placas de 96 pocillos y luego expandidos para producir anticuerpo purificado.

Ejemplo 9: Determinación de la Cinética/Afinidad del anticuerpo quimérico recombinante para el antígeno TcF de Chagas

Se determinaron la cinética/afinidad utilizando un biosensor de captura de cabra anti-Fc de IgG humana de alta densidad en BIAcore 2000. Las células de flujo se equilibraron primero con un tampón de migración compuesto de HBS-EP enriquecida con 6 g/L de carboximetil-dextrano (en lo sucesivo denominado "Tampón de migración") (Fluka) y 6 g/L de BSA durante 5 minutos a una velocidad de flujo de 10 ul/minuto. A continuación, el anticuerpo monoclonal anti-Chagas quimérico recombinante, a saber, 9-638-132 (epítopo Pep2 en TcF y FP6), 10-745-140 (FP10) y 12-392-150 (FP3), cada uno diluido en Tampón de migración, se inyectó sobre células de flujo individuales y fue capturado por el biosensor con una célula de flujo dejada en blanco como celda de flujo de referencia. La velocidad de flujo de tampón se incrementó a 100 µl/minuto y las células de flujo se lavaron durante 10 minutos antes de una inyección de 150 µL del antígeno a diversas concentraciones de 0 a 100 nM en Tampón de migración seguido de Tampón de migración solo durante 60 a 360 segundos. A continuación, el biosensor de captura de anti-laG humana se regeneró con tres invecciones de 33 µL de H₃PO₄ 100 mM y se repitieron los pasos anteriores hasta que todas las concentraciones de cada antígeno de Chagas se sometieron a ensayo por duplicado. Se verificaron la cinética de unión, la asociación (ka) y la disociación (kd), para cada inyección de antígeno por medio de sensogramas y se determinó la cinética/afinidad por medio del soporte lógico Scrubber 2.0 (BioLogic Software Pty Ltd, Australia). Las interacciones entre los anticuerpos monoclonales anti-Chagas recombinantes quiméricos y el epítopo Pep2 dentro del antígeno TcF de Chagas se muestran a continuación en la Tabla 14.

Tabla 14

Ac Chagas Quimérico $k_a (M^{-1}s^{-1}) k_d (s^{-1}) K_D (M)$ 9-638-132 $4,0 \times 10^6 1,7 \times 10^{-2} 4,1 \times 10^{-9}$ 10-745-140 No se observó unión.

Ejemplo 10: Determinación de la cinética/afinidad del anticuerpo contra Chagas quimérico recombinante para los antígenos FP3 y FP10 de Chagas

Se determinó la cinética/afinidad utilizando un biosensor de captura anti-His $_4$ de alta densidad en un BIAcore 2000. Las células de flujo se equilibraron primero con un Tampón de migración (como se ha definido anteriormente en el Ejemplo 9), compuesto de tampón HBS-EP enriquecido con BSA al 1% y Tween 20 al 1% durante 5 minutos a una velocidad de flujo de 50 μ L/minuto. A continuación, los antígenos de Chagas (cada antígeno contiene una etiqueta His $_6$), a saber, FP10 y FP3, se diluyeron cada uno en Tampón de migración, se inyectaron sobre células de flujo individuales y fueron capturados por el biosensor con una célula de flujo dejada en blanco como celda de flujo de referencia. La velocidad de flujo de tampón se incrementó a 100 μ L/minuto y las células de flujo se lavaron durante 5 minutos antes de una inyección de 150 μ L de cada uno de los anticuerpos monoclonales anti-Chagas recombinantes quiméricos, a saber, 9-638-132 (epítopo Pep2 en TcF y FP6), 10-745-140 (FP310), y 12-392-150 (FP3), a varias concentraciones entre 0 y 300 nM en Tampón de migración seguido de Tampón de migración solo durante 60 a 360 segundos. El biosensor de captura anti-His $_4$ se regeneró a continuación con dos inyecciones de 35 μ L de Tampón de elución Gentle Ab/Ag (Pierce) enriquecido con H $_3$ PO $_4$ 2,5 mM y dos inyecciones de 25 μ L de H $_3$ PO $_4$ 5 mM y se repitieron las etapas anteriores hasta que todas las concentraciones de cada anticuerpo anti-Chagas quimérico se

sometieron a ensayo por duplicado. Se verificaron la cinética de unión, la asociación (k_a) y la disociación (k_d) para cada inyección de anticuerpo por medio sensogramas y se determinó la cinética/afinidad por medio de un soporte lógico Scrubber 2.0 (BioLogic Software Pty Ltd, Australia). Las interacciones entre los anticuerpos monoclonales anti-Chagas recombinantes quiméricos con el antígeno FP10 de Chagas se muestran a continuación en la Tabla 15. Las interacciones entre los anticuerpos monoclonales anti-Chagas recombinantes quiméricos y el antígeno FP3 de Chagas se muestran a continuación en la Tabla 16.

Tabla 15

	Tubla 10							
Ac Chagas Quimérico	$k_a (M^{-1}s^{-1}) k_d (s^{-1}) K_D (M)$							
9-638-132	No se obs	ervó unión.						
10-745-140	1,2 x 10 ⁵	3,6 x 10 ⁻⁴	2,9 x 10 ⁻⁹					
12-392-150	No se observó unión.							

Tabla 16

Ac Chagas Quimérico	Ka (M ⁻¹ s ⁻¹)	k _d (s ⁻¹)	K _D (M)						
9-638-132	No so obse	onyó unión							
10-745-140	No se observó unión.								
12-392-150	2,7 x 10 ⁶	3,8 x 10 ⁻⁴	1,4 x 10 ⁻¹⁰						

Ejemplo 11: Determinación de la Cinética/afinidad de anticuerpo contra Chagas murino para antígenos de Chagas

Se determinó la cinética/afinidad utilizando un biosensor de captura de conejo anti-IgG de ratón de alta densidad, en un BIAcore 2000. Las células de flujo se equilibraron primero con un Tampón de migración compuesto de tampón HBS-EP enriquecido con BSA al 1%, carboximetil-dextrano al 1% ("Tampón de migración") (Fluka), y Tween 20 al 0,1% a 5 μ L/minuto durante 5 minutos. A continuación, cada anticuerpo anti-Chagas murino (es decir, los anticuerpos monoclonales (AcMo) 8-367-171 (FRA), 9-638-132 (epítopo Pep2 en TcF y FP6), 10-745-140 (FP10) y 12-392-150 (FP3) diluido en Tampón de migración, se inyectó en células de flujo individuales y fue capturado por el biosensor. La velocidad de flujo de tampón se incrementó a 60 μ l/min y las células de flujo se lavaron durante 5 minutos antes de una inyección de 150 μ L de antígeno de Chagas a diversas concentraciones de 0 a 200 nM en Tampón de migración seguido de Tampón de migración solo durante 60 a 360 segundos. A continuación, la velocidad de flujo se cambió a 10 μ L/minuto y luego el biosensor de captura anti-IgG de ratón se regeneró con una inyección de 30 μ L de Glicina 10 mM pH 1,7 y se repitieron las etapas anteriores hasta que todas las concentraciones de cada antígeno de Chagas fueron sometidas a ensayo por duplicado. Se verificaron la cinética de unión, la asociación (μ 3) y la disociación (μ 4) para cada inyección de antígeno por medio de sensogramas y se determinó la cinética/afinidad por medio del soporte lógico Scrubber 2.0 (BioLogic Software Pty Ltd, Australia).

Para los antígenos de Chagas FRA, FP6, TcF, y FP3, se utilizó la celda de flujo que contenía AcMo anti-Chagas 10-745-140 como celda de flujo de referencia. La celda de flujo que contenía AcMo anti-Chagas 9-638-132 se utilizó como celda de flujo de referencia para el antígeno FP10 de Chagas. La interacción entre los anticuerpos monoclonales anti-Chagas con el propio antígeno FRA de Chagas se muestra a continuación en la Tabla 17. La interacción entre los anticuerpos monoclonales anti-Chagas FRA y el epítopo PEP2 de Chagas del antígeno FP6 de Chagas se muestra a continuación en la Tabla 18. La interacción entre los anticuerpos monoclonales anti-Chagas con el epítopo de PEP2 de Chagas del antígeno TcF de Chagas se muestra a continuación en la Tabla 19. La interacción entre los anticuerpos monoclonales anti-Chagas con el antígeno FP10 de Chagas se muestra a continuación en la Tabla 20. La interacción entre los anticuerpos monoclonales anti-Chagas con el antígeno FP3 de Chagas se muestra a continuación en la Tabla 21.

40

5

10

15

20

25

30

	Tabla 17						
Ac Chagas Murino	$k_a (M^{-1} s^{-1})$	k _d (s ⁻¹)	K _D (M)				
8-367-171	3,6 x 10 ⁶	1,3 x 10 ⁻¹	3,7 x 10 ⁻⁸				
9-638-132							
10-745-140	No se observó unión						
12-392-150							

Tabla 18

Ac Chagas Murino	k _a (M ⁻¹ s ⁻¹)	k _d (s ⁻¹)	K _D (M)
8-367-171	1,5 x 10 ⁶	7,9 x 10 ⁻³	5,2 x 10 ⁻⁹
9-638-132	Se observó unión,	pero no se pudo aju	ıstar al modelo 1:1
10-745-140	No se observó unió	Sn.	
12-392-150	INO SE ODSELVO UNIC	ות	

Tabla 19

Ac Chagas Murino	k _a (M ⁻¹ s ⁻¹)	k _d (s ⁻¹)	K _D (M)					
8-367-171	No se obse	ervó unión						
9-638-132	2,1 x 10 ⁶	1,2 x 10 ⁻²	5,7 x 10 ⁻⁹					
10-745-140	No so obo	on tá unián						
12-392-150	No se observó unión							

Tabla 20

Ac Chagas Murino	k _a (M ⁻¹ s ⁻¹)	K _D (M)						
8-367-171	No se observó unión							
9-638-132	No se observo union							
10-745-140	1,1 x 10 ⁵ 2,2 x 10 ⁻⁴ 1,9 x 10 ⁻⁴							
12-392-150	No se observó unión							

Tabla 21

	$k_a (M^{-1}s^{-1}) k_d (s^{-1}) K_D (M)$
Ac de Chagas Mullio	Ra (IVI S) Rd (S) RD (IVI)
8-367-171	
9-638-132	No se observó unión
10-745-140	
12-392-150	$5,6 \times 10^5$ 5×10^{-5} 8×10^{-11}

LISTA DE SECUENCIAS

```
<110> LABORATORIOS ABBOTT
     Brophy, SUSAN E.
 5
     Hawksworth, DAVID
     SHAH, DINESH O.
     Siegel, ROBERT W.
     Tieman, BRYAN c.
     TU, Bailin
10
     TYNER, JOAN D.
     ZIEMANN, ROBERT N.
     <120> ANTICUERPOS ANTI-T. CRUZI Y MÉTODOS DE USO
     <130> 8506WOO1
     <140>
15
     <141>
     <150> 61/017,071
     <151> 2007-12-27
     <150>
     <151> 2008-12-23
20
     <160> 28
     <170> PatentIn Ver.3.3
     <210> 1
     <211> 1518
     <212> ADN
     <213> Secuencia Artificial
25
     <223> Descripción de Secuencia Artificial: polinucleótido sintético
     <400> 1
      atggcccagc tccaacaggc agaaaataat atcactaatt ccaaaaaaga aatgacaaag 60
      ctacqagaaa aagtgaaaaa ggccgagaaa gaaaaattgg acgccattaa ccgggcaacc 120
      aagctggaag aggaacgaaa ccaagcgtac aaagcagcac acaaggcaga ggaggaaaag 180
      gctaaaacat ttcaacgcct tataacattt gagtcggaaa atattaactt aaagaaaagg 240
      ccaaatgacg cagtttcaaa tcgggataag aaaaaaaatt ctgaaaccgc aaaaactgac 300
      gaagtagaga aacagagggc ggctgaggct gccaaggccg tggagacgga gaagcagagg 360
      gcagctgagg ccacgaaggt tgccgaagcg gagaagcgga aggcagctga ggccgccaag 420
      gccgtggaga cggagaagca gagggcagct gaagccacga aggttgccga agcggagaag 480
      cagaaggcag ctgaggccgc caaggccgtg gagacggaga agcagagggc agctgaagcc 540
      acgaaggttg ccgaagcgga gaagcagagg gcagctgaag ccatgaaggt tgccgaagcg 600
      qaqaaqcaqa aqqcaqctqa qqccqccaaq qccqtgqaqa cggaqaaqca gagggcagct 660
      gaagccacga aggttgccga agcggagaag cagaaggcag ctgaggccgc caaggccgtg 720
      gagacggaga agcagagggc agctgaagcc acgaaggttg ccgaagcgga gaagcagaag 780
      gcagctgagg ccgccaaggc cgtggagacg gagaagcaga gggcagctga agccacgaag 840 gttgccgaag cggagaagga tatcgatcc atgggtgctt gtgggtcgaa ggactcgacg 900
      agcgacaagg ggttggcgag cgataaggac ggcaagaacg ccaaggaccg caaggaagcg 960
      tgggagcgca ttcgccaggc gattcctcgt gagaagaccg ccgaggcaaa acagcgccgc 1020
      atcgagctct tcaagaagtt cgacaagaac gagaccggga agctgtgcta cgatgaggtg 1080
      cacagogget geetegaget getgaagttg gaegagttea egeegegagt gegegacate 1140
      acgaagcgtg cattcgacaa ggcgagggcc ctgggcagca agctggagaa caagggctcc 1200
      gaggactttg ttgaatttct ggagttccgt ctgatgctgt gctacatcta cgacttcttc 1260
      gagctgacgg tgatgttcga cgagattgac gcctccggca acatgctggt tgacgaggag 1320
30
      gagttcaagc gcgccgtgcc caggcttgag gcgtggggcg ccaaggtcga ggatcccgcg 1380
      gcgctgttca aggagctcga taagaacggc actgggtccg tgacgttcga cgagtttgct 1440
      gcgtgggctt ctgcagtcaa actggacgcc gacggcgacc cggacaacgt gccggagagc 1500
      ccgagaccga tgggaatc
     <210> 2
     <211> 506
35
     <212> PRT
     <213> Secuencia Artificial
     <223> Descripción de Secuencia Artificial: polipéptido sintético
     <400> 2
```

Met 1	Ala	Gln	Leu	Gln 5	Gln	Ala	Glu	Asn	Asn 10	Ile	Thr	Asn	Ser	Lys 15	Lys
Glu	Met	Thr	Lys 20	Leu	Arg	Glu	Lys	Val 25	Lys	Lys	Ala	Glu	Lys 30	Glu	Lys
Leu	Asp	Ala 35	Ile	Asn	Arg	Ala	Thr 40	Lys	Leu	Glu	Glu	Glu 45	Arg	Asn	Gln
Ala	Tyr 50	Lys	Ala	Ala	His	Lys 55	Ala	Glu	Glu	Glu	Lys 60	Ala	Lys	Thr	Phe
Gln 65	Arg	Leu	Ile	Thr	Phe 70	Glu	Ser	Glu	Asn	Ile 75	Asn	Leu	Lys	Lys	Arg 80
Pro	Asn	Asp	Ala	Val 85	Ser	Asn	Arg	Asp	Lys 90	Lys	Lys	Asn	Ser	Glu 95	Thr
Ala	Lys	Thr	Asp 100	Glu	Val	Glu	Lys	Gln 105	Arg	Ala	Ala	Glu	Ala 110	Ala	Lys
Ala	Val	Glu 115	Thr	Glu	Lys	Gln	Arg 120	Ala	Ala	Glu	Ala	Thr 125	Lys	Val	Ala
Glu	Ala 130	Glu	Lys	Arg	Lys	Ala 135	Ala	Glu	Ala	Ala	Lys 140	Ala	Val	Glu	Thr
Glu 145	Lys	Gln	Arg	Ala	Ala 150	Glu	Ala	Thr	Lys	Val 155	Ala	Glu	Ala	Glu	Lys 160
Gln	Lys	Ala	Ala	Glu 165	Ala	Ala	Lys	Ala	Val 170	Glu	Thr	Glu	Lys	Gln 175	Arg
Ala	Ala	Glu	Ala 180	Thr	Lys	Val	Ala	Glu 185	Ala	Glu	Lys	Gln	Arg 190	Ala	Ala
Glu	Ala	Met 195	Lys	Val	Ala	Glu	Ala 200	Glu	Lys	Gln	Lys	Ala 205	Ala	Glu	Ala
Ala	Lys 210	Ala	Val	Glu	Thr	Glu 215	Lys	Gln	Arg	Ala	Ala 220	Glu	Ala	Thr	Lys
Val 225	Ala	Glu	Ala	Glu	Lys 230	Gln	Lys	Ala	Ala	Glu 235	Ala	Ala	Lys	Ala	Val 240
Glu	Thr	Glu	Lys	Gln 245	Arg	Ala	Ala	Glu	Ala 250	Thr	Lys	Val	Ala	Glu 255	Ala

Glu Lys	Gln	Lys 260	Ala	Ala	Glu	Ala	Ala 265	Lys	Ala	Val	Glu	Thr 270	Glu	Lys	
Gln Arg	Ala 275	Ala	Glu	Ala	Thr	Lys 280	Val	Ala	Glu	Ala	Glu 285	Lys	Asp	Ile	
Asp Pro		Gly	Ala	Cys	Gly 295	Ser	Lys	Asp	Ser	Thr 300	Ser	Asp	Lys	Gly	
Leu Ala 305	Ser	Asp	Lys	Asp 310	Gly	Lys	Asn	Ala	Lys 315	Asp	Arg	Lys	Glu	Ala 320	
Trp Glu	Arg	Ile	Arg 325	Gln	Ala	Ile	Pro	Arg 330	Glu	Lys	Thr	Ala	Glu 335	Ala	
Lys Gln	Arg	Arg 340	Ile	Glu	Leu	Phe	Lys 345	Lys	Phe	Asp	Lys	As n 350	Glu	Thr	
Gly Lys	Leu 355	Cys	Tyr	Asp	Glu	Val 360	His	Ser	Gly	Cys	Leu 365	Glu	Val	Leu	
Lys Leu 370	-	Glu	Phe	Thr	Pro 375	Arg	Val	Arg	Asp	Ile 380	Thr	Lys	Arg	Ala	
Phe Asp 385	Lys	Ala	Arg	Ala 390	Leu	Gly	Ser	Lys	Leu 395	Glu	Asn	Lys	Gly	Ser 400	
Glu Asp	Phe	Val	Glu 405	Phe	Leu	Glu	Phe	Arg 410	Leu	Met	Leu	Cys	Tyr 415	Ile	
Tyr Asp	Phe	Phe 420	Glu	Leu	Thr	Val	Met 425	Phe	Asp	Glu	Ile	Asp 430	Ala	Ser	
Gly Asn	Met 435	Leu	Val	Asp	Glu	Glu 440	Glu	Phe	Lys	Arg	Ala 445	Val	Pro	Arg	
Leu Glu 450		Trp	Gly	Ala	Lys 455	Val	Glu	Asp	Pro	Ala 460	Ala	Leu	Phe	Lys	
Glu Leu 465	Asp	Lys	Asn	Gly 470	Thr	Gly	Ser	Val	Thr 475	Phe	Asp	Glu	Phe	Ala 480	
Ala Trp	Ala	Ser	Ala 485	Val	Lys	Leu	Asp	Ala 490	Asp	Gly	Asp	Pro	Asp 495	Asn	
Val Pro	Glu	Ser 500	Pro	Arg	Pro	Met	Gly 505	Ile							
<210> 3 <211> 66 <212> AD <213> Se <220> <223> De <400> 3	cuenc			uenci	ia Arti	ficial:	polin	ucleó	itido s	intétio	co				
ggtgaca: caggcc	aac (catca	ccat	t to	gaca	iggco	gca	ıgcag	gtg	acaa	acca.	tc a	.ccat		6 6
<210> 4 <211> 22 <212> PRT <213> Secuencia Artificial <220> <223> Descripción de Secuencia Artificial: péptido sintético <400> 4															

```
10
      Ser Pro Phe Gly Gln Ala
                   20
     <210>5
     <211> 1557
     <212> ADN
     <213> Secuencia Artificial
     <223> Descripción de Secuencia Artificial: polinucleótido sintético
     <400> 5
10
      gatccaacgt atcgttttgc aaaccacgcg ttcacgctgg tggcgtcggt gacgattcac 60
     gaggttccga gcgtcgcgag tcctttgctg ggtgcgagcc tggactcttc tggtggcaaa 120
      aaactcctgg ggctctcgta cgacgagaag caccagtggc agccaatata cggatcaacg 180
      ccggtgacgc cgaccggatc gtgggagatg ggtaagaggt accacgtggt tcttacgatg 240
     qcqaataaaa ttqqctccqt qtacattqat qqaqaacctc tqqaqqqttc aqqqcaqacc 300
      gttgtgccag acgagaggac gcctgacatc tcccacttct acgttggcgg gtatggaagg 360
      agtgatatgc caaccataag ccacgtgacg gtgaataatg ttcttcttta caaccgtcag 420
      ctgaatgccg aggagatcag gaccttgttc ttgagccagg acctgattgg cacggaagca 480
      cacatgggca gcagcagcgg cagcagtgcc cacggtacgc cctcgattcc cgttgacagc 540
      agtgcccacg gtacaccctc gactcccgtt gacagcagtg cccacggtac gccctcgact 600
      cccgttgaca gcagtgccca cggtacaccc tcgactcccg ttgacagcag tgcccacggt 660
      acaccetega etecegttga cagcagtgee caeggtaage cetegaetee egetgacage 720
     agtgcccaca gtacgccctc gactcccgct gacagcagtg cccacagtac gccctcaatt 780 cccgctgaca gcagtgccca cagtacgccc tcagctcccg ctgacaacgg cgccaatggt 840
      acggttttga ttttgtcgac tcatgacgcg tacaggcccg ttgatccctc ggcgtacaag 900
      cgcgccttgc cgcaggaaga gcaagaggat gtggggccgc gccacgttga tcccgaccac 960
      ttccgctcga cctcgacgac tcatgacgcg tacaggcccg ttgatccctc ggcgtacaag 1020
      cgcgccttgc cgcaggaaga gcaagaggat gtggggccgc gccacgttga tcccgaccac 1080
      ttccgctcga cgactcatga cgcgtacagg cccgttgatc cctcggcgta caagcgcgcc 1140
      ttgccgcagg aagagcaaga ggatgtgggg ccgcgccacg ttgatcccga ccacttccgc 1200
      tegacetega egacteatga egegtacagg ecegttgate ceteggegta caagegegee 1260
      ttgccgcagg aagagcaaga ggatgtgggg ccgcgccacg ttgatcccga ccacttccgc 1320
      tegacetega egacteatga egegtacagg ecegttgate ecteggegta eaagegegee 1380
      ttgccgcagg aagagcaaga ggatgtgggg ccgcgccacg ttgatcccga ccacttccgc 1440
      tegacgaete atgacgegta caggecegtt gatecetegg egtacaageg egeettgeeg 1500
      caggaagage aagaggatgt ggggccgcgc cacgttgatc ccgaccactt ccgctcg
     <210>6
     <211> 519
15
     <212> PRT
     <213> Secuencia Artificial
     <220>
     <223> Descripción de Secuencia Artificial: polipéptido sintético
```

<400>6

Gly Asp Lys Pro Ser Pro Phe Gly Gln Ala Ala Ala Gly Asp Lys Pro

Asp 1	Pro	Thr	Tyr	Arg 5	Phe	Ala	Asn	His	Ala 10	Phe	Thr	Leu	Val	Ala 15	Ser
Val	Thr	Ile	His 20	Glu	Val	Pro	Ser	Val 25	Ala	Ser	Pro	Leu	Leu 30	Gly	Ala
Ser	Leu	Asp 35	Ser	Ser	Gly	Gly	Lys 40	Lys	Leu	Leu	Gly	Leu 45	Ser	Tyr	Asp
	50			_		55		_	Gly		60				
Thr 65	Gly	Ser	Trp	Glu	Met 70	Gly	Lys	Arg	Tyr	His 75	Val	Val	Leu	Thr	Met 80
Ala	Asn	Lys	Ile	Gly 85	Ser	Val	Tyr	Ile	Asp 90	Gly	Glu	Pro	Leu	Glu 95	Gly
Ser	Gly	Gln	Thr 100	Val	Val	Pro	Asp	Glu 105	Arg	Thr	Pro	Asp	Ile 110	Ser	His
Phe	Tyr	Val 115	Gly	Gly	Tyr	Gly	Arg 120	Ser	Asp	Met	Pro	Thr 125	Ile	Ser	His
	130					135		_	Asn		140				
Glu 145	Ile	Arg	Thr	Leu	Phe 150	Leu	Ser	Gln	Asp	Leu 155	Ile	Gly	Thr	Glu	Ala 160
His	Met	Gly	Ser	Ser 165	Ser	Gly	Ser	Ser	Ala 170	His	Gly	Thr	Pro	Ser 175	Ile
Pro	Val	Asp	Ser 180	Ser	Ala	His	Gly	Thr 185	Pro	Ser	Thr	Pro	Val 190	Asp	Ser
		195	_				200		Val	_		205			_
Thr	Pro 210	Ser	Thr	Pro	Val	Asp 215	Ser	Ser	Ala	His	Gly 220	Thr	Pro	Ser	Thr
225		_			230		_	_	Pro	235				_	240
				245					Ala 250					255	
			260			_		265	Ala				270		
Pro	Ala	Asp 275	Asn	Gly	Ala	Asn	Gly 280	Thr	Val	Leu	Ile	Leu 285	Ser	Thr	His
_	290	_				295			Ala	-	300				
Gln 305	Glu	Glu	Gln	Glu	Asp 310	Val	Gly	Pro	Arg	His 315	Val	Asp	Pro	Asp	His 320

Phe	Arg	Ser	Thr	Ser 325	Thr	Thr	His	Asp	Ala 330	Tyr	Arg	Pro	Val	Asp 335	Pro	
Ser	Ala	Tyr	Lys 340	Arg	Ala	Leu	Pro	Gln 345	Glu	Glu	Gln	Glu	Asp 350	Val	Gly	
Pro	Arg	His 355	Val	Asp	Pro	Asp	His 360	Phe	Arg	Ser	Thr	Thr 365	His	Asp	Ala	
Tyr	Arg 370	Pro	Val	Asp	Pro	Ser 375	Ala	Tyr	Lys	Arg	Ala 380	Leu	Pro	Gln	Glu	
Glu 385	Gln	Glu	Asp	Val	Gly 390	Pro	Arg	His	Val	Asp 395	Pro	Asp	His	Phe	Arg 400	
Ser	Thr	Ser	Thr	Thr 405	His	Asp	Ala	Tyr	Arg 410	Pro	Val	Asp	Pro	Ser 415	Ala	
Tyr	Lys	Arg	Ala 420	Leu	Pro	Gln	Glu	Glu 425	Gln	Glu	Asp	Val	Gly 430	Pro	Arg	
His	Val	Asp 435	Pro	Asp	His	Phe	Arg 440	Ser	Thr	Ser	Thr	Thr 445	His	Asp	Ala	
Tyr	Arg 450	Pro	Val	Asp	Pro	Ser 455	Ala	Tyr	Lys	Arg	Ala 460	Leu	Pro	Gln	Glu	
Glu 465	Gln	Glu	Asp	Val	Gly 470	Pro	Arg	His	Val	Asp 475	Pro	Asp	His	Phe	Arg 480	
Ser	Thr	Thr	His	Asp 485	Ala	Tyr	Arg	Pro	Val 490	Asp	Pro	Ser	Ala	Tyr 495	Lys	
Arg	Ala	Leu	Pro 500	Gln	Glu	Glu	Gln	Glu 505	Asp	Val	Gly	Pro	Arg 510	His	Val	
Asp	Pro	Asp 515	His	Phe	Arg	Ser										
<212 <213 <220	> 213 > AD > Sed > > Des	N cuenc		ificial e Sec		ia Arti	ificial:	polin	ucleó	tido s	intétio	co				
gati gaaq	gato	acc d	cttga gacco	aggaç aggcç	ga gt gt to	cato	raato racto	g ccc	gcgt agcc	cat	cago	ragct	gg c	gcgc	gaagga gagaa stgacg	120
<211 <212 <213 <220 <223	<210> 8 <211> 68 <212> PRT <213> Secuencia Artificial <220> <223> Descripción de Secuencia Artificial: polipéptido sintético <400> 8															

```
Met Glu Gln Glu Arg Arg Gln Leu Leu Glu Lys Asp Pro Arg Arg Asn
      Ala Lys Glu Ile Ala Ala Leu Glu Glu Ser Met Asn Ala Arg Ala Gln
      Glu Leu Ala Arg Glu Lys Lys Leu Ala Asp Arg Ala Phe Leu Asp Gln
                                     40
      Lys Pro Glu Arg Val Pro Leu Ala Asp Val Pro Leu Asp Asp Asp Ser
      Asp Phe Val Ala
       65
     <210>9
     <211> 336
 5
     <212> ADN
     <213> Secuencia Artificial
     <220>
     <223> Descripción de Secuencia Artificial: polinucleótido sintético
10
      tacattgtga tgtcacagtc tccatcctcc ctggctgtgt cagcaggaga gaaggtcact 60
      atgagetgea aatecagtea gagtetgete aacagtagaa eeegaaagaa eeacttgget 120
      tggtatcagc agaaaccagg gcagtctcct aaactgctga tctactgggc atccactagg 180
      gaatctgggg tccctgatcg cttcacaggc agtggatctg ggacagattt cgctctcacc 240
      atcagcagtg tgcaggctga agacctggca gtttatttct gcaagcaatc ttataatctg 300
      tacacattcg gtgctgggac caagctggag ctgaaa
     <210> 10
     <211> 112
15
     <212> PRT
     <213> Secuencia Artificial
     <223> Descripción de Secuencia Artificial: polipéptido sintético
20
      Tyr Ile Val Met Ser Gln Ser Pro Ser Ser Leu Ala Val Ser Ala Gly
      Glu Lys Val Thr Met Ser Cys Lys Ser Ser Gln Ser Leu Leu Asn Ser
      Arg Thr Arg Lys Asn His Leu Ala Trp Tyr Gln Gln Lys Pro Gly Gln
      Ser Pro Lys Leu Leu Ile Tyr Trp Ala Ser Thr Arg Glu Ser Gly Val
      Pro Asp Arg Phe Thr Gly Ser Gly Ser Gly Thr Asp Phe Ala Leu Thr
      Ile Ser Ser Val Gln Ala Glu Asp Leu Ala Val Tyr Phe Cys Lys Gln
      Ser Tyr Asn Leu Tyr Thr Phe Gly Ala Gly Thr Lys Leu Glu Leu Lys
                                        105
25
     <210> 11
     <211> 366
     <212> ADN
     <213> Secuencia Artificial
     <220>
     <223> Descripción de Secuencia Artificial: polinucleótido sintético
30
     <400> 11
```

```
gatgtgcagc tggtggagtc tgggggaggc ttagtgcagc ctggagggtc ccggaaactc 60
      tcctgtgcag cctctggatt cactttcagt gtctttggaa tgcactgggt tcgtcaggct 120
      ccagagaagg ggctggagtg ggtcgcatac attagtagtg gcagtactat catctattat 180
      gcagacacag tgaagggccg attcaccatc tccagagaca atcccaagaa caccctgttc 240
      ctgcaaatga ccggtctaag gtctgaggac acggccatgt attactgtgc aagaccgctc 300
      tactatgatt acgacgacta tgctatggac tactggggtc aaggaacctc agtcaccgtc 360
      tcctca
                                                                            366
     <210> 12
     <211> 122
 5
     <212> PRT
     <213> Secuencia Artificial
     <223> Descripción de Secuencia Artificial: polipéptido sintético
     <400> 12
10
      Asp Val Gln Leu Val Glu Ser Gly Gly Gly Leu Val Gln Pro Gly Gly
      Ser Arg Lys Leu Ser Cys Ala Ala Ser Gly Phe Thr Phe Ser Val Phe
      Gly Met His Trp Val Arg Gln Ala Pro Glu Lys Gly Leu Glu Trp Val
      Ala Tyr Ile Ser Ser Gly Ser Thr Ile Ile Tyr Tyr Ala Asp Thr Val
      Lys Gly Arg Phe Thr Ile Ser Arg Asp Asn Pro Lys Asn Thr Leu Phe
      Leu Gln Met Thr Gly Leu Arg Ser Glu Asp Thr Ala Met Tyr Tyr Cys
      Ala Arg Pro Leu Tyr Tyr Asp Tyr Asp Tyr Ala Met Asp Tyr Trp
      Gly Gln Gly Thr Ser Val Thr Val Ser Ser
     <210> 13
     <211> 336
15
     <212> ADN
     <213> Secuencia Artificial
     <220>
     <223> Descripción de Secuencia Artificial: polinucleótido sintético
20
      gacattgtga tgtcacagtc tccatcctcc ctggctgtgt cagcaggaga gcaggtcact 60
      atgagetgea aateeagtea gagtetgtte aacagtagaa eeegaaagaa etaettgget 120
      tggtaccagc agaaaccagg gcagtctcct aaactgctga tctactgggc atccactagg 180
      gaatctgggg tccctgatcg cttcacaggc agtggatctg ggacagattt cactctcacc 240
      atcagcagtg tgcaggctga agacctggca gtttattact gcaaacaatc ttataatctg 300
      ctcacgttcg gtgctgggac caagctggag ctgaaa
                                                                            336
     <210> 14
     <211> 112
25
     <212> PRT
     <213> Secuencia Artificial
     <220>
     <223> Descripción de Secuencia Artificial: polipéptido sintético
     <400> 14
```

```
Asp Ile Val Met Ser Gln Ser Pro Ser Ser Leu Ala Val Ser Ala Gly
      Glu Gln Val Thr Met Ser Cys Lys Ser Ser Gln Ser Leu Phe Asn Ser
      Arg Thr Arg Lys Asn Tyr Leu Ala Trp Tyr Gln Gln Lys Pro Gly Gln
      Ser Pro Lys Leu Leu Ile Tyr Trp Ala Ser Thr Arg Glu Ser Gly Val
      Pro Asp Arg Phe Thr Gly Ser Gly Ser Gly Thr Asp Phe Thr Leu Thr
      Ile Ser Ser Val Gln Ala Glu Asp Leu Ala Val Tyr Tyr Cys Lys Gln
      Ser Tyr Asn Leu Leu Thr Phe Gly Ala Gly Thr Lys Leu Glu Leu Lys
                                         105
      <210> 15
      <211> 360
      <212> ADN
      <213> Secuencia Artificial
      <220>
     <223> Descripción de Secuencia Artificial: polinucleótido sintético
      <400> 15
10
      caggtccaac tgcagcagcc tggggctgaa ctggtgaggc ctggggcttc agtgaaactg 60
      tectgeaagg ettetggeta cacetteace agetactgga tgaactgggt gaagttgagg 120
      cctggacaag gccttgaatg gattggtatg attgatcctt cagacagtga aacttactac 180 gatcaagtat tcaaggacaa ggccacattg actgttgaca aatcctccag cacagcctac 240
      atgeatetea geageetgae atetgaggae tetgeggtet attactgtge aagatggatt 300
      acgactgatt cctatactat ggactactgg ggtcaaggaa cctcagtcac cgtctcctca 360
      <210> 16
      <211> 120
      <212> PRT
15
      <213> Secuencia Artificial
      <223> Descripción de Secuencia Artificial: polipéptido sintético
      <400> 16
20
      Gln Val Gln Leu Gln Gln Pro Gly Ala Glu Leu Val Arg Pro Gly Ala
      Ser Val Lys Leu Ser Cys Lys Ala Ser Gly Tyr Thr Phe Thr Ser Tyr
      Trp Met Asn Trp Val Lys Leu Arg Pro Gly Gln Gly Leu Glu Trp Ile
      Gly Met Ile Asp Pro Ser Asp Ser Glu Thr Tyr Tyr Asp Gln Val Phe
      Lys Asp Lys Ala Thr Leu Thr Val Asp Lys Ser Ser Ser Thr Ala Tyr
      Met His Leu Ser Ser Leu Thr Ser Glu Asp Ser Ala Val Tyr Tyr Cys
      Ala Arg Trp Ile Thr Thr Asp Ser Tyr Thr Met Asp Tyr Trp Gly Gln
                                         105
                   100
      Gly Thr Ser Val Thr Val Ser Ser
               115
```

```
<210> 17
     <211> 335
     <212> ADN
     <213> Secuencia Artificial
     <220>
     <223> Descripción de Secuencia Artificial: polinucleótido sintético
     <400> 17
      gatgttgtga tgacccaaac tccactctcc ctgcctgtca gtcttggaga tcaagcctcc 60
      atctcttgca gatctagtca gagccttgta cacagtaatg gaaaccctat ttacattggt 120
      acctgcagaa gccaggccag tctccaaagc tcctgatcta caaagtttcc aaccgatttt 180
      ctggggtccc agacaggttc agtggcagtg gatcagggac agatttcaca ctcaagatca 240
      gcagagtgga ggctgaggat ctgggagttt atttctgctc tcaaagtaca catgttcctc 300
      cgacgttcgg tggaggcacc aagctggaaa tcaaa
10
     <210> 18
     <211> 112
     <212> PRT
     <213> Secuencia Artificial
15
     <223> Descripción de Secuencia Artificial: polipéptido sintético
     <400> 18
      Asp Val Val Met Thr Gln Thr Pro Leu Ser Leu Pro Val Ser Leu Gly
      Asp Gln Ala Ser Ile Ser Cys Arg Ser Ser Gln Ser Leu Val His Ser
      Asn Gly Asn Thr Tyr Leu His Trp Tyr Leu Gln Lys Pro Gly Gln Ser
      Pro Lys Leu Leu Ile Tyr Lys Val Ser Asn Arg Phe Ser Gly Val Pro
      Asp Arg Phe Ser Gly Ser Gly Ser Gly Thr Asp Phe Thr Leu Lys Ile
      Ser Arg Val Glu Ala Glu Asp Leu Gly Val Tyr Phe Cys Ser Gln Ser
      Thr His Val Pro Pro Thr Phe Gly Gly Gly Thr Lys Leu Glu Ile Lys
                                        105
20
     <210> 19
     <211> 359
     <212> ADN
     <213> Secuencia Artificial
25
     <223> Descripción de Secuencia Artificial: polinucleótido sintético
     <400> 19
      caggtccaac tgcagcagcc tggggctgag ctggtgaagc ctggggcttc agtgaagatg 60
      tectgeaagg ettetggeta eacetteace agetactggg tgeactgggt gaageagagg 120
      cctggacaag gccttgagtg gatcggagtg attgatcctt ctgatagtta tactagctac 180
      aatcaaaagt tcaagggcaa ggccacatta ctgtagacac atcctccagc acagcctaca 240
      tgcagctcag cagcctgaca tctgaggact ctgcggtcta ttactgtaca agacactatg 300
      atttcgacag ctggtacttc gatgtctggg gcgcagggac cacggtcacc gtctcctca 359
30
     <210> 20
     <211> 120
     <212> PRT
     <213> Secuencia Artificial
35
     <223> Descripción de Secuencia Artificial: polipéptido sintético
     <400> 20
```

```
Gln Val Gln Leu Gln Gln Pro Gly Ala Glu Leu Val Lys Pro Gly Ala
Ser Val Lys Met Ser Cys Lys Ala Ser Gly Tyr Thr Phe Thr Ser Tyr
Trp Val His Trp Val Lys Gln Arg Pro Gly Gln Gly Leu Glu Trp Ile
Gly Val Ile Asp Pro Ser Asp Ser Tyr Thr Ser Tyr Asn Gln Lys Phe
Lys Gly Lys Ala Thr Leu Thr Val Asp Thr Ser Ser Ser Thr Ala Tyr
                      70
Met Gln Leu Ser Ser Leu Thr Ser Glu Asp Ser Ala Val Tyr Tyr Cys
Thr Arg His Tyr Asp Phe Asp Ser Trp Tyr Phe Asp Val Trp Gly Ala
Gly Thr Thr Val Thr Val Ser Ser
        115
<210> 21
<211> 1415
<212> ADN
<213> Secuencia Artificial
<220>
<223> Descripción de Secuencia Artificial: polinucleótido sintético
<400> 21
tggagtttgg gctgagctgg ctttttcttg tcgcgatttt aaaaggtgtc cagtgcgatg 60
tgcagctggt ggagtctggg ggaggcttag tgcagcctgg agggtcccgg aaactctcct 120 gtgcagcctc tggattcact ttcagtgtct ttggaatgca ctgggttcgt caggctccag 180
agaaggggct ggagtgggtc gcatacatta gtagtggcag tactatcatc tattatgcag 240
acacagtgaa gggccgattc accatctcca gagacaatcc caagaacacc ctgttcctgc 300
aaatgaccgg tctaaggtct gaggacacgg ccatgtatta ctgtgcaaga ccgctctact 360
atgattacga cgactatgct atggactact ggggtcaagg aacctcagtc accgtctcct 420
cagcgtcgac caagggccca tcggtcttcc ccctggcacc ctcctccaag agcacctctg 480
ggggcacage ggccctgggc tgcctggtca aggactactt ccccgaaccg gtgacggtgt 540
cgtggaactc aggcgccctg accagcggcg tgcacacctt cccggctgtc ctacagtcct 600
caggacteta eteceteage agegtggtga cegtgeeete cageagettg ggcacecaga 660
cctacatctg caacgtgaat cacaagccca gcaacaccaa ggtggacaag aaagttgagc 720
ccaaatcttg tgacaaaact cacacatgcc caccgtgccc agcacctgaa ctcctggggg 780
gaccgtcagt cttcctcttc cccccaaaac ccaaggacac cctcatgatc tcccggaccc 840
ctgaggtcac atgcgtggtg gtggacgtga gccacgaaga ccctgaggtc aagttcaact 900
ggtacgtgga cggcgtggag gtgcataatg ccaagacaaa gccgcgggag gagcagtaca 960
acagcacgta ccgtgtggtc agcgtcctca ccgtcctgca ccaggactgg ctgaatggca 1020
aggagtacaa gtgcaaggtc tccaacaaag ccctcccagc ccccatcgag aaaaccatct 1080
ccaaagccaa agggcagccc cgagaaccac aggtgtacac cctgccccca tcccgcgagg 1140
agatgaccaa gaaccaggtc agcctgacct gcctggtcaa aggcttctat cccagcgaca 1200
tegeegtgga gtgggagage aatgggeage eggagaacaa etacaagace aegeeteeeg 1260
tgctggactc cgacggctcc ttcttcctct acagcaagct caccgtggac aagagcaggt 1320
ggcagcaggg gaacgtcttc tcatgctccg tgatgcatga ggctctgcac aaccactaca 1380
cgcagaagag cctctccctg tctccgggta aatga
<210> 22
<211> 1415
<212> ADN
<213> Secuencia Artificial
<223> Descripción de Secuencia Artificial: polinucleótido sintético
<400> 22
```

5

10

15

```
tcatttaccc ggagacaggg agaggctctt ctgcgtgtag tggttgtgca gagcctcatg 60
      catcacggag catgagaaga cgttcccctg ctgccacctg ctcttgtcca cggtgagctt 120
      gctgtagagg aagaaggagc cgtcggagtc cagcacggga ggcgtggtct tgtagttgtt 180
      ctccggctgc ccattgctct cccactccac ggcgatgtcg ctgggataga agcctttgac 240
      caggcaggtc aggctgacct ggttcttggt catctcctcg cgggatgggg gcagggtgta 300
     cacctgtggt tctcggggct gccctttggc tttggagatg gttttctcga tgggggctgg 360 gagggctttg ttggagacct tgcacttgta ctccttgcca ttcagccagt cctggtgcag 420
      gacggtgagg acgctgacca cacggtacgt gctgttgtac tgctcctccc gcggctttgt 480
      cttggcatta tgcacctcca cgccgtccac gtaccagttg aacttgacct cagggtcttc 540
      gtggctcacg tccaccacca cgcatgtgac ctcaggggtc cgggagatca tgagggtgtc 600
      cttgggtttt ggggggaaga ggaagactga cggtccccc aggagttcag gtgctgggca 660
      cggtgggcat gtgtgagttt tgtcacaaga tttgggctca actttcttgt ccaccttggt 720
     gttgctgggc ttgtgattca cgttgcagat gtaggtctgg gtgcccaagc tgctggaggg 780 cacggtcacc acgctgctga gggagtagag tcctgaggac tgtaggacag ccgggaaggt 840
      gtgcacgccg ctggtcaggg cgcctgagtt ccacgacacc gtcaccggtt cggggaagta 900
     gtccttgacc aggcagccca gggccgctgt gcccccagag gtgctcttgg aggagggtgc 960 cagggggaag accgatgggc ccttggtcga cgctgaggag acggtgactg aggttccttg 1020
      accccagtag tccatagcat agtcgtcgta atcatagtag agcggtcttg cacagtaata 1080
      catggccgtg tcctcagacc ttagaccggt catttgcagg aacagggtgt tcttgggatt 1140
      gtctctggag atggtgaatc ggcccttcac tgtgtctgca taatagatga tagtactgcc 1200
      actactaatg tatgcgaccc actccagccc cttctctgga gcctgacgaa cccagtgcat 1260
      tccaaagaca ctgaaagtga atccagaggc tgcacaggag agtttccggg accctccagg 1320
      ctgcactaag cctcccccag actccaccag ctgcacatcg cactggacac cttttaaaat 1380
      cgcgacaaga aaaagccagc tcagcccaaa ctcca
     <210> 23
     <211> 725
     <212> ADN
     <213> Secuencia Artificial
     <223> Descripción de Secuencia Artificial: polinucleótido sintético
     <400> 23
10
      tggacatgcg cgtgcccgcc cagctgctgg gcctgctgct gctgtggttc cccggctcgc 60
      gatgctacat tgtgatgtca cagtctccat cctccctggc tgtgtcagca ggagagaagg 120
      tcactatgag ctgcaaatcc agtcagagtc tgctcaacag tagaacccga aagaaccact 180
      tggcttggta tcagcagaaa ccagggcagt ctcctaaact gctgatctac tgggcatcca 240
      ctagggaatc tggggtccct gatcgcttca caggcagtgg atctgggaca gatttcgctc 300
      tcaccatcag cagtgtgcag gctgaagacc tggcagttta tttctgcaag caatcttata 360
      atotytacac attogytyct gygaccaayc tygayctyaa acytacygty gctycaccat 420
      ctgtcttcat cttcccgcca tctgatgagc agttgaaatc tggaactgcc tctgttgtgt 480
      gcctgctgaa taacttctat cccagagagg ccaaagtaca gtggaaggtg gataacgccc 540
      tccaatcggg taactcccag gagagtgtca cagagcagga cagcaaggac agcacctaca 600
      gcctcagcag caccctgacg ctgagcaaag cagactacga gaaacacaaa gtctacgcct 660
      gcgaagtcac ccatcagggc ctgagctcgc ccgtcacaaa gagcttcaac aggggagagt 720
      gttga
                                                                               725
     <210> 24
     <211> 725
     <212> ADN
15
     <213> Secuencia Artificial
     <223> Descripción de Secuencia Artificial: polinucleótido sintético
     <400> 24
20
      tcaacactct cccctgttga agctctttgt gacgggcgag ctcaggccct gatgggtgac 60
      ttcgcaggcg tagactttgt gtttctcgta gtctgctttg ctcagcgtca gggtgctgct 120
      gaggetgtag gtgetgteet tgetgteetg etetgtgaea eteteetggg agttaceega 180
      ttggaggggg ttatccacct tccactgtac tttggcctct ctgggataga agttattcag 240
      caggcacaca acagaggcag ttccagattt caactgctca tcagatggcg ggaagatgaa 300
      gacagatggt gcagccaccg tacgtttcag ctccagcttg gtcccagcac cgaatgtgta 360 cagattataa gattgcttgc agaaataaac tgccaggtct tcagcctgca cactgctgat 420
      ggtgagagcg aaatctgtcc cagatccact gcctgtgaag cgatcaggga ccccagattc 480
      cctagtggat gcccagtaga tcagcagttt aggagactgc cctggtttct gctgatacca 540
      agccaagtgg ttctttcggg ttctactgtt gagcagactc tgactggatt tgcagctcat 600
      agtgacette teteetgetg acacagecag ggaggatgga gactgtgaca teacaatgta 660
      gcatcgcgag ccggggaacc acagcagcag caggcccagc agctgggcgg gcacgcgcat 720
                                                                               725
      gtcca
```

```
<210> 25
     <211> 321
     <212> ADN
     <213> Secuencia Artificial
     <220>
     <223> polinucleótido sintético
     <400> 1
                                                                                  60
      gacatccaga tggaccagtc tccatccagt ctgtctgcat cccttggaga cacaattacc
      atcacttgcc atgccagtca gaacattaat gtttggttaa gctggtacca gcagaaacca
                                                                                 120
      ggaaatattc ctaaactatt gatctataag gcttccaact tgcacacagg cgtcccatca
                                                                                 180
      aggtttagtg gcagtggatc tggaacaggt ttcacattaa ccatcagcag cctgcagcct
                                                                                 240
                                                                                 300
      gaagacattg ccacttacta ctgtcaacag ggtcaaagtt atcctctcac gttcggctcg
      gggcgaaagt tggaaataaa a
                                                                                 321
10
     <210> 26
     <211> 107
     <212> PRT
     <213> Secuencia Artificial
15
     <220>
     <223> polipéptido sintético
     <400> 2
      Asp Ile Gln Met Asp Gln Ser Pro Ser Ser Leu Ser Ala Ser Leu Gly
      Asp Thr Ile Thr Ile Thr Cys His Ala Ser Gln Asn Ile Asn Val Trp
      Leu Ser Trp Tyr Gln Gln Lys Pro Gly Asn Ile Pro Lys Leu Leu Ile
                                    40
      Tyr Lys Ala Ser Asn Leu His Thr Gly Val Pro Ser Arg Phe Ser Gly
      Ser Gly Ser Gly Thr Gly Phe Thr Leu Thr Ile Ser Ser Leu Gln Pro
      Glu Asp Ile Ala Thr Tyr Cys Gln Gln Gly Gln Ser Tyr Pro Leu
20
      Thr Phe Gly Ser Gly Arg Lys Leu Glu Ile Lys
                  100
     <210> 27
     <211> 354
25
     <212> ADN
     <213> Secuencia Artificial
     <220>
     <223> polinucleótido artificial
     <400> 3
30
      gaggttcagc tgcagcagtc tggggcagag cttgtgaagc caggggcctc agtcaagttg
                                                                                  60
      tcctgcacag cttctggctt caacattaaa gacacctata tgcactgggt gaagcagagg
                                                                                 120
      cctgaacagg gcctggagtg gattggaagg attgatcctg cgaatggtaa tactaaatat
                                                                                 180
      gacccgaagt tccagggcaa ggccactata acaacagaca catcctccaa cacagcctac
                                                                                 240
      ctgcagctca gcagcctgac atctgaggac actgccgtct attactgtgc tacctcctac
                                                                                 300
      tatggtaact acgttgctta ctggggccac gggactctgg tcactgtctc tgca
                                                                                 354
     <210> 28
     <211> 118
35
     <212> PRT
     <213> Secuencia Artificial
     <220>
     <223> polipéptido artificial
     <400> 4
```

```
Glu Val Gln Leu Gln Gln Ser Gly Ala Glu Leu Val Lys Pro Gly Ala
Ser Val Lys Leu Ser Cys Thr Ala Ser Gly Phe Asn Ile Lys Asp Thr
Tyr Met His Trp Val Lys Gln Arg Pro Glu Gln Gly Leu Glu Trp Ile
Gly Arg Ile Asp Pro Ala Asn Gly Asn Thr Lys Tyr Asp Pro Lys Phe
Gln Gly Lys Ala Thr Ile Thr Thr Asp Thr Ser Ser Asn Thr Ala Tyr
Leu Gln Leu Ser Ser Leu Thr Ser Glu Asp Thr Ala Val Tyr Tyr Cys
Ala Thr Ser Tyr Tyr Gly Asn Tyr Val Ala Tyr Trp Gly His Gly Thr
            100
                                 105
Leu Val Thr Val Ser Ala
        115
<110> ABBOTT LABORATORIOS Brophy, SUSAN E. Hawksworth, DAVID SHAH, DINESH O. Siegel, ROBERT W.
Tieman, BRYAN c.TU, Bailin TYNER, JOAN D. ZIEMANN, ROBERT N.
<120> ANTI-T. CRUZI ANTICUERPOS Y MÉTODOS DE USO
<130> 8506WOO1
<140>
<141>
<150> 61/017,071<151> 2007-12-27
<150>
<151> 2008-12-23
<160> 28
<170> PatentIn Ver.3.3
<210> 1
<211> 1518
<212> ADN
<213> Secuencia Artificial
<220>
<223> Descripción de Secuencia Artificial: polinucleótido sintético
atggcccagc tccaacaggc agaaaataat atcactaatt ccaaaaaaga aatgacaaag 60
ctacgagaaa aagtgaaaaa ggccgagaaa gaaaaattgg acgccattaa ccgggcaacc 120
aagctggaag aggaacgaaa ccaagcgtac aaagcagcac acaaggcaga ggaggaaaag 180
gctaaaacat ttcaacgcct tataacattt gagtcggaaa atattaactt aaagaaaagg 240
ccaaatgacg cagtttcaaa tcgggataag aaaaaaaatt ctgaaaccgc aaaaactgac 300
gaagtagaga aacagagggc ggctgaggct gccaaggccg tggagacgga gaagcagagg 360
gcagctgagg ccacgaaggt tgccgaagcg gagaagcgga aggcagctga ggccgccaag 420
gccgtggaga cggagaagca gagggcagct gaagccacga aggttgccga agcggagaag 480
cagaaggcag ctgaggccgc caaggccgtg gagacggaga agcagagggc agctgaagcc 540
acgaaggttg ccgaagcgga gaagcagagg gcagctgaag ccatgaaggt tgccgaagcg 600
gagaagcaga aggcagctga ggccgccaag gccgtggaga cggagaagca gagggcagct 660
gaagccacga aggttgccga agcggagaag cagaaggcag ctgaggccgc caaggccgtg 720
gagacggaga agcagagggc agctgaagcc acgaaggttg ccgaagcgga gaagcagaag 780
gcagctgagg ccgccaaggc cgtggagacg gagaagcaga gggcagctga agccacgaag 840
gttgccgaag cggagaagga tatcgatccc atgggtgctt gtgggtcgaa ggactcgacg 900
agcgacaagg ggttggcgag cgataaggac ggcaagaacg ccaaggaccg caaggaagcg 960
tgggagcgca ttcgccaggc gattcctcgt gagaagaccg ccgaggcaaa acagcgccgc 1020
atcgagctct tcaagaagtt cgacaagaac gagaccggga agctgtgcta cgatgaggtg 1080
cacagoggct gcctcgaggt gctgaagttg gacgagttca cgccgcgagt gcgcgacatc 1140
acgaagcgtg cattcgacaa ggcgagggcc ctgggcagca agctggagaa caagggctcc 1200
gaggactttg ttgaatttct ggagttccgt ctgatgctgt gctacatcta cgacttcttc 1260
```

10

15

20

gagctgacgg tgatgttcga cgagattgac gcctccggca acatgctggt tgacgaggag 1320

gcgt gcgt	ctgtt	ca a	aggaç etge	gctco igtca	ga ta	agaa	acggo	act	gggt	ccg	tgad	gtto	ga	cgagt	ttgct agagc
<212 <213 <220	> 506 > PR > Se6 > De	T cuend				cia Ar	tificial	: poli	péptic	do sin	tético)			
Met 1	Ala	Gln	Leu	Gln 5	Gln	Ala	Glu	Asn	Asn 10	Ile	Thr	Asn	Ser	Lys 15	Lys
Glu	Met	Thr	Lys 20	Leu	Arg	Glu	Lys	Val 25	Lys	Lys	Ala	Glu	Lys 30	Glu	Lys
Leu	Asp	Ala 35	Ile	Asn	Arg	Ala	Thr 40	Lys	Leu	Glu	Glu	Glu 45	Arg	Asn	Gln
Ala	Tyr 50	Lys	Ala	Ala	His	Lys 55	Ala	Glu	Glu	Glu	Lys 60	Ala	Lys	Thr	Phe
Gln 65	Arg	Leu	Ile	Thr	Phe 70	Glu	Ser	Glu	Asn	Ile 75	Asn	Leu	Lys	Lys	Arg 80
Pro	Asn	Asp	Ala	Val 85	Ser	Asn	Arg	Asp	Lys 90	Lys	Lys	Asn	Ser	Glu 95	Thr
Ala	Lys	Thr	Asp 100	Glu	Val	Glu	Lys	Gln 105	Arg	Ala	Ala	Glu	Ala 110	Ala	Lys
Ala	Val	Glu 115	Thr	Glu	Lys	Gln	Arg 120	Ala	Ala	Glu	Ala	Thr 125	Lys	Val	Ala
Glu	Ala 130	Glu	Lys	Arg	Lys	Ala 135	Ala	Glu	Ala	Ala	Lys 140	Ala	Val	Glu	Thr
Glu 145	Lys	Gln	Arg	Ala	Ala 150	Glu	Ala	Thr	Lys	Val 155	Ala	Glu	Ala	Glu	Lys 160
Gln	Lys	Ala	Ala	Glu 165	Ala	Ala	Lys	Ala	Val 170	Glu	Thr	Glu	Lys	Gln 175	Arg
Ala	Ala	Glu	Ala 180	Thr	Lys	Val	Ala	Glu 185	Ala	Glu	Lys	Gln	Arg 190	Ala	Ala
Glu	Ala	Met 195	Lys	Val	Ala	Glu	A la 200	Glu	Lys	Gln	Lys	Ala 205	Ala	Glu	Ala
Ala	Lys 210	Ala	Val	Glu	Thr	Glu 215	Lys	Gln	Arg	Ala	Ala 220	Glu	Ala	Thr	Lys
Val 225	Ala	Glu	Ala	Glu	Lys 230	Gln	Lys	Ala	Ala	Glu 235	Ala	Ala	Lys	Ala	Val 240
Glu	Thr	Glu	Lys	Gln 245	Arg	Ala	Ala	Glu	Ala 250		Lys	Val	Ala	Glu 255	Ala

	Glu	Lys	Gln	Lys 260	Ala	Ala	Glu	Ala	Ala 265	Lys	Ala	Val	Glu	Thr 270	Glu	Lys	
	Gln	Arg	Ala 275	Ala	Glu	Ala	Thr	Lys 280	Val	Ala	Glu	Ala	Glu 285	Lys	Asp	Ile	
	Asp	Pro 290	Met	Gly	Ala	Cys	Gly 295	Ser	Lys	Asp	Ser	Thr 300	Ser	Asp	Lys	Gly	
	Leu 305	Ala	Ser	Asp	Lys	Asp 310	Gly	Lys	Asn	Ala	Lys 315	Asp	Arg	Lys	Glu	Ala 320	
	Trp	Glu	Arg	Ile	Arg 325	Gln	Ala	Ile	Pro	Arg 330	Glu	Lys	Thr	Ala	Glu 335	Ala	
	Lys	Gln	Arg	Arg 340	Ile	Glu	Leu	Phe	Lys 345	Lys	Phe	Asp	Lys	Asn 350	Glu	Thr	
	Gly	Lys	Leu 355	Cys	Tyr	Asp	Glu	Val 360	His	Ser	Gly	Cys	Leu 365	Glu	Val	Leu	
	Lys	Leu 370	Asp	Glu	Phe	Thr	Pro 375	Arg	Val	Arg	Asp	Ile 380	Thr	Lys	Arg	Ala	
	Phe 385	Asp	Lys	Ala	Arg	Ala 390	Leu	Gly	Ser	Lys	Leu 395	Glu	Asn	Lys	Gly	Ser 400	
	Glu	Asp	Phe	Val	Glu 405	Phe	Leu	Glu	Phe	Arg 410	Leu	Met	Leu	Cys	Tyr 415	Ile	
	Tyr	Asp	Phe	Phe 420	Glu	Leu	Thr	Val	Met 425	Phe	Asp	Glu	Ile	Asp 430	Ala	Ser	
	Gly	Asn	Met 435	Leu	Val	Asp	Glu	Glu 440	Glu	Phe	Lys	Arg	Ala 445	Val	Pro	Arg	
	Leu	Glu 450	Ala	Trp	Gly	Ala	Lys 455	Val	Glu	Asp	Pro	Ala 460	Ala	Leu	Phe	Lys	
	Glu 465	Leu	Asp	Lys	Asn	Gly 470	Thr	Gly	Ser	Val	Thr 475	Phe	Asp	Glu	Phe	Ala 480	
	Ala	Trp	Ala	Ser	Ala 485	Val	Lys	Leu	Asp	Ala 490	Asp	Gly	Asp	Pro	Asp 495	Asn	
	Val	Pro	Glu	Ser 500	Pro	Arg	Pro	Met	Gly 505	Ile							
5	<210> 3 <211> 66 <212> ADN <213> Secuencia Artificial <220> <223> Descripción de Secuencia Artificial: polinucleótido sintético <400> 3																
)	ggtgacaaac catcaccatt tggacaggcc gcagcaggtg acaaaccatc accatttgga 60												60 66				
5																	

```
Ser Pro Phe Gly Gln Ala
                   20
     <210>5
     <211> 1557
5
     <212> ADN
     <213> Secuencia Artificial
     <220>
     <223> Descripción de Secuencia Artificial: polinucleótido sintético
     <400> 5
10
     gatccaacgt atcgttttgc aaaccacgcg ttcacgctgg tggcgtcggt gacgattcac 60
     gaggttccga gcgtcgcgag tcctttgctg ggtgcgagcc tggactcttc tggtggcaaa 120
     aaactcctgg ggctctcgta cgacgagaag caccagtggc agccaatata cggatcaacg 180
     ccggtgacgc cgaccggatc gtgggagatg ggtaagaggt accacgtggt tcttacgatg 240
     gcgaataaaa ttggctccgt gtacattgat ggagaacctc tggagggttc agggcagacc 300
     gttgtgccag acgagaggac gcctgacatc tcccacttct acgttggcgg gtatggaagg 360
     agtgatatgc caaccataag ccacgtgacg gtgaataatg ttcttctta caaccgtcag 420
     ctgaatgccg aggagatcag gaccttgttc ttgagccagg acctgattgg cacggaagca 480
     cacatgggca gcagcagcgg cagcagtgcc cacggtacgc cctcgattcc cgttgacagc 540
     agtgcccacg gtacaccctc gactcccgtt gacagcagtg cccacggtac gccctcgact 600
     cccgttgaca gcagtgccca cggtacaccc tcgactcccg ttgacagcag tgcccacggt 660
     acaccetega etecegttga cagcagtgee caeggtaage cetegaetee egetgaeage 720
     agtgcccaca gtacgccctc gactcccgct gacagcagtg cccacagtac gccctcaatt 780
     cccgctgaca gcagtgccca cagtacgccc tcagctcccg ctgacaacgg cgccaatggt 840
     acggttttga ttttgtcgac tcatgacgcg tacaggcccg ttgatccctc ggcgtacaag 900
     cgcgccttgc cgcaggaaga gcaagaggat gtggggccgc gccacgttga tcccgaccac 960
     ttccgctcga cctcgacgac tcatgacgcg tacaggcccg ttgatccctc ggcgtacaag 1020
     cgcgccttgc cgcaggaaga gcaagaggat gtggggccgc gccacgttga tcccgaccac 1080
     ttccgctcga cgactcatga cgcgtacagg cccgttgatc cctcggcgta caagcgcgcc 1140
     ttgccgcagg aagagcaaga ggatgtgggg ccgcgccacg ttgatcccga ccacttccgc 1200
     togacotoga ogactoatga ogogtacagg cocgttgato cotoggogta caagogogoc 1260
     ttgccgcagg aagagcaaga ggatgtgggg ccgcgccacg ttgatcccga ccacttccgc 1320
     tegacetega egacteatga egegtacagg ecegttgate eeteggegta eaagegegee 1380
     ttgccgcagg aagagcaaga ggatgtgggg ccgcgccacg ttgatcccga ccacttccgc 1440
     tegacgaete atgacgegta caggecegtt gatecetegg egtacaageg egeettgeeg 1500
     caggaagage aagaggatgt ggggccgcgc cacgttgatc ccgaccactt ccgctcg
     <210>6
     <211> 519
     <212> PRT
15
     <213> Secuencia Artificial
     <223> Descripción de Secuencia Artificial: polipéptido sintético
     <400> 6
```

Gly Asp Lys Pro Ser Pro Phe Gly Gln Ala Ala Ala Gly Asp Lys Pro

Asp 1	Pro	Thr	Tyr	Arg 5	Phe	Ala	Asn	His	Ala 10	Phe	Thr	Leu	Val	Ala 15	Ser
Val	Thr	Ile	His 20	Glu	Val	Pro	Ser	Val 25	Ala	Ser	Pro	Leu	Leu 30	Gly	Ala
Ser	Leu	Asp 35	Ser	Ser	Gly	Gly	Lys 40	Lys	Leu	Leu	Gly	Leu 45	Ser	Tyr	Asp
Glu	Lys 50	His	Gln	Trp	Gln	Pro 55	Ile	Tyr	Gly	Ser	Thr 60	Pro	Val	Thr	Pro
Thr 65	Gly	Ser	Trp	Glu	Met 70	Gly	Lys	Arg	Tyr	His 75	Val	Val	Leu	Thr	Met 80
Ala	Asn	Lys	Ile	Gly 85	Ser	Val	Tyr	Ile	Asp 90	Gly	Glu	Pro	Leu	Glu 95	Gly
Ser	Gly	Gln	Thr 100	Val	Val	Pro	Asp	Glu 105	Arg	Thr	Pro	Asp	Ile 110	Ser	His
Phe	Tyr	Val 115	Gly	Gly	Tyr	Gly	Arg 120	Ser	Asp	Met	Pro	Thr 125	Ile	Ser	His
Val	Thr 130	Val	Asn	Asn	Val	Leu 135	Leu	Tyr	Asn	Arg	Gln 140	Leu	Asn	Ala	Glu
Glu 145	Ile	Arg	Thr	Leu	Phe 150	Leu	Ser	Gln	Asp	Leu 155	Ile	Gly	Thr	Glu	Ala 160
His	Met	Gly	Ser	Ser 165	Ser	Gly	Ser	Ser	Ala 170	His	Gly	Thr	Pro	Ser 175	Ile
Pro	Val	Asp	Ser 180	Ser	Ala	His	Gly	Thr 185	Pro	Ser	Thr	Pro	V al 190	Asp	Ser
Ser	Ala	His 195	Gly	Thr	Pro	Ser	Thr 200	Pro	Val	Asp	Ser	Ser 205	Ala	His	Gly
Thr	Pro 210	Ser	Thr	Pro	Val	Asp 215	Ser	Ser	Ala	His	Gly 220	Thr	Pro	Ser	Thr
Pro 225	Val	Asp	Ser	Ser	Ala 230	His	Gly	Lys	Pro	Ser 235	Thr	Pro	Ala	Asp	Ser 240
Ser	Ala	His	Ser	Thr 245	Pro	Ser	Thr	Pro	Ala 250	Asp	Ser	Ser	Ala	His 255	Ser
Thr	Pro	Ser	Ile 260	Pro	Ala	Asp	Ser	Ser 265	Ala	His	Ser	Thr	Pro 270	Ser	Ala
Pro	Ala	Asp 275	Asn	Gly	Ala	Asn	Gly 280	Thr	Val	Leu	Ile	Leu 285	Ser	Thr	His
Asp	Ala 290	Tyr	Arg	Pro	Val	Asp 295	Pro	Ser	Ala	Tyr	Lys 300	Arg	Ala	Leu	Pro
Gln 305	Glu	Glu	Gln	Glu	Asp 310	Val	Gly	Pro	Arg	His 315	Val	Asp	Pro	Asp	His 320

	Phe	Arg	Ser	Thr	Ser 325	Thr	Thr	His	Asp	Ala 330	Tyr	Arg	Pro	Val	Asp 335	Pro	
	Ser	Ala	Tyr	Lys 340	Arg	Ala	Leu	Pro	Gln 345	Glu	Glu	Gln	Glu	Asp 350	Val	Gly	
	Pro	Arg	His 355	Val	Asp	Pro	Asp	His 360	Phe	Arg	Ser	Thr	Thr 365	His	Asp	Ala	
	Tyr	Arg 370	Pro	Val	Asp	Pro	Ser 375	Ala	Tyr	Lys	Arg	Ala 380	Leu	Pro	Gln	Glu	
	Glu 385	Gln	Glu	Asp	Val	Gly 390	Pro	Arg	His	Val	Asp 395	Pro	Asp	His	Phe	Arg 400	
	Ser	Thr	Ser	Thr	Thr 405	His	Asp	Ala	Tyr	Arg 410	Pro	Val	Asp	Pro	Ser 415	Ala	
	Tyr	Lys	Arg	Ala 420	Leu	Pro	Gln	Glu	Glu 425	Gln	Glu	Asp	Val	Gly 430	Pro	Arg	
	His	Val	Asp 435	Pro	Asp	His	Phe	Arg 440	Ser	Thr	Ser	Thr	Thr 445	His	Asp	Ala	
	Tyr	Arg 4 50	Pro	Val	Asp	Pro	Ser 455	Ala	Tyr	Lys	Arg	Ala 460	Leu	Pro	Gln	Glu	
	Glu 465	Gln	Glu	Asp	Val	Gly 470	Pro	Arg	His	Val	Asp 475	Pro	Asp	His	Phe	Arg 480	
	Ser	Thr	Thr	His	Asp 485	Ala	Tyr	Arg	Pro	Val 490	Asp	Pro	Ser	Ala	Tyr 495	Lys	
	Arg	Ala	Leu	Pro 500	Gln	Glu	Glu	Gln	Glu 505	Asp	Val	Gly	Pro	Arg 510	His	Val	
	Asp Pro Asp His Phe Arg Ser 515																
<210> 7 <211> 213 <212> ADN <213> Secuencia Artificial <220> <223> Descripción de Secuencia Artificial: polinucleótido sintético <400> 7																	
atggagtcag gagcgtcaga tcagctgctc gagaaggacc cgcgtcagga acgcgaagga 60 gattgctgcg cttgaggaga gtcatgaatg cccgcgtcat caggagctgg cgcgcgagaa 12 gaagcttgcc gaccgcgcgt tccttgactc agaagccgga gcgcgtgccg ctggctgacg 18 tgccgctcga cgacgatcag cgactttgtt gcg 21																	
	<210> 8 <211> 68 <212> PRT <213> Secuencia Artificial <220> <223> Descripción de Secuencia Artificial: polipéptido sintético <400> 8																

```
Met Glu Gln Glu Arg Arg Gln Leu Leu Glu Lys Asp Pro Arg Asn
      Ala Lys Glu Ile Ala Ala Leu Glu Glu Ser Met Asn Ala Arg Ala Gln
      Glu Leu Ala Arg Glu Lys Lys Leu Ala Asp Arg Ala Phe Leu Asp Gln
      Lys Pro Glu Arg Val Pro Leu Ala Asp Val Pro Leu Asp Asp Ser
      Asp Phe Val Ala
       65
     <210>9
     <211> 336
 5
     <212> ADN
     <213> Secuencia Artificial
     <220>
     <223> Descripción de Secuencia Artificial: polinucleótido sintético
10
      tacattgtga tgtcacagtc tccatcctcc ctggctgtgt cagcaggaga gaaggtcact 60
      atgagetgea aatecagtea gagtetgete aacagtagaa eeegaaagaa eeacttgget 120
      tggtatcagc agaaaccagg gcagtctcct aaactgctga tctactgggc atccactagg 180
      gaatctgggg tccctgatcg cttcacaggc agtggatctg ggacagattt cgctctcacc 240
      atcagcagtg tgcaggctga agacctggca gtttatttct gcaagcaatc ttataatctg 300
      tacacattcg gtgctgggac caagctggag ctgaaa
     <210> 10
     <211> 112
15
     <212> PRT
     <213> Secuencia Artificial
     <223> Descripción de Secuencia Artificial: polipéptido sintético
20
      Tyr Ile Val Met Ser Gln Ser Pro Ser Ser Leu Ala Val Ser Ala Gly
      Glu Lys Val Thr Met Ser Cys Lys Ser Ser Gln Ser Leu Leu Asn Ser
      Arg Thr Arg Lys Asn His Leu Ala Trp Tyr Gln Gln Lys Pro Gly Gln
      Ser Pro Lys Leu Leu Ile Tyr Trp Ala Ser Thr Arg Glu Ser Gly Val
      Pro Asp Arg Phe Thr Gly Ser Gly Ser Gly Thr Asp Phe Ala Leu Thr
      Ile Ser Ser Val Gln Ala Glu Asp Leu Ala Val Tyr Phe Cys Lys Gln
                                             90
      Ser Tyr Asn Leu Tyr Thr Phe Gly Ala Gly Thr Lys Leu Glu Leu Lys
25
     <210> 11
     <211> 366
     <212> ADN
     <213> Secuencia Artificial
     <220>
30
     <223> Descripción de Secuencia Artificial: polinucleótido sintético
     <400> 11
```

```
gatgtgcagc tggtggagtc tgggggaggc ttagtgcagc ctggagggtc ccggaaactc 60
      teetgtgeag cetetggatt caettteagt gtetttggaa tgeactgggt tegteagget 120
      ccagagaagg ggctggagtg ggtcgcatac attagtagtg gcagtactat catctattat 180
      gcagacacag tgaagggccg attcaccatc tccagagaca atcccaagaa caccctgttc 240
      ctgcaaatga ccggtctaag gtctgaggac acggccatgt attactgtgc aagaccgctc 300
      tactatgatt acgacgacta tgctatggac tactggggtc aaggaacctc agtcaccgtc 360
      tcctca
     <210> 12
     <211> 122
 5
     <212> PRT
     <213> Secuencia Artificial
     <223> Descripción de Secuencia Artificial: polipéptido sintético
     <400> 12
10
      Asp Val Gln Leu Val Glu Ser Gly Gly Gly Leu Val Gln Pro Gly Gly
      Ser Arg Lys Leu Ser Cys Ala Ala Ser Gly Phe Thr Phe Ser Val Phe
      Gly Met His Trp Val Arg Gln Ala Pro Glu Lys Gly Leu Glu Trp Val
      Ala Tyr Ile Ser Ser Gly Ser Thr Ile Ile Tyr Tyr Ala Asp Thr Val
      Lys Gly Arg Phe Thr Ile Ser Arg Asp Asn Pro Lys Asn Thr Leu Phe
      Leu Gln Met Thr Gly Leu Arg Ser Glu Asp Thr Ala Met Tyr Tyr Cys 85 90
      Ala Arg Pro Leu Tyr Tyr Asp Tyr Asp Tyr Ala Met Asp Tyr Trp
      Gly Gln Gly Thr Ser Val Thr Val Ser Ser
     <210> 13
     <211> 336
15
     <212> ADN
     <213> Secuencia Artificial
     <220>
     <223> Descripción de Secuencia Artificial: polinucleótido sintético
20
      gacattgtga tgtcacagtc tccatcctcc ctggctgtgt cagcaggaga gcaggtcact 60
      atgagetgea aateeagtea gagtetgtte aacagtagaa eeegaaagaa etaettgget 120
      tggtaccagc agaaaccagg gcagtctcct aaactgctga tctactgggc atccactagg 180
      gaatctgggg tecetgateg etteacagge agtggatetg ggacagattt cacteteace 240
      atcagcagtg tgcaggctga agacctggca gtttattact gcaaacaatc ttataatctg 300
      ctcacgttcg gtgctgggac caagctggag ctgaaa
                                                                            336
     <210> 14
     <211> 112
25
     <212> PRT
     <213> Secuencia Artificial
     <220>
     <223> Descripción de Secuencia Artificial: polipéptido sintético
     <400> 14
```

```
Asp Ile Val Met Ser Gln Ser Pro Ser Ser Leu Ala Val Ser Ala Gly
      Glu Gln Val Thr Met Ser Cys Lys Ser Ser Gln Ser Leu Phe Asn Ser
      Arg Thr Arg Lys Asn Tyr Leu Ala Trp Tyr Gln Gln Lys Pro Gly Gln
      Ser Pro Lys Leu Leu Ile Tyr Trp Ala Ser Thr Arg Glu Ser Gly Val
      Pro Asp Arg Phe Thr Gly Ser Gly Ser Gly Thr Asp Phe Thr Leu Thr
      Ile Ser Ser Val Gln Ala Glu Asp Leu Ala Val Tyr Tyr Cys Lys Gln
      Ser Tyr Asn Leu Leu Thr Phe Gly Ala Gly Thr Lys Leu Glu Leu Lys
     <210> 15
     <211> 360
     <212> ADN
     <213> Secuencia Artificial
     <220>
     <223> Descripción de Secuencia Artificial: polinucleótido sintético
     <400> 15
10
      caggtccaac tgcagcagcc tggggctgaa ctggtgaggc ctggggcttc agtgaaactg 60
      tcctgcaagg cttctggcta caccttcacc agctactgga tgaactgggt gaagttgagg 120
      cctggacaag gccttgaatg gattggtatg attgatcctt cagacagtga aacttactac 180
      gatcaagtat tcaaggacaa ggccacattg actgttgaca aatcctccag cacagcctac 240
      atgcatctca gcagcctgac atctgaggac tctgcggtct attactgtgc aagatggatt 300
      acgactgatt cctatactat ggactactgg ggtcaaggaa cctcagtcac cgtctcctca 360
      <210> 16
     <211> 120
     <212> PRT
15
     <213> Secuencia Artificial
     <223> Descripción de Secuencia Artificial: polipéptido sintético
     <400> 16
20
      Gln Val Gln Leu Gln Gln Pro Gly Ala Glu Leu Val Arg Pro Gly Ala
      Ser Val Lys Leu Ser Cys Lys Ala Ser Gly Tyr Thr Phe Thr Ser Tyr
      Trp Met Asn Trp Val Lys Leu Arg Pro Gly Gln Gly Leu Glu Trp Ile
      Gly Met Ile Asp Pro Ser Asp Ser Glu Thr Tyr Tyr Asp Gln Val Phe
      Lys Asp Lys Ala Thr Leu Thr Val Asp Lys Ser Ser Ser Thr Ala Tyr
      Met His Leu Ser Ser Leu Thr Ser Glu Asp Ser Ala Val Tyr Tyr Cys
      Ala Arg Trp Ile Thr Thr Asp Ser Tyr Thr Met Asp Tyr Trp Gly Gln
                                       105
      Gly Thr Ser Val Thr Val Ser Ser
              115
```

```
<210> 17
      <211> 335
      <212> ADN
     <213> Secuencia Artificial
     <220>
     <223> Descripción de Secuencia Artificial: polinucleótido sintético
      <400> 17
      gatgttgtga tgacccaaac tccactctcc ctgcctgtca gtcttggaga tcaagcctcc 60
      atctcttgca gatctagtca gagccttgta cacagtaatg gaaaccctat ttacattggt 120
      acctgcagaa gccaggccag tctccaaagc tcctgatcta caaagtttcc aaccgatttt 180
      ctggggtccc agacaggttc agtggcagtg gatcagggac agatttcaca ctcaagatca 240
      gcagagtgga ggctgaggat ctgggagttt atttctgctc tcaaagtaca catgttcctc 300
      cgacgttcgg tggaggcacc aagctggaaa tcaaa
10
      <210> 18
      <211> 112
      <212> PRT
      <213> Secuencia Artificial
15
      <223> Descripción de Secuencia Artificial: polipéptido sintético
      <400> 18
      Asp Val Val Met Thr Gln Thr Pro Leu Ser Leu Pro Val Ser Leu Gly
      Asp Gln Ala Ser Ile Ser Cys Arg Ser Ser Gln Ser Leu Val His Ser
      Asn Gly Asn Thr Tyr Leu His Trp Tyr Leu Gln Lys Pro Gly Gln Ser
      Pro Lys Leu Leu Ile Tyr Lys Val Ser Asn Arg Phe Ser Gly Val Pro
      Asp Arg Phe Ser Gly Ser Gly Ser Gly Thr Asp Phe Thr Leu Lys Ile
      Ser Arg Val Glu Ala Glu Asp Leu Gly Val Tyr Phe Cys Ser Gln Ser
      Thr His Val Pro Pro Thr Phe Gly Gly Gly Thr Lys Leu Glu Ile Lys
                                        105
20
      <210> 19
      <211> 359
      <212> ADN
     <213> Secuencia Artificial
25
     <220>
      <223> Descripción de Secuencia Artificial: polinucleótido sintético
      <400> 19
      caggtccaac tgcagcagcc tggggctgag ctggtgaagc ctggggcttc agtgaagatg 60
      tectgeaagg ettetggeta cacetteace agetactggg tgeactgggt gaagcagagg 120
      cctggacaag gccttgagtg gatcggagtg attgatcctt ctgatagtta tactagctac 180
      aatcaaaagt tcaagggcaa ggccacatta ctgtagacac atcctccagc acagcctaca 240
      tgcagctcag cagcctgaca tctgaggact ctgcggtcta ttactgtaca agacactatg 300
      atttcgacag ctggtacttc gatgtctggg gcgcagggac cacggtcacc gtctcctca 359
30
      <210> 20
      <211> 120
      <212> PRT
     <213> Secuencia Artificial
35
     <220>
      <223> Descripción de Secuencia Artificial: polipéptido sintético
      <400> 20
```

```
Gln Val Gln Leu Gln Gln Pro Gly Ala Glu Leu Val Lys Pro Gly Ala
      Ser Val Lys Met Ser Cys Lys Ala Ser Gly Tyr Thr Phe Thr Ser Tyr
      Trp Val His Trp Val Lys Gln Arg Pro Gly Gln Gly Leu Glu Trp Ile
      Gly Val Ile Asp Pro Ser Asp Ser Tyr Thr Ser Tyr Asn Gln Lys Phe
      Lys Gly Lys Ala Thr Leu Thr Val Asp Thr Ser Ser Ser Thr Ala Tyr
      Met Gln Leu Ser Ser Leu Thr Ser Glu Asp Ser Ala Val Tyr Tyr Cys
      Thr Arg His Tyr Asp Phe Asp Ser Trp Tyr Phe Asp Val Trp Gly Ala
                                       105
      Gly Thr Thr Val Thr Val Ser Ser
              115
 5
     <210> 21
     <211> 1415
     <212> ADN
     <213> Secuencia Artificial
10
     <223> Descripción de Secuencia Artificial: polinucleótido sintético
      tggagtttgg gctgagctgg ctttttcttg tcgcgatttt aaaaggtgtc cagtgcgatg 60
      tgcagctggt ggagtctggg ggaggcttag tgcagcctgg agggtcccgg aaactctcct 120
      gtgcagcctc tggattcact ttcagtgtct ttggaatgca ctgggttcgt caggctccag 180
      agaaggggct ggagtgggtc gcatacatta gtagtggcag tactatcatc tattatgcag 240
     acacagtgaa gggccgattc accatctcca gagacaatcc caagaacacc ctgttcctgc 300
      aaatgaccgg tctaaggtct gaggacacgg ccatgtatta ctgtgcaaga ccgctctact 360
      atgattacga cgactatgct atggactact ggggtcaagg aacctcagtc accgtctcct 420
      cagegtegae caagggeeca teggtettee ecetggeace etecteeaag ageacetetg 480
      ggggcacage ggccctgggc tgcctggtca aggactactt ccccgaaccg gtgacggtgt 540
      cgtggaactc aggcgcctg accagcggcg tgcacacctt cccggctgtc ctacagtcct 600
      caggacteta eteceteage agegtggtga cegtgeeete cageagettg ggeacecaga 660
     cctacatctg caacgtgaat cacaagccca gcaacaccaa ggtggacaag aaagttgagc 720
      ccaaatcttg tgacaaaact cacacatgcc caccgtgccc agcacctgaa ctcctggggg 780
      gaccgtcagt cttcctcttc cccccaaaac ccaaggacac cctcatgatc tcccggaccc 840
      ctgaggtcac atgcgtggtg gtggacgtga gccacgaaga ccctgaggtc aagttcaact 900
      ggtacgtgga cggcgtggag gtgcataatg ccaagacaaa gccgcgggag gagcagtaca 960
      acagcacgta ccgtgtggtc agcgtcctca ccgtcctgca ccaggactgg ctgaatggca 1020
      aggagtacaa gtgcaaggtc tccaacaaag ccctcccagc ccccatcgag aaaaccatct 1080
      ccaaagccaa agggcagccc cgagaaccac aggtgtacac cctgccccca tcccgcgagg 1140
      agatgaccaa gaaccaggtc agcctgacct gcctggtcaa aggcttctat cccagcgaca 1200
      tcgccgtgga gtgggagagc aatgggcagc cggagaacaa ctacaagacc acgcctcccg 1260
      tgctggactc cgacggctcc ttcttcctct acagcaagct caccgtggac aagagcaggt 1320
      ggcagcaggg gaacgtcttc tcatgctccg tgatgcatga ggctctgcac aaccactaca 1380
     cgcagaagag cctctccctg tctccgggta aatga
15
     <210> 22
     <211> 1415
     <212> ADN
     <213> Secuencia Artificial
20
     <223> Descripción de Secuencia Artificial: polinucleótido sintético
     <400> 22
```

```
tcatttaccc ggagacaggg agaggctctt ctgcgtgtag tggttgtgca gagcctcatg 60
     catcacggag catgagaaga cgttcccctg ctgccacctg ctcttgtcca cggtgagctt 120
     gctgtagagg aagaaggagc cgtcggagtc cagcacggga ggcgtggtct tgtagttgtt 180
     ctccggctgc ccattgctct cccactccac ggcgatgtcg ctgggataga agcctttgac 240
     caggcaggtc aggctgacct ggttcttggt catctcctcg cgggatgggg gcagggtgta 300
     cacctgtggt tctcggggct gccctttggc tttggagatg gttttctcga tgggggctgg 360
     gagggetttg ttggagacet tgcacttgta eteettgeca tteagecagt cetggtgeag 420
     gacggtgagg acgctgacca cacggtacgt gctgttgtac tgctcctccc gcggctttgt 480
     cttggcatta tgcacctcca cgccgtccac gtaccagttg aacttgacct cagggtcttc 540
     gtggctcacg tccaccacca cgcatgtgac ctcaggggtc cgggagatca tgagggtgtc 600
     cttgggtttt ggggggaaga ggaagactga cggtccccc aggagttcag gtgctgggca 660
     cggtgggcat gtgtgagttt tgtcacaaga tttgggctca actttcttgt ccaccttggt 720
     gttgctgggc ttgtgattca cgttgcagat gtaggtctgg gtgcccaagc tgctggaggg 780
     cacggtcacc acgctgctga gggagtagag tcctgaggac tgtaggacag ccgggaaggt 840
     gtgcacgccg ctggtcaggg cgcctgagtt ccacgacacc gtcaccggtt cggggaagta 900
     gtccttgacc aggcagcca gggccgctgt gcccccagag gtgctcttgg aggagggtgc 960
     cagggggaag accgatgggc ccttggtcga cgctgaggag acggtgactg aggttccttg 1020
     accccagtag tccatagcat agtcgtcgta atcatagtag agcggtcttg cacagtaata 1080
     catggccgtg tcctcagacc ttagaccggt catttgcagg aacagggtgt tcttgggatt 1140
     gtctctggag atggtgaatc ggcccttcac tgtgtctgca taatagatga tagtactgcc 1200
     actactaatg tatgcgaccc actccagccc cttctctgga gcctgacgaa cccagtgcat 1260
     tccaaagaca ctgaaagtga atccagaggc tgcacaggag agtttccggg accctccagg 1320
     ctgcactaag cctcccccag actccaccag ctgcacatcg cactggacac cttttaaaat 1380
     cgcgacaaga aaaagccagc tcagcccaaa ctcca
     <210> 23
     <211> 725
     <212> ADN
     <213> Secuencia Artificial
     <223> Descripción de Secuencia Artificial: polinucleótido sintético
     <400> 23
10
     tggacatgcg cgtgcccgcc cagctgctgg gcctgctgct gctgtggttc cccggctcgc 60
     gatgctacat tgtgatgtca cagtctccat cctccctggc tgtgtcagca ggagagaagg 120
     tcactatgag ctgcaaatcc agtcagagtc tgctcaacag tagaacccga aagaaccact 180
     tggcttggta tcagcagaaa ccagggcagt ctcctaaact gctgatctac tgggcatcca 240
     ctagggaatc tggggtccct gatcgcttca caggcagtgg atctgggaca gatttcgctc 300
     tcaccatcag cagtgtgcag gctgaagacc tggcagttta tttctgcaag caatcttata 360
     atctgtacac attcggtgct gggaccaagc tggagctgaa acgtacggtg gctgcaccat 420
     ctgtcttcat cttcccgcca tctgatgagc agttgaaatc tggaactgcc tctgttgtgt 480
     gcctgctgaa taacttctat cccagagagg ccaaagtaca gtggaaggtg gataacgccc 540
     tccaatcggg taactcccag gagagtgtca cagagcagga cagcaaggac agcacctaca 600
     gcctcagcag caccctgacg ctgagcaaag cagactacga gaaacacaaa gtctacgcct 660
     gcgaagtcac ccatcagggc ctgagctcgc ccgtcacaaa gagcttcaac aggggagagt 720
                                                                         725
     gttga
     <210> 24
     <211> 725
     <212> ADN
15
     <213> Secuencia Artificial
     <223> Descripción de Secuencia Artificial: polinucleótido sintético
     <400> 24
20
     tcaacactct cccctgttga agctctttgt gacgggcgag ctcaggccct gatgggtgac 60
     ttcgcaggcg tagactttgt gtttctcgta gtctgctttg ctcagcgtca gggtgctgct 120
     gaggetgtag gtgetgteet tgetgteetg etetgtgaca eteteetggg agttaceega 180
     ttggagggcg ttatccacct tccactgtac tttggcctct ctgggataga agttattcag 240
     caggcacaca acagaggcag ttccagattt caactgctca tcagatggcg ggaagatgaa 300
     gacagatggt gcagccaccg tacgtttcag ctccagcttg gtcccagcac cgaatgtgta 360
     cagattataa gattgcttgc agaaataaac tgccaggtct tcagcctgca cactgctgat 420
     ggtgagagcg aaatctgtcc cagatccact gcctgtgaag cgatcaggga ccccagattc 480
     cctagtggat gcccagtaga tcagcagttt aggagactgc cctggtttct gctgatacca 540
     agccaagtgg ttctttcggg ttctactgtt gagcagactc tgactggatt tgcagctcat 600
     agtgaccttc tctcctgctg acacagccag ggaggatgga gactgtgaca tcacaatgta 660
     gcatcgcgag ccggggaacc acagcagcag caggcccagc agctgggcgg gcacgcgcat 720
     gtcca
```

```
<210> 25
     <211> 321
     <212> ADN
     <213> Secuencia Artificial
     <220>
     <223> polinucleótido sintético
     <400> 1
                                                                                  60
      gacatccaga tggaccagtc tccatccagt ctgtctgcat cccttggaga cacaattacc
      atcacttgcc atgccagtca gaacattaat gtttggttaa gctggtacca gcagaaacca
                                                                                 120
      ggaaatattc ctaaactatt gatctataag gcttccaact tgcacacagg cgtcccatca
                                                                                 180
      aggtttagtg gcagtggatc tggaacaggt ttcacattaa ccatcagcag cctgcagcct
                                                                                 240
      gaagacattg ccacttacta ctgtcaacag ggtcaaagtt atcctctcac gttcggctcg
                                                                                 300
      gggcgaaagt tggaaataaa a
                                                                                 321
10
     <210> 26
     <211> 107
     <212> PRT
     <213> Secuencia Artificial
15
     <220>
     <223> polipéptido sintético
     <400> 2
      Asp Ile Gln Met Asp Gln Ser Pro Ser Ser Leu Ser Ala Ser Leu Gly
      Asp Thr Ile Thr Ile Thr Cys His Ala Ser Gln Asn Ile Asn Val Trp
      Leu Ser Trp Tyr Gln Gln Lys Pro Gly Asn Ile Pro Lys Leu Leu Ile
                                   40
      Tyr Lys Ala Ser Asn Leu His Thr Gly Val Pro Ser Arg Phe Ser Gly
      Ser Gly Ser Gly Thr Gly Phe Thr Leu Thr Ile Ser Ser Leu Gln Pro
      Glu Asp Ile Ala Thr Tyr Tyr Cys Gln Gln Gly Gln Ser Tyr Pro Leu
20
      Thr Phe Gly Ser Gly Arg Lys Leu Glu Ile Lys
     <210> 27
     <211> 354
25
     <212> ADN
     <213> Secuencia Artificial
     <220>
     <223> polinucleótido artificial
     <400> 3
30
      gaggttcagc tgcagcagtc tggggcagag cttgtgaagc caggggcctc agtcaagttg
                                                                                  60
      tcctgcacag cttctggctt caacattaaa gacacctata tgcactgggt gaagcagagg
                                                                                 120
      cctgaacagg gcctggagtg gattggaagg attgatcctg cgaatggtaa tactaaatat
                                                                                 180
                                                                                 240
      gacccgaagt tccagggcaa ggccactata acaacagaca catcctccaa cacagcctac
      ctgcagctca gcagcctgac atctgaggac actgccgtct attactgtgc tacctcctac
                                                                                 300
      tatggtaact acgttgctta ctggggccac gggactctgg tcactgtctc tgca
                                                                                 354
     <210> 28
     <211> 118
35
     <212> PRT
     <213> Secuencia Artificial
     <220>
     <223> polipéptido artificial
     <400> 4
```

- Glu Val Gln Leu Gln Gln Ser Gly Ala Glu Leu Val Lys Pro Gly Ala 1 5 5 10 10 15
- Ser Val Lys Leu Ser Cys Thr Ala Ser Gly Phe Asn Ile Lys Asp Thr 20 25 30
- Tyr Met His Trp Val Lys Gln Arg Pro Glu Gln Gly Leu Glu Trp Ile 35 40 45
- Gly Arg Ile Asp Pro Ala Asn Gly Asn Thr Lys Tyr Asp Pro Lys Phe 50 55 60
- Gln Gly Lys Ala Thr Ile Thr Thr Asp Thr Ser Ser Asn Thr Ala Tyr 65 70 75 80
- Leu Gln Leu Ser Ser Leu Thr Ser Glu Asp Thr Ala Val Tyr Tyr Cys 85 90 95
- Ala Thr Ser Tyr Tyr Gly Asn Tyr Val Ala Tyr Trp Gly His Gly Thr 100 105 110

Leu Val Thr Val Ser Ala 115

REIVINDICACIONES

1. Un reactivo de inmunodiagnóstico que comprende uno o más anticuerpos que se unen específicamente a un polipéptido de *T. cruzi*, en donde dicho uno o más anticuerpos son específicos para el polipéptido FP3 de *T. cruzi* del SEQ ID NO: 2, y en donde dichos uno o más anticuerpos se seleccionan del grupo que consiste en;

5

10

15

20

30

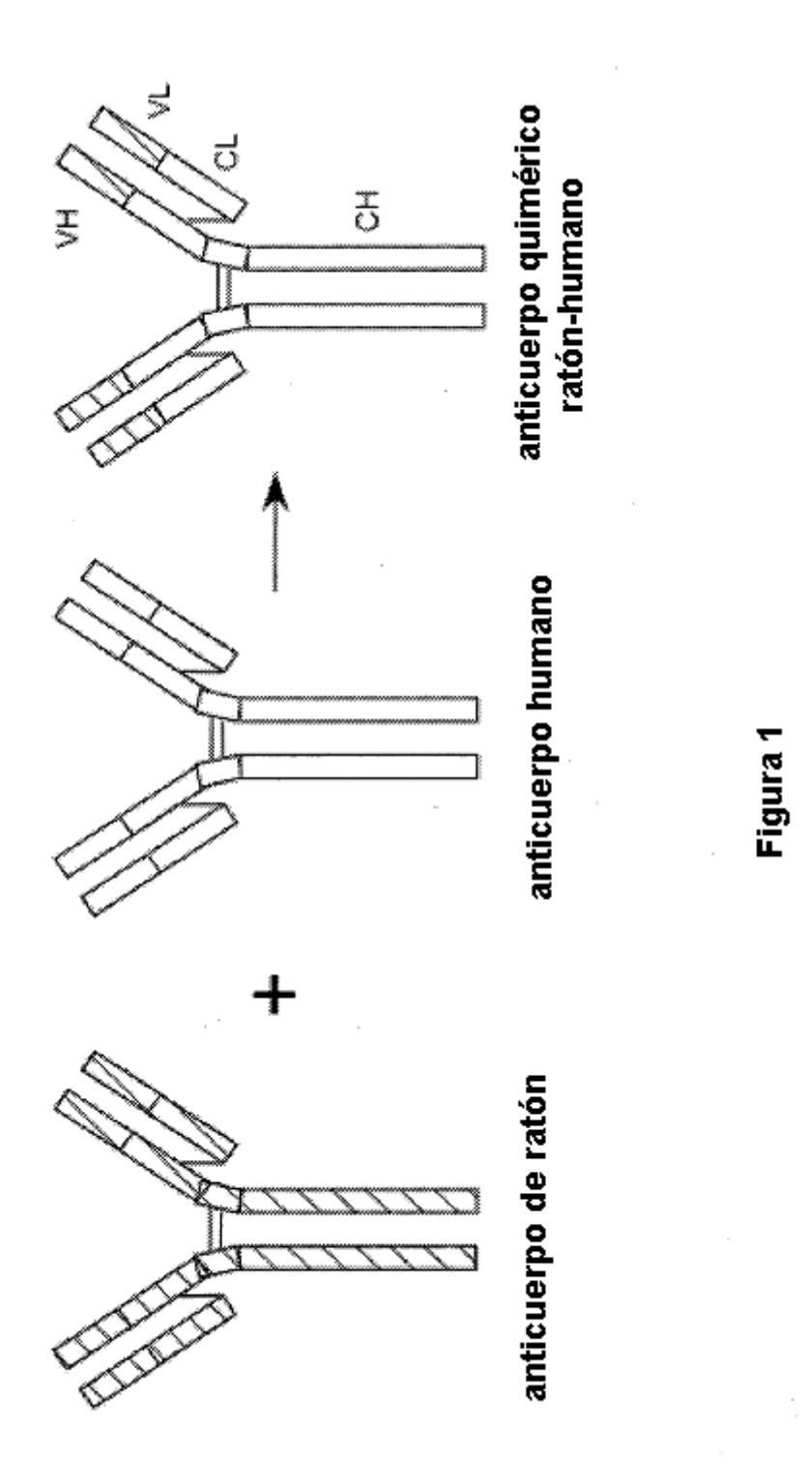
50

60

- (i) un anticuerpo quimérico que tiene una región V_H que comprende una secuencia de aminoácidos como la mostrada en el SEQ ID NO: 12 y que tiene una región V_L que comprende una secuencia de aminoácidos como la mostrada en el SEQ ID NO: 10;
- (ii) el anticuerpo quimérico expresado por la línea celular depositada en la Colección de Tejidos Tipo Americana con el Número de Acceso PTA-8136; y
- (iii) el anticuerpo expresado por la línea celular depositada en la Colección de Tejidos Tipo Americana con el Número de Acceso PTA-8139.
- 2. El reactivo de inmunodiagnóstico de acuerdo con la reivindicación 1, en donde dicho reactivo de inmunodiagnóstico comprende dos o más de dichos anticuerpos.
- 3. El reactivo de inmunodiagnóstico de acuerdo con cualquier reivindicación precedente, en donde dichos uno o más anticuerpos tienen al menos una constante de unión selecciona del grupo que consiste en: una constante de velocidad de asociación (k_a) entre 2,0 x 10⁵ M⁻¹s⁻¹ y 6,0 x 10⁶ M⁻¹s⁻¹; una constante de velocidad de disociación (k_d) entre 2,0 x 10⁻⁵s⁻¹ y 8,0 x 10⁻⁴s⁻¹; y una constante de disociación en equilibrio (k_d) entre 3,3 x 10⁻¹² M y 4,0 x 10⁻⁹ M.
- 4. El reactivo de inmunodiagnóstico de acuerdo con cualquier reivindicación precedente, en donde dicho reactivo innmunadiagnóstico es un reactivo seleccionado del grupo que consiste en un reactivo de detección, un reactivo de normalización, y un reactivo de control positivo.
- 25 5. Un anticuerpo que se une específicamente a un polipéptido FP3 de *T cruzi* del SEQ ID NO: 2, en donde dicho anticuerpo se selecciona del grupo que consiste en
 - (i) un anticuerpo quimérico que tiene una región V_H que comprende una secuencia de aminoácidos como la mostrada en el SEQ ID NO: 12 y que tiene una región V_L que comprende una secuencia de aminoácidos como la mostrada en el SEQ ID NO: 10;
 - (ii) el anticuerpo quimérico expresado por la línea celular depositada en la Colección de Tejidos Tipo Americana con el Número de Acceso PTA-8136; y
 - (iii) el anticuerpo expresado por la línea celular depositada en la Colección de Tejidos Tipo Americana con el Número de Acceso PTA-8139.
- 35 6. El anticuerpo de acuerdo con la reivindicación 5, en donde dicho anticuerpo tiene al menos una constante de unión seleccionada del grupo que consiste en: una constante de velocidad de asociación (k_a) entre 2,0 x 10⁵ M⁻¹s⁻¹ y 6,0 x 10⁶ M⁻¹s⁻¹; una constante de velocidad de disociación (k_d) entre 2,0 x 10⁻⁵s⁻¹ y 8,0 x 10⁻⁴s⁻¹; y una constante de disociación en equilibrio (K_D) entre 3,3 x 10⁻¹² M y 4,0 x 10⁻⁹ M.
- 40 7. Una línea celular que expresa un anticuerpo quimérico que se une específicamente a un polipéptido de *T. cruzi*, en donde línea celular es una línea celular depositada en la Colección de Tejidos Tipo Americana y que tiene el Número de Acceso PTA-8136.
- 8. Un método de normalizar un análisis de detección de *T. cruzi* que comprende utilizar el reactivo de inmunodiagnóstico de acuerdo con la reivindicación 1 como panel de sensibilidad.
 - 9. Un método para detectar un antígeno de *T. cruzi* que comprende las etapas de:
 - (a) poner en contacto una muestra de análisis sospechosa de contener un antígeno de *T. cruzi* con el reactivo de inmunodiagnóstico de acuerdo con la reivindicación 1 en condiciones que permitan la formación de complejos anticuerpo quimérico:antígeno; y
 - (b) detectar complejos de anticuerpo quimérico:antígeno cualesquiera formados como una indicación de la presencia de dicho antígeno de *T. cruzi*.
- 10. El método de la reivindicación 9, en donde el anticuerpo quimérico comprende una marca detectable, o en donde
 los complejos de anticuerpo:antígeno se ponen en contacto con un anticuerpo secundario o fragmento del mismo, en donde el anticuerpo secundario o fragmento del mismo comprende un marca detectable.
 - 11. Un método para detectar un anticuerpo de *T. cruzi* que comprende las etapas de:
 - (a) poner en contacto una muestra de análisis sospechosa de contener un anticuerpo de *T. cruzi* con un antígeno de *T. cruzi* específico para el anticuerpo de *T. cruzi* en condiciones que permiten la formación de complejos de antígeno:anticuerpo; y
 - (b) detectar complejos de antígeno:anticuerpo cualesquiera formados como una indicación de la presencia de dichos antígenos de *T. cruzi*,

en donde el reactivo de inmunodiagnóstico de acuerdo con la reivindicación 1 se utiliza en dicho método como control positivo o reactivo de normalización, y en donde el antígeno de *T. cruzi* es FP3.

5 12. Un kit de diagnóstico para la detección de *T. cruzi* que comprende el reactivo de inmunodiagnóstico de la reivindicación 1.



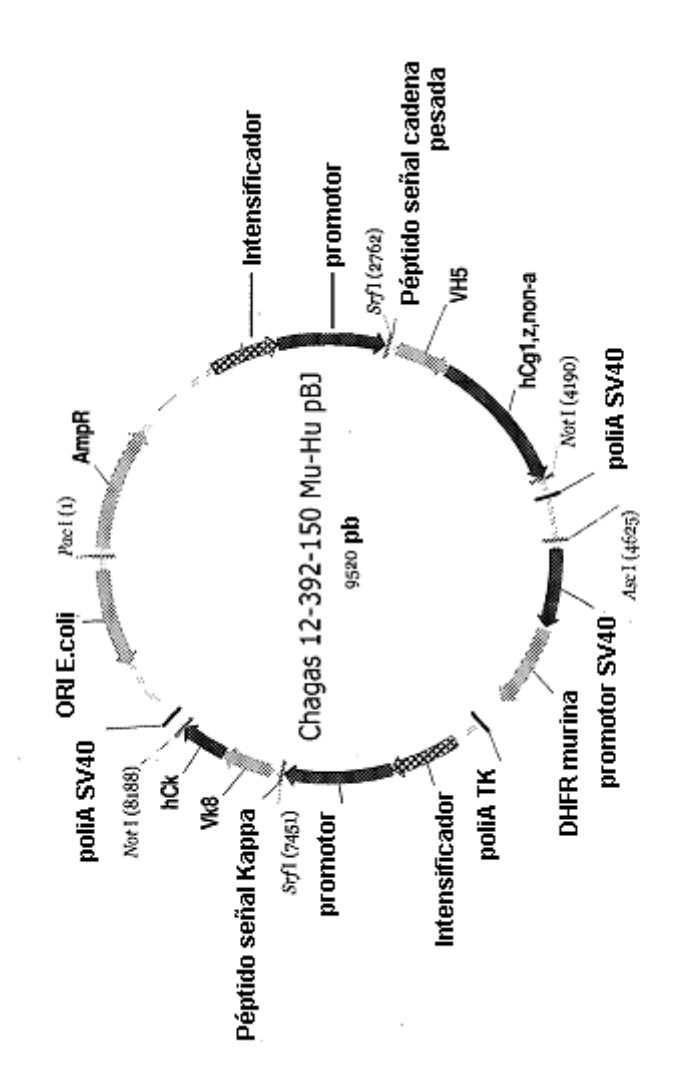


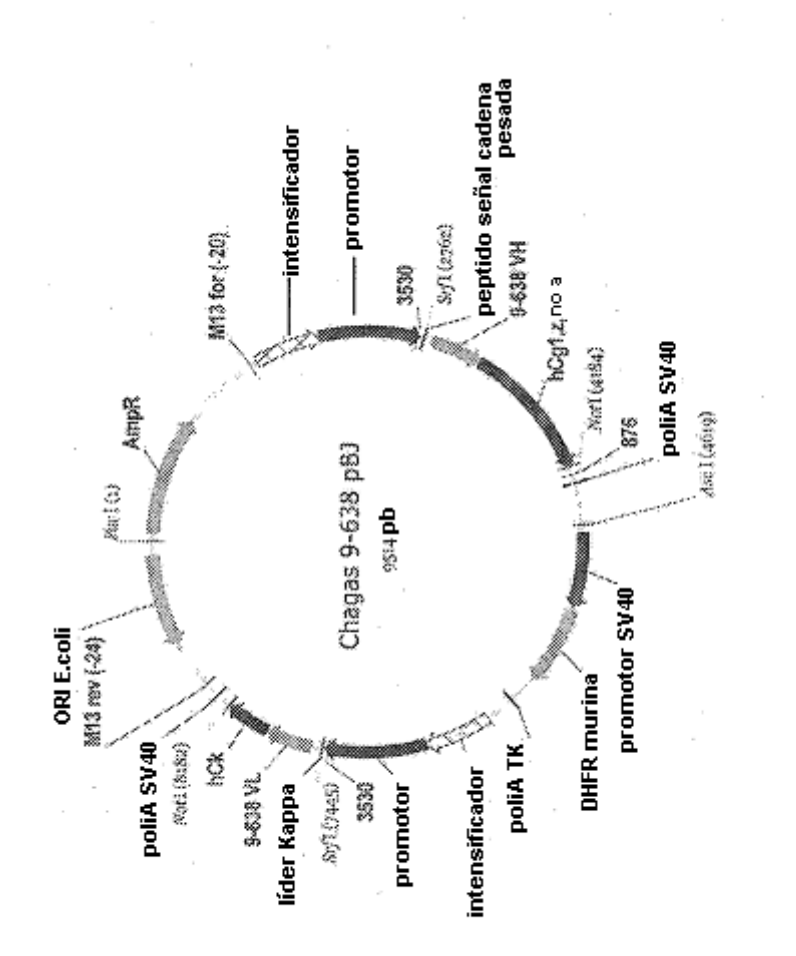
Figura 1

	péptido señal cadena pesada	
2701	TOGNOTAL COCTONACT (SEQ ID NO.:21) ACTICAAN COCGACTCOA COGAAAAGA (SEQ ID NO.:22) VH5	
	péptido señal oadena pesada	
1082	TOTOCCONT TTANAMENTE TCCAGTECCA TETECRACTG GIGNELUTG GEGENAGETT AGTECACCT GAAGGGTCC GGAAACTCTC CTGTGCAGC ACAGGGTAA ANTITTCCAG AGTCACGCT AGAGGTGGAC CACCTCAGAC CCCTCCGAA TCACGTCGA CCTCCCAGAG CCTTGAGAG GACAGGTCGG	
2901	TOTOGRAFICA CITICARTOT CITICARATO CACTOGOTIC GROCCICE AGAGAGOGO CIGAROTOGO TOCOTAGAT IMUTAGIGO ANTALIACA AGACIAMOT GAMAGRUKA GAMAGRITAC GIGACCIAMO CAGROCÓMOS POLÍTICOCO GACTICARCE AGGITATOTA ATCATUACOS TEXTOAMOT WHS	
3001	TCRYTATO ASSONANTS ABSONORY TOACCATOT CAGARACAT CCCAMANA CCCTOTECT COMMENCE GOTOTAGE CTGAGACA AGATAATACS TCTGTGTCAC TTCCGGGGTA AGTGSTAGAG GTCTGTTA GGGTCTTGT GGGACAASGA CGTTTACTGS CCAGATTCCA GACTCCTGTG VHS	
	E OU .z., DOM	
3101	GOCCATGIAT INCIGNOCAL CACCGRICTA CTATCATTAC GACGRITATS CTATCGATA CTGGGGTCAA GGAACCTCAG TCACCGRICT CTCACCGRICT CCGCTACATA ATCACACGTT CTGCGGRGAT CATACTAATS CTGCTGATAC GALACCTGAT GACCCCAGII CCITGGAGTC AGTGGAGGG GAGTCGAGC MG1, %, no a	
3201	ACCANGGEC CATCEGISTY CONCENSOR CONTENSOR CONTENSOR CONTENSOR CONTENSOR CATCETER CANGGEC ANTICOME AND CONTENSOR CANGGER CANGGER CONTENSOR CANGGER CANGER CANGGER CANGGE	
3301	GOTTAGOST STOTGGARG TORGOGGG THRCORGE CUTARANC TICCCOSTS TOCTAGAST CICAGARCT TREFOCTER GARGOTIGT GOTGGARG TAGAGGARG GARGOTIGT	
3401	GACCETCCE TCACCACCA POSCINCOS GACCEACATE TECANOSTES ATEXANACE CACATACAC AMOSTGORA ACAMANTES ACCUANTES CTGACACGGG AGGUEGG TOGATOTAG ACOTTOGA TOGATOTAGA TICANOSTES TOTATAGA GOGATIVADA	

	hCgl, z, no a
3501	TOTOMCAMAA CTCACACUTG CCCACCOTGC CCAGGACCTG AACTOCTGGG GGGACCTCA GTCTTCTCT TCCCCCAAA ACCACAGACA ACACTCATGA ACACTCATTT GAGTGTGTAC GGGTGGCACG GGTGGTGACG TTCACGACCC CCCTGGCAGT CAGAAGGAGA AGGGGGGTT TGGGTTCCTG TGGGAGTACT ACACTCATTT GAGTGTGTAC GGTGGTGCTG TGGGAGTACT ACACTCATTT GAGTGTGTAC GGTGGTGCTG TGGGAGTACT ACACTCATTT GAGTGTGTAC GGTGGTGCTG TGGGAGTACT TGGGATACTACACACACACACACACACACACACACACACA
3601	TCTCCCGGAC CCCTGAGGTC ACATGCGTGG TGGTGGACCT CAGCCACGAG GACCCTGAGG TCAAGTYCAA CTGGTAGGTG GACGGCGTGG AGGTGCATAA AGAGGGCCTG GGGACTCCAG TGTACGAGC CTGCGGACC TCCACGTATT AGAGGGCCTG GGGACTCCAG TGTACGAGC CTGCGGACC TCCACGTATT NGGL,8, NO 3
3701	TECCAMENCA ANGECECIOS AGRACACIA CACAGACIO TACCATOTOS TORGENICA CACOGICCIS CACAGACI GETERATOS CALCAGATAC ACOSTICIO TICOGOGOCO TECTOSTAT GITTECATOS ATGECAGAA GIGGLAGAAC GIGGLAGAAC GITCOCATA ACOSTICIO TICOGOGOCO TECTOSTATO ATGECAGAA GIGGLAGAAC GIGGLAGAAC GICCITACO GITCOCATO
3801	AMSTGCAMES TUTCCAMCAN ACCOUNCE GOOGGEARG AGARAACAI CTOCAMACC AAMSGGAG COCKGAMC ACAGGITAC ACCUTOCOC TYCACGITCC AGAGGIIGII TOGGGAGGGI CGGGGGAAG TUTTIGGA GAGGIITCGG ITTCCGGICG GGGCTCTIGG IGTCCACATG IGGGACGGGG
3901	CATCCCCCA GENGATGACE ANGARCIAGO TOAGCCTGAD CTGCCTGGTC ANAGCCTCT ATCCCAGCGA CATCCCGTG GATTGGGGA GCAATGGCC GTAGGCCGCT CCTCTACTGG TTCTTGGTCC AGTCGGACTG GACGGACCAG TTTCCGAAGA TAGGGTCGCT GTAGCGCCAC CTCACCCGT CGTACCCGT
4001	OCCOGNOMAC ANCTACAMA CCACOCCTOC COTOCTOGAC TOCOACOGT CCTTCTTCCT CTACAGAMAG CTCACGGGG ACAMANACAG GTOGCAGCAG COGCCTCTTG TEGATGTTCT GCTGCGGAGG GCACGACCTG AGGCTGCCGA GGAMGAAGGA GAYGTGGTTC GAGTGGCACC TGTTCTCGTC CACCGTCGTC
4101	GGGAACGTCT TCTCATGCTC CETGATGCAT GAGGTCTGC ACAACCACTA CACGCAGAAG AGCCTCTCCC TGTCTCCGGG TAAATGA CCCTTGCAGA AGAGTACGAG GCACTACGTA CTCCGAGAACG TGTGGTGAT GTGCGTCTTC TCGGAGAGGG ACAGAGGCC ATTTACT

Figura 3B

	(SEQ ID NO.:23)								
péptido señal Kappa	TGGACATGCG CGTGCCGGC CAGCTGCTGG GCCTGCTGCT ACCTGTACGC GCACGGCGG GTCGACGACC CGGACGACGA		CGACACCAAG GGGCGAGGG CTACGATGTA ACACTACAGT GTCAGAGGTA GGAGGGACCG ACACAGTGGT CCTCTTCC AGTGATACTC CACGTTTAGG VK8 AGTCAGAGTC TGCTCAAACA TAGAACCGA AAGAACACT TGGCTTGGTA TCAGCAGAAA CCAGGGCAGT CTCCTAAACT GCTGATCTAC TGGGCACT TCAGCTCAGA AAGAACCGA AAGAACCACT TGCTTGGTA TCAGCAGAAA CCAGGGCAGT CTCCTAAACT GCTGATCTAC TGGGCATCCA VAA VAA VAA VAA VAA VAA VA		TCK			11 TCCAATCOSS TAACTCCAS GASAGTSTCA CAGAGGAC ACCACTACA GCCTCAGAG CACCTTACA GCTCACGC CTCACGAAG CAGATTACCA ASSITACCC ATTGAGGGTC CTCTCACAGT GTCTCGTCCT GTCGTTCCTG TCGTGGATGT CGAGGTCGTC GTGGGACTGC GACTCGTTTC GTCTGATGCT ACK	
	7401	7501	7601	1701		7801	7901	8001	8101



igura 2

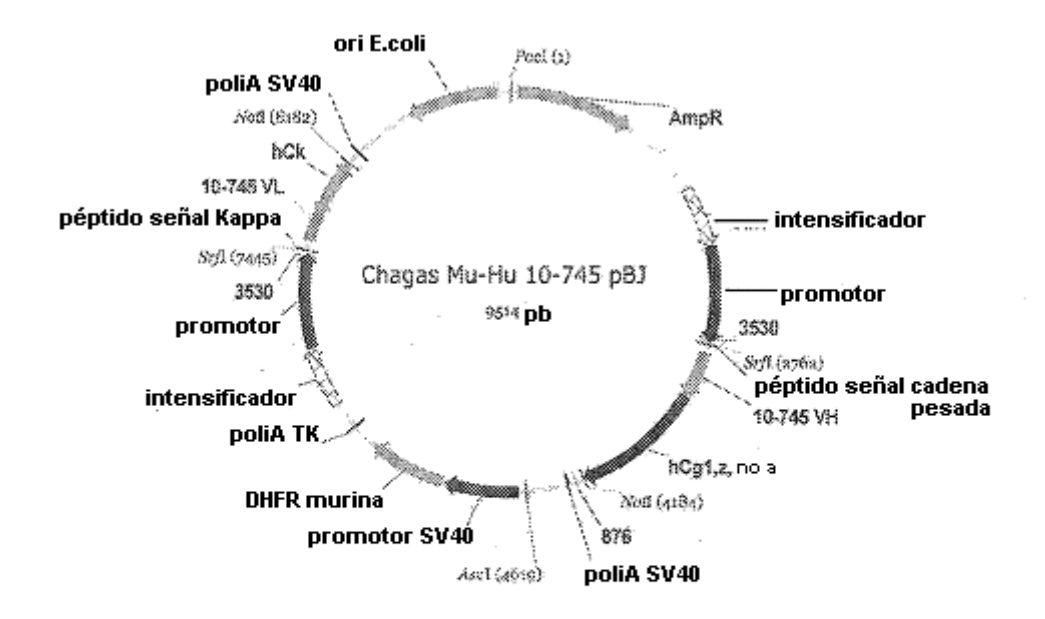


Figura 5